

การวิเคราะห์ภาวะความเครียดจากการขาดน้ำในช้าาพอดภัยใต้สภาวะการขาดน้ำ
โดยการถ่ายภาพความร้อน



วิทยานิพนธ์เสนอปันทิตวิทยาลัย มหาวิทยาลัยมหิดล เพื่อเป็นส่วนหนึ่งของการศึกษา
หลักสูตรปริญญาวิทยาศาสตร์มหาบัณฑิต
สาขาวิชาวิทยาศาสตร์การเกษตร
มีนาคม 2563
ลิขสิทธิ์เป็นของมหาวิทยาลัยมหิดล

วิทยานิพนธ์ เรื่อง “การวิเคราะห์ภาวะความเครียดการขาดน้ำในข้าวโพดภายใต้สภาวะขาดน้ำ
โดยการถ่ายภาพความร้อน”
ของ นายชูเกียรติ พระดาเวช

ได้รับการพิจารณาให้รับเป็นส่วนหนึ่งของการศึกษาตามหลักสูตรปริญญาวิทยาศาสตรมหาบัณฑิต
สาขาวิชาวิทยาศาสตร์การเกษตร

คณะกรรมการสอบวิทยานิพนธ์

..... ประธานกรรมการสอบวิทยานิพนธ์/กรรมการผู้ทรงคุณวุฒิภายนอก
(ผู้ช่วยศาสตราจารย์ ดร. วรรษวิภา แก้วประดิษฐ์ พลพินิจ)

..... ประธานที่ปรึกษาวิทยานิพนธ์
(ผู้ช่วยศาสตราจารย์ ดร. วันวิสาข์ ปั้นศักดิ์)

..... กรรมการที่ปรึกษาวิทยานิพนธ์
(Dr. Wolfram Spreer)

..... กรรมการผู้ทรงคุณวุฒิภายนอก
(ดร. สุพรรณิกา อินตีะนนท์)

.....
(ศาสตราจารย์ ดร.ไพศาล มุณีสว่าง)
คณะศิลปศาสตร์

๑๑๐ ๙.๙. ๒๕๖๓

ประกาศคณูปการ

วิทยานิพนธ์ฉบับนี้ ประสบความสำเร็จอย่างสมบูรณ์ด้วยความกรุณาอย่างยิ่งจาก ผู้ช่วยศาสตราจารย์ ดร.วันวิสาข์ ปั้นศักดิ์ ประธานที่ปรึกษาวิทยานิพนธ์ Dr.Wolfram Spreer กรรมการ ที่ปรึกษาวิทยานิพนธ์ ผู้ช่วยศาสตราจารย์ ดร.วรรณวิภา แก้วประดิษฐ์ พลพินิจ ประธานกรรมการสอน วิทยานิพนธ์ และดร.สุพรรณิกา อินตีะนนท์ กรรมการผู้ทรงคุณวุฒิ ที่ได้ слะเวลาอันมีค่าแก่ผู้วิจัย เพื่อให้คำแนะนำและคำปรึกษา ตลอดจนตรวจทานแก้ไขข้อบกพร่องต่างๆ ด้วยความเอาใจใส่ เป็นอย่างยิ่ง จนทำให้วิทยานิพนธ์ฉบับนี้เสร็จสมบูรณ์ไปได้ด้วยดี ผู้วิจัยขอกราบขอบพระคุณ เป็นอย่างสูง

วิทยานิพนธ์ฉบับนี้ได้รับทุนอุดหนุนการทำกิจกรรมส่งเสริมและสนับสนุนการวิจัย ประเภทบัณฑิตศึกษา จากสำนักงานคณะกรรมการวิจัยแห่งชาติ ประจำปีงบประมาณ 2562 ผู้วิจัย ขอขอบคุณ สำนักงานคณะกรรมการวิจัยแห่งชาติที่สนับสนุนงานวิจัยในครั้งนี้ ประสบความสำเร็จ อย่างสมบูรณ์

สุดท้ายนี้ ผู้วิจัยขอขอบพระคุณ บิดา มารดา ครอบครัวของผู้วิจัย และขอขอบคุณ นายณัฐพล คงดี และทีมผู้ช่วยวิจัย ผู้ช่วยศาสตราจารย์ ดร. วันวิสาข์ ปั้นศักดิ์ ผู้ชี้งช่วยให้คำแนะนำ สนับสนุน และช่วยเหลือมาโดยตลอด ขอบคุณผู้ที่มีส่วนทำให้วิทยานิพนธ์นี้เสร็จสมบูรณ์ทุกๆ ท่าน

ภูเก็ต ประดาเวช

ชื่อเรื่อง	การวิเคราะห์ภาวะความเครียดจากการขาดน้ำในข้าวโพด ภายใต้สภาวะการขาดน้ำโดยการถ่ายภาพความร้อน
ผู้วิจัย	ชูเกียรติ พระดาเวช
ประธานที่ปรึกษา	ผู้ช่วยศาสตราจารย์ ดร.วันวิสาข์ ปั้นศักดิ์
กรรมการที่ปรึกษา	Dr.Wolfram Spreer
ประเภทสารนิพนธ์	วิทยานิพนธ์ วท.ม. สาขาวิชาชีวเคมี ภาควิชาชีวเคมี คณะวิทยาศาสตร์การเกษตร, มหาวิทยาลัยนเรศวร, 2562
คำสำคัญ	ภาวะความเครียดการขาดน้ำของพืช กล้องถ่ายภาพความร้อน ตัวนีกภาวะขาดน้ำของพืช

บทคัดย่อ

การผลิตข้าวโพดเลี้ยงสัตว์มีบทบาทสำคัญในอุตสาหกรรมอาหารสัตว์และเมล็ดพันธุ์ ความเครียดจากการขาดน้ำเป็นปัจจัยสำคัญที่ลดประสิทธิภาพของการสังเคราะห์แสง ซึ่งส่งผลกระทบต่อการเจริญเติบโตและการพัฒนาของต้นข้าวโพด (*Zea mays L.*) ทำให้ผลผลิตข้าวโพดลดลง การศึกษาครั้งนี้ มีวัตถุประสงค์เพื่อพัฒนาเทคนิคสำหรับการวิเคราะห์ภาวะความเครียดจากการขาดน้ำของข้าวโพดโดยใช้ภาพถ่ายทางความร้อน และเพื่อประเมินลักษณะทางสรีรวิทยา องค์ประกอบ ผลผลิตและผลผลิตของข้าวโพดเลี้ยงสัตว์ภายใต้สภาวะขาดน้ำ ทำการทดลองภายใต้สภาวะเรือนทดลองในตำบลท่าโพธิ์ จังหวัดพิษณุโลก โดยทำการทดลองวางแผนการทดลองแบบสุ่มสมบูรณ์ (Completely Randomized Design: CRD) ประกอบด้วย 5 กรรมวิธี กรรมวิธีละ 5 ชั้ โดยกำหนดปัจจัยต่างๆ ลงในแผนการทดลอง ดังนี้ กรรมวิธีที่ 1 ระดับการชลประทานเต็มรูปแบบ 100% (กรรมวิธีควบคุม: T1) กรรมวิธีที่ 2 ลดการให้น้ำ 50% ของกรรมวิธีที่ 1 เมื่อข้าวโพดมีพื้นที่การปักลูกมิดิน 20% (20 วันหลังปลูก) และกลับมาให้น้ำเท่ากับกรรมวิธีที่ 1 เมื่อข้าวโพดมีเกสรตัวผู้ (T2) กรรมวิธีที่ 3 ลดการให้น้ำ 50% ของกรรมวิธีที่ 1 เมื่อข้าวโพดมีพื้นที่การปักลูกมิดิน 20% (20 วันหลังปลูก) ถึงอายุการเก็บเกี่ยว (T3) กรรมวิธีที่ 4 ลดการให้น้ำ 50% ของกรรมวิธีที่ 1 เมื่อพืชมีเกสรตัวผู้ถึงช่วงอายุการเก็บเกี่ยว (T4) และกรรมวิธีที่ 5 งดการให้น้ำ เมื่อพืชมีเกสรตัวผู้ถึงช่วงอายุการเก็บเกี่ยว (T5) ทำการปูรากข้าวโพดลูกผสม ซีพี888 จำนวนสองเมล็ดต่อถุงพลาสติก ใช้กล้องถ่ายความร้อน ถ่ายภาพความร้อน (FLIR C2) ทั้งหมดสามช่วงเวลา ได้แก่ 08.00 - 10.00 น., 10.00 - 12.00 น. และ 12.00 - 14.00 น. ใช้ออฟต์แวร์ FLIR Tool 5.1 ในการแปลงภาพความร้อนเพื่อให้ได้ข้อมูลอุณหภูมิของทรงพุ่มข้าวโพด และใช้ในการคำนวณดัชนีความเครียดของน้ำ (Crop Water Stress

Index: CWSI) การถ่ายภาพกำหนดระยะเวลาห่างระหว่างกล้องกับทรงฟูมต้นข้าวโพดที่ 1.5 เมตร สำหรับการวิเคราะห์ความเครียดจากการขาดน้ำโดยกล้องถ่ายภาพความร้อน และค่าซักนำการเปิด-ปิดปากใบ จะเก็บข้อมูลเมื่อต้นข้าวโพดอายุ 25, 30, 35, 40, 45, 50, 55 และ 60 วันหลังปลูก และการประเมินลักษณะทางสีรีวิทยา ได้แก่ ความสูงต้น พื้นที่ใบ ค่าความเขียวใบ (ค่า SPAD) และประสิทธิภาพการสังเคราะห์แสง (Maximum quantum yield of PSII) เก็บข้อมูลเมื่อข้าวโพดอายุ 20, 35 และ 50 วัน หลังปลูก และหลังเก็บเกี่ยวผลผลิตทำการประเมินองค์ประกอบผลผลิตและผลผลิตต่อต้น ดัชนีการเก็บเกี่ยว (Harvest Index) ของข้าวโพดเลี้ยงสัตว์ ผลการศึกษา พบว่า เมื่อดินเริ่มน้ำด้านในไปสู่ค่าดัชนีความเครียดของน้ำ (CWSI) ที่สูงขึ้นโดยเฉพาะในช่วงเวลา 12.00 - 14.00 น. และพบว่า ค่าซักนำการเปิด-ปิดปากใบมีค่าสูงเมื่อต้นข้าวมีความเครียดของน้ำต่ำ และค่าซักนำการเปิด-ปิดปากใบลดลงเมื่อค่าดัชนีความเครียดของน้ำสูงขึ้น นอกจากนี้ พบว่า ช่วงเวลา 12.00 - 14.00 น. ค่าดัชนีความเครียดของน้ำกับค่าซักนำการเปิด-ปิดปากใบมีความสัมพันธ์กันในทางลบอย่างมีนัยสำคัญทางสถิติ ($p < 0.05$) และอยู่ในระดับสูงถึงสูงมาก ($R^2 = 0.82-0.92$) สำหรับ T2 และ T3 ที่อยู่ภายใต้สภาวะการขาดน้ำตั้งแต่ระยะการเจริญเติบโตทางลำต้นและใบจนถึงระยะออกดอก และสะทมน้ำหนักเมล็ด ส่งผลให้ค่าประสิทธิภาพการสังเคราะห์แสง ค่าซักนำการเปิด-ปิดปากใบ พื้นที่ใบ ค่าความเขียวใบ ดัชนีการเก็บเกี่ยว จำนวนเมล็ดต่อฝัก น้ำหนักฝักต่อต้น มวลชีวภาพแห้งต่อต้น ต่ำกว่ากรรณวิธีความคุณ T4 และ T5 อย่างมีนัยสำคัญทางสถิติ ($p < 0.05$) และยังส่งผลให้ผลผลิตต่อต้นลดลงถึง 72 เปอร์เซ็นต์เมื่อเปรียบเทียบกับกรรณวิธีความคุณ ทั้งนี้ พบว่า ความสัมพันธ์ระหว่าง CWSI กับค่าซักนำการเปิด-ปิดปากใบ ความสูงต้น พื้นที่ใบ ค่าความเขียว ประสิทธิภาพการสังเคราะห์แสง ดัชนีการเก็บเกี่ยว จำนวนเมล็ดต่อฝัก น้ำหนักฝักต่อต้น มวลชีวภาพแห้งต่อต้น ผลผลิตต่อต้น สามารถอธิบายความสัมพันธ์ได้โดยสมการเชิงเส้น และพบว่า มีความสัมพันธ์กันในเชิงลบอยู่ในระดับปานกลางถึงสูง ($R^2 = 0.49 - 0.72$) ดังนั้น การใช้ภาพถ่ายความร้อนมีความเป็นไปได้ที่จะใช้เพื่อตรวจสอดคลุมความเครียดจากการขาดน้ำในข้าวโพดเลี้ยงสัตว์

Title	DIAGNOSIS OF CROP WATER STRESS IN MAIZE UNDER WATER DEFICIT DONDITIONS BY THERMAL IMAGING
Author	Chukiat Pradawet
Advisor	Assistant Professor Wanwisa Pansak, Ph.D.
Co-Advisor	Wolfram Spreer, Ph.D.
Academic Paper	Thesis M.S. in Agriculture science, Naresuan University, 2019
Keywords	Crop water stress, Thermal camera, Crop water stress index: CWSI

ABSTRACT

Maize production plays an important role in the feed and seed industries. Water deficit stress is a major factor that reduces efficiency of photosynthesis and impacts growth and development in maize (*Zea mays L.*), leading to decreased maize yield. The objectives of this study were to develop a technique for diagnosis of crop water stress in maize by thermal imaging under water deficit condition and to evaluate the physiological characteristics, yield components and yield of maize under varying water deficit conditions. A greenhouse experiment was conducted at the green house experiment at Tha Pho Sub-district, Phitsanulok province. The experiment was arranged in a completely randomized design (CRD). There were five treatments with five replications consisting of 1) 100% full irrigation level (control; T1) 2) full irrigation level until 20 day after sowing (DAS), after that 50% of full irrigation was applied until anthesis (T2) 3) full irrigation level until 20 day after sowing (DAS), after that 50% of full irrigation was applied until harvest (T3) 4) 50% of full irrigation was applied after anthesis until harvest (T4) and 5) no irrigation after anthesis (T5). Two maize hybrid CP888 seeds were sown per plastic bag. Thermal images were captured by thermal camera (FLIR C2) for three periods at 8.00 - 10.00 a.m., 10.00 a.m. - 12.00 p.m. and 12.00 - 2.00 p.m. FLIR Tool 5.1 software was used for the image analysis to get canopy temperature. A thermal imager was used for measuring the canopy temperature to calculate crop water stress index (CWSI) of maize under water deficit conditions.

The distance between the camera and the plant canopy was set at 1.5 m. Thermal images and stomatal conductance (gs) were measured at 25, 30, 35, 40, 45, 50, 55 and 60 DAS. Moreover, assessing the physiological characteristics example maize height, leaf area, SPAD values and Maximum quantum yield of PSII were collected at 20 35 and 50 DAS. After harvest, yield components, yield and harvest index of maize were evaluated. The result showed that soil water deficit led to higher CWSI values during 12.00 - 2.00 p.m. Stomata conductance (gs) were high at low CWSI and reduced with increasing CWSI. At 12.00 - 2.00 p.m., CWSI and stomatal conductance (gs) were at high level statistically with significant negative relationship with R^2 from 0.82 to 0.92. For T2 and T3 under water deficit conditions from vegetative stage until flowering stage to grain filling, resulting in photosynthesis system, stomata conductance, leaf area, SPAD harvest index, number of seeds per pod, pod weight per plant, dry biomass per plant were significantly ($p < 0.05$) lower than the control, T4 and T5 and also resulted in a 72 percent reduction in yield per plant when compared to the control treatment. The relationship between CWSI and stomatal conductance, photosynthesis system, maize height, leaf area, SPAD values, harvest index, number of seeds per pod, pod weight per plant, dry biomass per plant and maize yield per plant were described by linear equation and the negative relationship were observed with medium to high level statistically with significant relationship with R^2 from 0.49 to 0.72. Therefore, it is feasible to use thermal infrared imager to determine crop water stress in maize.

สารบัญ

บทที่	หน้า
1 บทนำ.....	1
ความเป็นมาและความสำคัญของปัญหา.....	1
จุดมุ่งหมายของการวิจัย.....	4
สมมุติฐานของการวิจัย.....	4
ประโยชน์ที่คาดว่าจะได้รับ.....	4
ขอบเขตการวิจัย.....	4
นิยามศัพท์เฉพาะ.....	4
2 เอกสารและงานวิจัยที่เกี่ยวข้อง.....	6
ความสำคัญของน้ำตอพีช.....	6
สภาพการขาดน้ำของพีช.....	6
วิธีวัดความเครียดจากการขาดน้ำของพีช.....	8
การถ่ายภาพความร้อนด้วยรังสีอินฟราเรด (Infrared thermal imaging).....	10
สภาพพื้นที่ที่เหมาะสมในการปลูกข้าวโพดและฤดูกาลปลูกที่เหมาะสม.....	11
ลักษณะทั่วไปของข้าวโพดเลี้ยงสัตว์.....	13
3 วิธีดำเนินการวิจัย.....	15
อุปกรณ์.....	15
สถานที่ทำการทดลอง.....	15
การเตรียมการปลูก.....	15
การวางแผนการทดลอง.....	16
ระบบการให้น้ำ.....	17
การวัดความเครียดของความชื้นดิน.....	18
การเก็บข้อมูลสภาพอากาศในโรงเรือน.....	18
การเก็บข้อมูลการเจริญเติบโต องค์ประกอบผลผลิตและผลผลิต.....	18

สารบัญ (ต่อ)

บทที่	หน้า
การวัดภาวะความเครียดการขาดน้ำในข้าวโพด.....	19
การวิเคราะห์ข้อมูล.....	21
4 ผลการวิจัย.....	22
สภาพภูมิอากาศในใจเรื่องระหว่างการทดลอง.....	22
ความเครียดของน้ำในดิน (ค่า pF).....	23
อุณหภูมิเรือนยอดข้าวโพดภายใต้ภาวะขาดน้ำแตกต่างกัน.....	24
ดัชนีความเครียดของข้าวโพด (CWSI) และการซักนำการเปิดปิดปากใบ สัมพัทธ์ภายใต้ภาวะขาดน้ำแตกต่างกัน.....	27
ลักษณะทางสรีริวิทยา องค์ประกอบผลผลิต และผลผลิตข้าวโพดภายใต้ ภาวะขาดน้ำแตกต่างกัน.....	29
ความสัมพันธ์ระหว่างค่า CWSI กับการซักนำการเปิดปิดปากใบ.....	34
ความสัมพันธ์ระหว่างสรีริวิทยา องค์ประกอบผลผลิต ผลผลิตข้าวโพดและ ค่า CWSI.....	37
5 บทสรุป.....	47
อภิปรายผลการทดลอง.....	47
สรุปผลการวิจัย.....	51
ข้อเสนอแนะงานวิจัย.....	52
บรรณานุกรม.....	53
ประวัติผู้วิจัย.....	60

สารบัญตาราง

ตาราง	หน้า
1 Crop Water Requirement.....	12
2 Soil properties of the experimental study.....	16
3 Irrigation plan.....	17
4 Yield and yield components under different water deficit conditions.....	34



สารบัญภาพ

ภาพ	หน้า
1 The number of days varies between different growth classes and environments.....	7
2 Sack bag/with hole.....	16
3 Image processing by FLIR tool software.....	20
4 Daily minimum, maximum and mean temperatures (°C) in a greenhouse during 08.-00 am. - 06.00 p.m.....	22
5 Daily minimum, maximum and mean relative humidity (%) in a greenhouse during 08.-00 am. - 06.00 p.m.....	23
6 Curve of average change in pH value at 10 cm soil depth under different water deficit conditions.....	24
7 Canopy temperature during 10.00 a.m.-12.00 p.m. under different water deficit conditions.....	25
8 Canopy temperature during 12.00 - 02.00 p.m. under different water deficit conditions.....	26
9 Crop water stress index during 12.00 - 02.00 p.m. under different water deficit conditions.....	27
10 Relative stomatal conductance during 12.00 - 02.00 p.m. under different water deficit conditions.....	28
11 Maize height under different water deficit condition.....	29
12 Maize leaf area under different water deficit conditions.....	30
13 SPAD values under different water deficit conditions.....	31
14 Maximum quantum yield of PSII under different water deficit conditions.....	32
15 Relationship between CWSI and stomatal conductance during 08.00-10.00 a.m.....	35

สารบัญภาพ

ภาพ	หน้า
16 Relationship between CWSI and stomatal conductance during 10.00-12.00 a.m.....	36
17 Relationship between CWSI and stomatal conductance during 12.00 -2.00 p.m.....	37
18 Relationship between CWSI and maize height.....	38
19 Relationship between CWSI and leaf area.....	39
20 Relationship between CWSI and SPAD values.....	40
21 Relationship between CWSI and maximum quantum yield of PSII.....	41
22 Relationship between CWSI and dry pods weight.....	42
23 Relationship between CWSI and number of seeds.....	43
24 Relationship between CWSI and dry biomass weight.....	44
25 Relationship between CWSI and yield.....	45
26 Relationship between CWSI and harvest Index.....	46

บทที่ 1

บทนำ

ความเป็นมาและความสำคัญของปัจจุบัน

ข้าวโพดเลี้ยงสัตว์ (*Zea mays Linn.*) จัดเป็นหนึ่งในพืชเศรษฐกิจที่สำคัญของประเทศไทย เนื่องจากข้าวโพดเลี้ยงสัตว์เป็นหนึ่งในวัตถุดิบหลักในอุตสาหกรรมอาหารสัตว์ ประมาณ 94 เปอร์เซ็นต์ ของผลผลิตข้าวโพดใช้ในอุตสาหกรรมอาหารสัตว์ของไทย โดยความต้องการใช้ข้าวโพดเลี้ยงสัตว์ ปี 2559/60 มีความต้องการใช้ข้าวโพดเลี้ยงสัตว์ในปริมาณ 5.85 ล้านตัน เพิ่มขึ้นจาก 5.72 ล้านตัน ในปี 2558/59 คิดเป็นร้อยละ 2.27 (ศูนย์สารสนเทศการเกษตร, 2559) ทั้งนี้ เนื่องจากการขยายตัว ของภาคอุตสาหกรรมการเลี้ยงสัตว์ โดยเฉพาะไก่เนื้อ และสุกร ทำให้ความต้องการใช้ข้าวโพดเลี้ยงสัตว์ เพื่อเป็นวัตถุดิบอาหารสัตว์เพิ่มขึ้น โดยความต้องการใช้ข้าวโพดเลี้ยงสัตว์เพื่อเป็นส่วนประกอบ ในการผลิตอาหารสัตว์ประมาณ 5.6-6 ล้านตันต่อปี (สำนักวิจัยเศรษฐกิจการเกษตร, 2559) และ ข้าวโพดเลี้ยงสัตว์อีกส่วนหนึ่งจะนำไปใช้ในด้านอื่นๆ เช่น อุตสาหกรรมแป้งข้าวโพดเลี้ยงสัตว์ และ โรงงานไฟฟ้าชีวมวล เป็นต้น สำหรับสถานการณ์การผลิต และการตลาดข้าวโพดเลี้ยงสัตว์ใน ประเทศไทย ปี 2561/62 คาดว่าเนื้อที่เพาะปลูกมีประมาณ 6.92 ล้านไร่ เพิ่มขึ้นจาก 6.57 ล้านไร่ ในปี 2560 ในส่วนของพื้นที่ปลูกข้าวโพดเลี้ยงสัตว์ส่วนใหญ่อยู่ในเขตภาคเหนือ คิดเป็นร้อยละ 67 จังหวัดที่เนื้อที่เพาะปลูกมากที่สุด 5 อันดับแรก ได้แก่ จังหวัดเพชรบูรณ์ น่าน นครราชสีมา เลย และตาก (สำนักงานเศรษฐกิจการเกษตร, 2561) โดยในปี 2561/62 มีผลผลิตรวม 5.06 ล้านตัน ปัจจุบันที่พบในการปลูกข้าวโพดเลี้ยงสัตว์ ในเขตภาคเหนือ คือพื้นที่ส่วนใหญ่อยู่บริเวณพื้นที่ลาดชั้น เชิงเขาและอาศัยน้ำฝนเป็นหลัก ส่งผลให้ประสิทธิภาพการผลิตต่ำ ทำให้เกษตรกรมีการบุกรุกพื้นที่ป่า เพื่อปลูกข้าวโพดเลี้ยงสัตว์เชิงเดียวเพิ่มเติม การบุกรุกพื้นที่ป่าเพื่อทำเกษตรเชิงเดียวส่งผลให้เกิด ปัญหาพื้นที่ป่าด้านน้ำภูมิบุกรุกเพื่อทำการเกษตร ทำให้ดินเกิดการชะล้างพังทลายของดินอย่างรุนแรง ก่อให้เกิดปัญหาต่อสิ่งแวดล้อมและดินเสื่อมโทรม จากข้อมูลดังกล่าวแสดงให้เห็นว่าถึงเกษตรกร สามารถขยายพื้นที่การผลิตข้าวโพดเพิ่มให้มากขึ้น แต่ผลผลิตต่อไร่กลับไม่เพิ่มขึ้นตามไปด้วย ทำให้ เป็นการเพิ่มต้นทุนการผลิตและสิ่งแวดล้อมและดินเสื่อมโทรม จากข้อมูลดังกล่าวแสดงให้เห็นว่าถึงเกษตรกร กระหวงเกษตรและสหกรณ์ได้กำหนดมาตรฐานการเก็บข้าวโพดเลี้ยงสัตว์ คือ ลดการปลูก ข้าวโพดในพื้นที่ไม่ถูกต้อง วางแผนปรับปรุงสัดส่วนผลผลิตข้าวโพด ช่วงต้นฤดูฝน : ปลายฤดูฝน : ฤดูแล้ง จากเดิม 72 : 23 : 5 เป็น 30 : 20 : 50 โดยปลูกในพื้นที่ที่ว่างเปล่า ทำการเพิ่มพื้นที่ปลูกข้าวโพดในฤดูแล้ง แทนข้าวรอบที่ 2 โดยส่งเสริมข้าวโพดเลี้ยงสัตว์ในพื้นที่นาและดำเนินการบริหารจัดการข้าวโพด

รูปแบบแปลงใหญ่ เพื่อบริหารจัดการสำ้า การผลิต และการตลาด (สำนักงานปลัดกระทรวงมหาดไทย, 2560) รวมถึงนโยบายการลดการปลูกข้าวโพดเลี้ยงสัตว์ในพื้นที่ป่าและพื้นที่ลาดชัน ดังนั้น ปัจจัยสำคัญที่จะสนับสนุนให้การผลิตข้าวโพดช่วงฤดูแล้งหรือการปลูกข้าวโพดในพื้นที่ราบลุ่มน้ำประสบผลสำเร็จ คือการจัดการน้ำ โดยการกำหนดเวลาการให้น้ำชลประทานอย่างแม่นยำและเหมาะสม ซึ่งน้ำเป็นปัจจัยที่มีความสำคัญมากในการผลิตข้าวโพดเลี้ยงสัตว์ ถึงแม้ว่าข้าวโพดจะใช้น้ำตลอดฤดูกาลผลิตไม้อยกว่าการปลูกข้าวนานปัรัง แต่ถ้าข้าวโพดเลี้ยงสัตว์ เกิดความเครียดจากสภาวะการขาดน้ำจะจำกัดการขยายตัวของพืช รวมทั้งการปิดของปากใบ และการระเหยของน้ำจากพื้นผิวใน นอกจากนี้ ยังลดประสิทธิภาพของการสั่งเคราะห์ด้วยแสง นอกจากนี้ ความเครียดจากการขาดน้ำ ส่งผลให้ความสูงต้น ต้นน้ำพื้นที่ใบ น้ำหนักแห้ง และผลผลิตลดลง โดยเฉพาะอย่างยิ่งความเครียดจากการขาดน้ำในช่วงของการออกใหม่ (tasselling) ของข้าวโพดเลี้ยงสัตว์ส่งผลให้ผลสูญเสียผลผลิต 66-93% และความเครียดจากการขาดน้ำในช่วงการเจริญเติบโต (vegetative) ส่งผลให้สูญเสียผลผลิตถึง 40% (Cakir, 2004) โดยลักษณะทางสรีรวิทยาการทนแล้งที่มีความสัมพันธ์กับผลผลิตข้าวโพดพื้นที่ลุกดินในภาวะขาดน้ำ คือ น้ำหนักแห้งรวม อุณหภูมิพูนใบ และศักย์ของน้ำในใบ (Boonpradub, & Grudloyma, 2007) ดังนั้น การประมาณการให้น้ำที่ถูกต้อง จึงเป็นสิ่งจำเป็นในการตัดสินใจวางแผนการชลประทานและทำนายผลผลิตพืชผลในการทำเกษตรกรรม (Zhang Li, & Zhang, 2012)

สำหรับวิธีวัดสภาวะความเครียดจากการขาดน้ำของพืช มีหลายวิธี เช่น การวัดค่าชลศักย์ภาพของน้ำในใบพืช การซักน้ำการเปิดปิดปากใบของพืช ปริมาณการสั่งเคราะห์ด้วยแสงของพืช และวัดอุณหภูมิใบหรือเรือนยอดของพืช เป็นต้น เป็นต้น (Jones, 2004; Ni et al., 2015) สำหรับการวัดศักย์ของน้ำโดยตรงทำได้โดยการใช้ Pressure chamber เป็นวิธีมาตรฐานในการวัดความเครียดน้ำของพืช โดยการวัดศักย์ความดันในน้ำหล่อเลี้ยงใบเนื้อเยื่อของพืช ซึ่งสามารถทำได้ในภาคสนาม แต่วิธีการนี้ เป็นวิธีที่ต้องทำลายตัวอย่างพืชที่ทดสอบและใช้เวลามาก (Supacharoenkun, 2008) การวัดการซักน้ำ การเปิด-ปิดของปากใบพืช โดยเครื่อง Porometer เป็นวิธีที่นิยมใช้ในการวัดการซักน้ำการเปิด-ปิดของปากใบพืชในภาคสนาม แต่ยังมีข้อจำกัดของวิธีการนี้ทำให้ต้องวัดแยกเป็นใบๆ จึงต้องใช้เวลานานในการวัด (Jones et al., 2002) และเครื่องมือวัดการสั่งเคราะห์ด้วยแสง โดยการวัดอัตราการแตกเปลี่ยนก้าวcarbon dioxide ไดออกไซด์ระหว่างใบพืชกับอากาศบริเวณรอบใบพืช (Sophanodora, 1993) เนื่องจากในกระบวนการการสั่งเคราะห์แสงมีวัตถุดิบหลัก คือ คาร์บอนไดออกไซด์ (CO_2) น้ำ และแสง ผลิตภัณฑ์ที่ได้จากการสั่งเคราะห์แสง คือ แบงและน้ำตาล แต่ในสภาวะการขาดน้ำของพืช จะส่งผลให้เกิดการใช้ CO_2 ในกระบวนการการเปิดปิดปากใบม้อยลง เนื่องจาก CO_2 จะผ่านเข้ามา

ทางซ่องปากใบของพืชและพืชที่อยู่ในสภาพความเครียดน้ำปากใบจะปิดเพื่อลดการหายใจ (สายัณห์ สดุตี, 2534) และเครื่องมือวัดการสังเคราะห์แสงจะวัดอัตราการแลกเปลี่ยนกําชาร์บอนไดออกไซด์ระหว่างใบพืชกับอากาศรอบใบหรือกลุ่มพืช การวัดอัตราการสังเคราะห์ด้วยแสงของกลุ่มพืชในแปลงปลูกค่อนข้างยุ่งยากและมีราคาแพง ทั้งนี้ เพราะต้องมีเครื่องมือวัด ตลอดจน chamber ต้องมีขนาดใหญ่เพียงพอ อีกทั้งการวัดการสังเคราะห์ด้วยแสงในแปลงปลูกพืชมักมีข้อจำกัด เนื่องจากสภาพธรรมชาติ เช่น ฝน แสง และปริมาณ CO_2 ที่สามารถคงอยู่ได้ยาก (Sopanodora, 1993) อย่างไรก็ได้ ด้วยปัจจัยการข้างต้นเหล่านี้ใช้เวลานานในการวิเคราะห์ไม่สามารถทำได้อย่างต่อเนื่อง ไม่สะดวกสำหรับการพกพา ต้องวัดแยกเป็นใบๆ และทำลายตัวอย่างในการวิเคราะห์ ดังนั้น ในปัจจุบัน จึงมีการพัฒนาวิธีวัดความเครียดจากการขาดน้ำของพืช โดยการวัดอุณหภูมิในหรือเรือนยอดของพืช และนำมาพัฒนาเป็นดัชนีความเครียดจากสภาพการขาดน้ำของพืช (Crop Water Stress Index, CWSI) ถูกนำไปใช้ในพืชหลายชนิด เช่น ข้าวสาลี (Yuan et al., 2004; Gontia, & Tiwari, 2008) ผ้าယ (Silva et al., 2005; O'shaughnessy et al., 2011) ข้าวโพด (Anda, 2009; Li et al., 2010; Romano et al., 2011; Taghvaeian et al., 2012) ถั่ว (Erdem et al., 2006) เป็นต้น โดยการวัดดัชนีความเครียดจากสภาพการขาดน้ำของพืชด้วยวิธีการวัดอุณหภูมิของวัตถุจากการแร่รังสีอินฟราเรด โดยการถ่ายภาพรังสีความร้อนของใบพืชหรือเรือนยอดทรงพุ่มของพืชปลูก จึงเป็นอีกวิธีการที่สามารถใช้ในการตรวจจับจุดเริ่มต้นภาวะความเครียดจากการขาดน้ำของพืช เพื่อกำหนดเวลาการให้น้ำที่แม่นยำ (Ben-Gal et al., 2009; Alchanatis et al., 2010) การตรวจวัดอุณหภูมิของใบด้วยเครื่องวัดอุณหภูมิแบบอินฟราเรด เพื่อตรวจจับความเครียดจากการขาดน้ำของพืช ซึ่งการเพิ่มชีนของอุณหภูมิในใบเป็นผลมาจากการปิดช่องปากของพืชเพื่อลดการหายใจ เนื่องจากพืชเกิดสภาพเครียดจากการขาดน้ำ (Romano et al., 2011) อุณหภูมิของใบจึงใช้เป็นตัวบ่งชี้การเกิดสภาพเครียดจากการขาดน้ำของพืชได้ (Gontia, & Tiwari, 2008; Zia et al., 2012) การตรวจวัดอุณหภูมิตัวอย่างเครื่องตรวจวัดรังสีอินฟราเรดเป็นวิธีที่เหมาะสมสำหรับการตรวจวัดความเครียดจากการขาดน้ำของพืช โดยไม่ทำลายตัวอย่างรวดเร็วแม่นยำ และสามารถวัดได้อย่างต่อเนื่องและมีราคาไม่แพง (DeJonge et al., 2015)

ดังนั้น การศึกษานี้จึงมีวัตถุประสงค์เพื่อศึกษาดัชนีภาวะวิกฤตจากการขาดน้ำของข้าวโพดโดยใช้ภาพถ่ายความร้อนด้วยกล้องถ่ายภาพความร้อน ซึ่งเป็นวิธีการวัดภาวะความเครียดจากการขาดน้ำในข้าวโพดโดยไม่ทำลายตัวอย่างพืช รวดเร็วและแม่นยำ รวมถึงการประเมินลักษณะทางสรีรวิทยาและผลกระทบของข้าวโพดเลี้ยงสัตว์ภายใต้สภาพขาดน้ำ

จุดมุ่งหมายของการวิจัย

1. เพื่อพัฒนาเทคโนโลยีสำหรับการวินิจฉัยภาวะเครียดจากการขาดน้ำของข้าวโพดโดยใช้ภาพถ่ายทางความร้อน
2. เพื่อประเมินลักษณะทางสีริวิทยาและผลผลิตของข้าวโพดเลี้ยงสัตว์ภายใต้สภาวะขาดน้ำของเตลาระยะการเจริญเติบโต

สมมุติฐานของการวิจัย

การใช้ภาพถ่ายความร้อนสามารถใช้วิเคราะห์ภาวะความเครียดจากการขาดน้ำ และพัฒนาดัชนีภาวะวิกฤตจากการขาดน้ำในข้าวโพดเลี้ยงสัตว์ได้ และข้าวโพดที่ได้รับภาวะความเครียดจากการขาดน้ำมีผลทำให้ผลผลิตข้าวโพดเลี้ยงสัตว์ลดลง

ประโยชน์ที่คาดว่าจะได้รับ

ทราบถึงเทคนิคในการวิเคราะห์ภาวะความเครียดจากการขาดน้ำในข้าวโพดโดยใช้กล้องถ่ายภาพความร้อน (Thermal Image camera) เพื่อช่วยในการวางแผนการปลูกพืชที่มีประสิทธิภาพมากขึ้นในการเกษตรเม่นymba ได้ข้อมูลทางสีริวิทยาและผลผลิตของข้าวโพดเลี้ยงสัตว์ภายใต้สภาวะขาดน้ำในระยะต่างๆ ของการเจริญเติบโต

ขอบเขตการวิจัย

ทำการศึกษาเทคนิคการวิเคราะห์ภาวะความเครียดจากการขาดน้ำในข้าวโพดโดยใช้กล้องถ่ายภาพความร้อน (Thermal Image camera) บริเวณหมู่ที่ 9 ตำบลท่าโพธิ์ อำเภอเมือง จังหวัดพิษณุโลก พิกัดละติจูด 16.736463 ลองจิจูด 100.188596 โดยทำการทดลองในข้าวโพดเลี้ยงสัตว์ ลูกผสม พันธุ์ซีฟี 888 ทำการทดลอง 5 กรรมวิธี กรรมวิธีละ 5 ต้น

นิยามศัพท์เฉพาะ

ภาวะความเครียดการขาดน้ำของพืช (Crop water stress) คือ สภาวะที่พืชมีอัตราการหายน้ำออกของพืชมากกว่าอัตราการดูดน้ำของพืช ผลให้ปริมาณน้ำในพืชลดลงและมีผลกระทบต่อลักษณะทางสีริวิทยาของพืช ยังรวมไปถึงผลผลิตพืชอีกด้วย ช่วงเวลาและระดับความรุนแรงของภาวะความเครียดการขาดน้ำ ผลให้พืชมีการตอบสนองต่อสภาวะการขาดน้ำที่แตกต่างกันออกไป (สายัณห์ สดี, 2537)

กล้องถ่ายภาพความร้อน (Thermal camera) คือ ระบบการถ่ายภาพความร้อนด้วยรังสีอินฟราเรด เครื่องตรวจจับอินฟราเรดจะดูดซับพลังงานอินฟราเรดที่ถูกปล่อยออกมายากวัตถุ และเปล่งเป็นไฟฟ้าแรงกระตุน แรงกระตุนทางไฟฟ้าถูกส่งไปที่สัญญาณหน่วยประมวลผล ซึ่งจะทำการแปลงข้อมูลลงในภาพความร้อน อุปกรณ์สแกนภาพความร้อนส่วนใหญ่จะสแกนในอัตรา 30 ครั้ง ต่อวินาที และสามารถตรวจจับอุณหภูมิได้ตั้งแต่ -20 ถึง $1,500^{\circ}\text{C}$ (Meola, & Carluccio, 2004)

ดัชนีการขาดน้ำของพืช (Crop water stress index: CWSI) ดัชนีความเครียดของน้ำในพืช เป็นดัชนีที่ใช้ในการคำนวณหาค่าดัชนีความเครียดของน้ำในพืช โดยใช้อุณหภูมิของใบพืช (Idso et al., 1981)



บทที่ 2

เอกสารและงานวิจัยที่เกี่ยวข้อง

ความสำคัญของน้ำต่อพืช

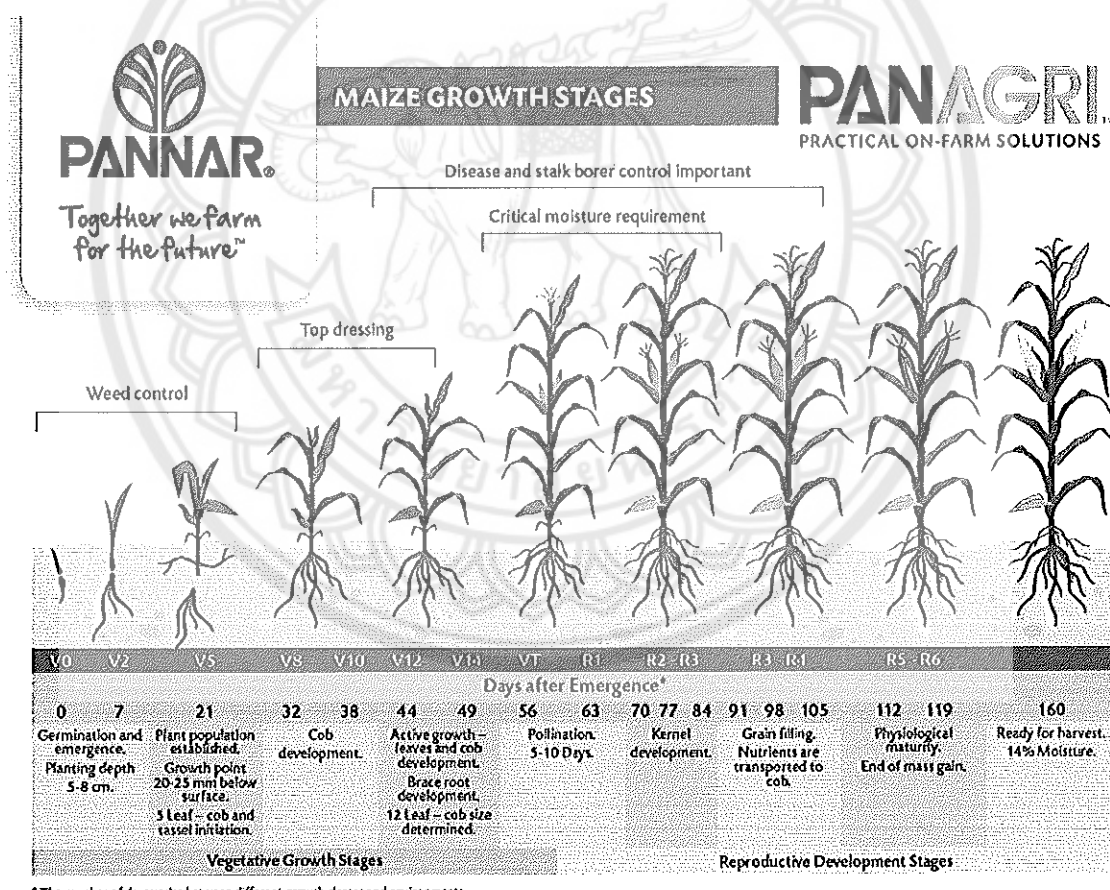
น้ำเป็นส่วนประกอบหลักที่สำคัญของเซลล์พืช โดยในพืชจะมีน้ำเป็นองค์ประกอบ 30-95 % ของน้ำหนักสดของพืช ปริมาณในพืชขึ้นอยู่กับชนิดของพืช อายุพืช เนื้อเยื่อหรืออวัยวะของพืช น้ำเป็นตัวทำละลายที่ช่วยในการละลายธาตุอาหารในดินและลำเลียงอาหาร แร่ธาตุอาหาร สารละลายต่างๆ ภายในพืช น้ำยังเป็นวัตถุดินหลักในกระบวนการสร้างเคราะห์ของพืช โดยที่คาร์บอนไดออกไซด์ น้ำจะทำปฏิกิริยา กันเมื่อได้รับแสงทำให้ได้แบงค์หรือน้ำตาลออกมา ซึ่งแบงค์หรือน้ำตาลที่ได้เป็นอาหารของพืช และในกระบวนการน้ำเป็นการเปลี่ยนแปลงสถานะน้ำจากของเหลวเปลี่ยนไปเป็นไอซ์กระบวนการน้ำต้องอาศัยความร้อนที่มีปริมาณสูงน้ำจึงช่วยให้พืชลดอุณหภูมิของใบลง (สมบูรณ์ เศษภิญญาวงศ์, 2536)

สภาวะการขาดน้ำของพืช

สภาวะการขาดน้ำ คือ สภาวะที่พืชมีอัตราการหายน้ำออกของพืชมากกว่าอัตราการดูดน้ำของพืช ผลผลให้ปริมาณน้ำในพืชลดลงและมีผลกระทบต่อลักษณะทางสรีรวิทยาของพืช ยังรวมไปถึงผลผลิตพืชอีกด้วย ช่วงเวลาและระดับความรุนแรงของการเกิดสภาวะการขาดน้ำ ผลผลให้พืชมีการตอบสนองต่อสภาวะการขาดน้ำที่แตกต่างกันออกไป (สายันธ์ สดุ๊ดี, 2537)

น้ำเป็นปัจจัยหนึ่งที่มีความสำคัญที่สุดในการผลิตพืช ความเครียดจากสภาวะการขาดน้ำจะจำกัดการหายน้ำของพืช รวมทั้งการปีกของใบ และการระเหยของน้ำจากพืชใน นอกจากนี้ยังลดประสิทธิภาพของการสร้างเคราะห์แสงและจำกัดการผลิตพืช ดังนั้น จึงมีนัยสำคัญในการเกษตร แนวทางการจัดการเพื่อตรวจสอบปริมาณน้ำในพืช การประมาณค่าน้ำที่ถูกต้อง จึงเป็นสิ่งจำเป็นเพื่อตัดสินใจในการปลูกพืชและทำนายผลผลิตพืชผลในการทำเกษตรกรรม (Zhang Li, & Zhang, 2012) ผลกระทบของการขาดน้ำต่อผลผลิตพืชในภาคการศึกษาผลของความเครียดน้ำในระยะการเจริญเติบโตที่แตกต่างกันต่อระยะเวลาการเจริญเติบโตของพืชและระยะเจริญพันธุ์ของพืช ความเครียดจากการขาดน้ำส่งผลให้ความสูงต้น ดัชนีพื้นที่ใบ น้ำหนักแห้ง และผลผลิตลดลงโดยเฉพาะอย่างยิ่งความเครียดจากการขาดน้ำในช่วงของการออกใหม่ (tasselling) ของพืช ผลลัพธ์ เสื่อมเสียของพืช ลดลง 66-93% และความเครียดจากการขาดน้ำในช่วงการเจริญเติบโต (vegetative) ผลผลิตให้ผลลัพธ์เสื่อมเสียผลลัพธ์ถึง 40% (Cakir, 2004) และในการศึกษาลักษณะ

ทางสีรีวิทยาที่เกี่ยวข้องกับความหนาแน่นในข้าวโพดเลี้ยงสัตว์ยังพบว่า สภาพการขาดน้ำในช่วงออกดอกของข้าวโพดเลี้ยงสัตว์ ทำให้ผลผลิตข้าวโพดเลี้ยงสัตว์ลดลง 44-65% สำหรับพันธุ์ลูกผสม และสำหรับลักษณะทางสีรีวิทยาการหม้อน้ำแล้งที่มีความสัมพันธ์กับผลผลิตข้าวโพดพันธุ์ลูกผสมในภาวะขาดน้ำ คือ น้ำหนักแห้งรวม อุณหภูมิพุ่มใบ และศักดิ์ของน้ำในใบ (Boonpradub, & Grudloyma, 2007) การชลประทานที่มีประสิทธิภาพจึงเป็นปัจจัยสำคัญในการผลิตพืช แม้พืชจะรับปัจจัยอื่นๆ อย่างเพียงพอ แต่หากพืชเกิดสภาพภาวะการขาดน้ำจะทำให้พืชหยุดการเจริญเติบโตได้ การชลประทานจึงเป็นสิ่งจำเป็นสำหรับการทำเกษตรกรรม (Mihailovic et al., 2014) การทำให้พืชเกิดสภาพเครียดจากการขาดน้ำ ส่งผลกระทบต่อการซึมฝ่านของน้ำและการดูดซึมน้ำของพืชลดลง เมื่อพืชสัมผัสกับความเครียดจากสภาพภาวะการขาดน้ำ ทำให้พืชลดการซึมฝ่านของน้ำและการดูดซึมน้ำของพืช และยังส่งผลให้อุณหภูมิในใบเพิ่มสูงขึ้น (Naeeni et al., 2014)



ภาพ 1 The number of days varies between different growth classes and environments

ที่มา: <http://www.pannar.com>

วิธีวัดความเครียดจากการขาดน้ำของพืช

วิธีวัดสภาวะความเครียดจากการขาดน้ำของพืช มีหลายวิธี เช่น การวัดศักย์ของน้ำในใบ การขักกน้ำการเปิดปิดปากใบของพืช ปริมาณการสั่งเคราะห์แสงของพืช และการใช้กล้อง Thermal imaging เป็นต้น (Jones, 2004; Ni et al., 2015) สำหรับการวัดศักย์ของน้ำโดยตรงทำได้โดยการใช้ Pressure chamber เป็นวิธีมาตรฐานในการวัดความเครียดน้ำของพืชโดยการวัดศักย์ความดันในน้ำหล่อเลี้ยงในเนื้อเยื่อของพืช ซึ่งสามารถทำได้ในภาคสนาม แต่วิธีการนี้เป็นวิธีการที่ต้องทำลายตัวอย่างพืชที่ทดสอบและใช้เวลามาก (Supacharoenkun, 2008) การวัดการขักกน้ำการเปิด-ปิดของปากใบพืช โดยเครื่อง Porometer (Jones et al., 2002) เป็นวิธีที่นิยมใช้ในการวัดการจัดการขักกน้ำการเปิด-ปิดของปากใบพืชในภาคสนาม แต่ยังมีข้อจำกัดของวิธีการนี้ทำให้ต้องวัดแยกเป็นใบๆ จึงต้องใช้เวลานานในการวัด การวัดปริมาณการสั่งเคราะห์แสงของพืชด้วยเครื่องมือวัดการแลกเปลี่ยนก๊าซคาร์บอนไดออกไซด์ชนิดเคลื่อนย้ายได้ (Sophanodora, 1993) เนื่องจากในกระบวนการการสั่งเคราะห์แสงมีวัตถุดิบหลัก คือ คาร์บอนไดออกไซด์ น้ำ และแสง ผลิตภัณฑ์ที่ได้จากการสั่งเคราะห์แสง คือ แบ่งและน้ำตาล แต่ในสภาวะการขาดน้ำของพืช จะส่งผลให้เกิดการใช้ CO₂ ในกระบวนการการเปิดปิดปากใบอย่าง เนื่องจาก CO₂ จะผ่านเข้ามาทางช่องปากใบของพืชและพืชที่อยู่ในสภาวะความเครียดน้ำปากใบจะปิดเพื่อลดการหายใจ (สายันธ์ สดุ, 2534) และเครื่องมือวัดการสั่งเคราะห์แสงจะวัดอัตราการแลกเปลี่ยนก๊าซคาร์บอนไดออกไซด์ ระหว่างใบพืช กับอากาศรอบใบหรือกลุ่มพืช การวัดอัตราการสั่งเคราะห์แสงของกลุ่มพืชในแปลงปลูกค่อนข้างยุ่งยากและมีราคาแพง ทั้งนี้ เพราะต้องมีเครื่องมือวัด ตลอดจน chamber ต้องมีขนาดใหญ่เพียงพอ อีกทั้งการวัดการสั่งเคราะห์แสงในแปลงปลูกพืชมักมีข้อจำกัด เนื่องจากสภาพรวมชาติ เช่น ฝน แสง และคาร์บอนไดออกไซด์ ที่สามารถควบคุมได้ยาก (Sophanodora, 1993) อย่างไรก็ได้วิธีการเปื่องต้นเหล่านี้ใช้เวลานานในการวิเคราะห์ไม่สามารถทำได้อย่างต่อเนื่อง ไม่สะดวกสำหรับการพกพา ต้องวัดแยกเป็นใบๆ และทำลายตัวอย่างในการวิเคราะห์ ดังนั้น ในปัจจุบันจึงมีการพัฒนาวิธีวัดความเครียดจากการขาดน้ำพืช โดยใช้ Thermal imaging ซึ่งเป็นวิธีการใหม่ในการตรวจหาความเครียดของน้ำในพืชที่ไม่ทำลายตัวพืช เป็นตัวชี้วัดความเครียดน้ำของพืช โดยปกติต้นพืชที่อยู่ในสภาวะความเครียดน้ำปากใบจะปิดเพื่อลดการหายใจ ถ้าการหายใจน้ำอยู่บนภูมิไปจะสูงขึ้น ผลกระทบนี้สามารถมองเห็นได้ด้วยภาพถ่ายความร้อน จากการใช้กล้อง Thermal imaging ซึ่งการใช้เทคนิคดังกล่าวจะมีประสิทธิภาพมากขึ้นเมื่อใช้คู่กับการวัดการเปิด-ปิดของปากใบพืชโดยเครื่อง Porometer (Jones et al., 2002) ในการศึกษาที่ผ่านมา พบว่า กล้อง Thermal imaging มีความแม่นยำโดยตรงกับการขักกน้ำของปากใบ (Jones et al., 2002; Leinonen et al., 2006) และมีความแม่นยำเชิงบวกกับค่าศักย์น้ำในใบ (LWP) (Cohen et al., 2005) อย่างไรก็ตาม สภาพอากาศในพื้นที่มีผลต่อการวัด

ผลลัพธ์ความร้อนภายในท้องฟุ่ม การวิเคราะห์ภาพโดยรวมที่ได้จากการกล้องสามารถปรับปรุงความแม่นยำได้ด้วยสูตรคำนวณค่าดัชนีความเครียดของน้ำในพืช (Crop Water Stress Index, CWSI) ที่คำนวณจากอุณหภูมิเรือนยอดของพืช CWSI ให้ข้อมูลที่ชัดเจนเกี่ยวกับความเครียดของพืช และการซักก้นการเปิด-ปิดของปากใบพืช (Moller et al., 2007) ดัชนีความเครียดจากสภาวะการขาดน้ำของพืช (CWSI) ได้ถูกนำไปใช้ในพืชหลายชนิด เช่น ข้าวสาลี (Yuan et al., 2004; Gontia, & Tiwari, 2008) ฝ้าย (Silva et al., 2005; O'shaughnessy et al., 2011) ข้าวโพด (Anda, 2009; Li et al., 2010; Romano et al., 2011; Taghvaeian et al., 2012) ถั่ว (Erdem et al., 2006) และผักบุ้งชนิด (Cremona et al., 2004; simsek et al., 2005; Erdem et al., 2010; Aladenola, & Madramootoo, 2014; Rud et al., 2014) หรือผลไม้ (Erdem et al., 2006; Paltineanu et al., 2009) เป็นต้น โดยในการศึกษาที่ผ่านมาแสดงให้เห็นว่าพืชไม่จำเป็นต้องให้น้ำจนกว่าจะมีค่าดัชนีความเครียดจากสภาวะการขาดน้ำของพืช (CWSI) เท่ากับ 0.25 (Anda, 2009) นอกจากนี้ Carroll II et al., (2017) ได้รายงานการศึกษาอุณหภูมิในข้าวโพดและดัชนีความเครียดจากสภาวะการขาดน้ำของพืชที่มีการกลบประทานและการจดหมายในตัวเรื่องแบบต่างๆ โดยพบว่า ค่า CWSI แตกต่างกันไปในแต่ละระบบ การให้น้ำชลประทาน ในสภาพเรือนกระจาดที่มีการให้น้ำตลอดเวลาจะมีค่า CWSI เท่ากับ 0.37 และ 0.54 สำหรับเรือนกระจาดที่ในสภาวะที่พืชมีการขาดน้ำ และ สำหรับพื้นที่ที่ได้รับน้ำสม่ำเสมอ จะมีค่า CWSI เท่ากับ 0.34 และ ค่า CWSI เท่ากับ 0.47 สำหรับพื้นที่ที่มีสภาวะแห้งแล้ง

โดยการวัดดัชนีความเครียดจากสภาวะการขาดน้ำของพืชด้วยวิธีการวัดอุณหภูมิของวัตถุจากการแพร่รังสีอินฟราเรด เป็นการถ่ายภาพรังสีความร้อนของใบพืชหรือเรือนยอดท้องฟุ่มของพืชปลูก จึงเป็นอีกวิธีการที่สามารถใช้ในการตรวจจับจุดเริ่มต้นภาวะความเครียดจากการขาดน้ำของพืช เพื่อกำหนดเวลาการให้น้ำที่แม่นยำ (Ben-Gal et al., 2009; Alchanatis et al., 2010) การตรวจวัดอุณหภูมิของใบด้วยการถ่ายภาพความร้อนด้วยรังสีอินฟราเรด เพื่อตรวจจับความเครียดจากสภาวะการขาดน้ำของพืชเป็นวิธีการเพิ่มขึ้นของอุณหภูมิในใบที่เป็นผลมาจากการปิดช่องปากของพืช เพื่อลดการหายน้ำ เนื่องจากพืชเกิดสภาวะเครียดจากการขาดน้ำ (Romano et al., 2011) อุณหภูมิของใบจึงใช้เป็นตัวบ่งชี้การเกิดสภาวะเครียดจากการขาดน้ำของพืชได้ (Gontia, & Tiwari, 2008; Zia et al., 2012) การตรวจวัดอุณหภูมิด้วยเครื่องตรวจวัดรังสีอินฟราเรดการถ่ายภาพความร้อนด้วยรังสีอินฟราเรด เป็นวิธีที่เหมาะสมสำหรับการตรวจวัดความเครียดจากสภาวะการขาดน้ำของพืชโดยไม่ทำลายตัวอย่างรุดเจ้าแม่นยำ และสามารถวัดได้อย่างต่อเนื่องและมีราคาไม่แพง (Dejonge et al., 2015) ถึงแม้ว่าการวัดดัชนีความเครียดจากสภาวะการขาดน้ำของพืช (CWSI) ด้วยการถ่ายภาพความร้อนด้วยรังสีอินฟราเรด วิธีที่เหมาะสมสำหรับการตรวจวัดความเครียดจากสภาวะการขาดน้ำ

ของพืช โดยไม่ทำลายตัวอย่างรวดเร็วแม่นยำ แต่ก็อาจเกิดความคลาดเคลื่อนได้จากปัจจัยแวดล้อม ในถ่ายภาพความร้อน เช่น การถ่ายภาพความร้อนขณะมีลมพัดพาอาจส่งผลให้อุณหภูมิในลดต่ำลง และขณะที่ความแสงเพิ่มมากขึ้นส่งผลให้อุณหภูมิในสูงขึ้นไปด้วย ทำให้การประเมินดัชนีความเครียด จากการขาดน้ำต่ำกว่าหรือสูงกว่าที่ควรเป็น (วันวิสาข์ จันทิกา, 2555)

การถ่ายภาพความร้อนด้วยรังสีอินฟราเรด (Infrared thermal imaging)

ระบบการถ่ายภาพความร้อนด้วยรังสีอินฟราเรด เครื่องตรวจจับอินฟราเรดจะดูดซับ พลังงานอินฟราเรดที่ถูกปล่อยออกมายากวัตถุและเปล่งเป็นไฟฟ้าแรงกระตุ้น แรงกระตุ้นทางไฟฟ้า ถูกส่งไปที่สัญญาณหน่วยประมวลผล ซึ่งจะทำการแปลงข้อมูลลงในภาพความร้อน อุปกรณ์สแกนภาพ ความร้อนส่วนใหญ่จะสแกนในอัตรา 30 ครั้งต่อวินาที และสามารถตรวจจับอุณหภูมิได้ตั้งแต่ -20 ถึง 1,500 องศาเซลเซียส (Meola, & Carliomagno, 2004) ในช่วง 10 ปีที่ผ่านมา กล้องถ่ายภาพ ความร้อนได้ถูกนำมาประยุกต์ใช้ในทางด้านการเกษตรอย่างแพร่หลาย เนื่องจากไม่ทำลาย ตัวอย่าง รวดเร็วแม่นยำ สามารถวัดได้อย่างต่อเนื่อง ปัจจุบันได้มีการศึกษาเกี่ยวกับกล้องถ่ายภาพ ความร้อนและได้นำมาใช้ในการวัดสภาวะเครียดจากการขาดน้ำของพืชกับอย่างแพร่หลาย โดยเฉพาะอย่างยิ่งด้านการเกษตร ถูกนำมาตรวจวัดสภาวะเครียดจากการขาดน้ำของพืชในพืช หลาภูนิด เช่น ลำไย (Wiriya-Alongkron et al., 2013) ผักบุ้ง (Jantika et al., 2013) ผ้าယ (Stoll, & Jones, 2007) ญี่ปุ่น (Sela et al., 2007; Stoll et al., 2008) ถั่ว (Jones, 2004) แตงกวา (Oerke et al., 2006) ผลไม้ตระกูลส้ม (Bulanon et al., 2008) แอปเปิล (Stajnko et al., 2004) ข้าว (Jones et al., 2009; Xu et al., 2016) ข้าวโพดเลี้ยงสัตว์ (Chen et al., 2013) การศึกษาที่ผ่านมา มีการประยุกต์ การวัดภาวะความเครียดการขาดน้ำของพืชด้วยการถ่ายภาพความร้อนด้วยรังสีอินฟราเรดร่วมกับ การวัดศักย์เมทธิกร่องน้ำในดิน (matric potential of soil water) แสดงให้เห็นว่าศักย์เมทธิกร่องน้ำ ในดินของเปลงพืชที่ถูกงดให้น้ำ ค่าศักย์เมทธิกร่องน้ำในดินลดลงอย่างรวดเร็วจนถึงระดับสูงสุด ที่ Tensiometer สามารถวัดได้ และสอดคล้องกับค่าดัชนีความเครียดของน้ำของพืชที่เพิ่มสูงขึ้น (Wiriya-Alongkron et al., 2013) การถ่ายภาพความร้อนด้วยรังสีอินฟราเรดจึงสามารถนำมา ประยุกต์ใช้ในการวัดภาวะความเครียดการขาดน้ำของพืชได้ เพื่อความแม่นยำและความรวดเร็ว ใน การประเมินภาวะความเครียดการขาดน้ำของพืช

Wiriya-Alongkron et al. (2013) ได้ทดลองใช้เทคนิคการวัดอุณหภูมิของใบลำไย โดยการถ่ายภาพรังสีความร้อนด้วยกล้องถ่ายภาพความร้อนเพื่อตรวจสอบความเครียดจากการขาดน้ำ ในต้นลำไยโดยถ่ายภาพความร้อนในช่วงเวลา 12.00 - 14.00 น. โดยตั้งกล้องถ่ายภาพความร้อนอยู่ที่ ระยะห่าง 5 เมตร จากต้นลำไยในด้านที่ถูกแสงแดดและด้านที่มีแสงเงา โดยการอ้างอิงที่อุณหภูมิ

สูงสุดเมื่อใบพืชไม่สามารถดูดซึมน้ำได้ โดยการเคลือบใบพืชด้วยวาสลีน (ทาวาสลีนที่ด้านบนและด้านล่างของใบพืช) เพื่อปิดกั้นการระเหยน้ำโดยสมบูรณ์นาน 10 นาที และอุณหภูมิต่ำสุดของเรือนยอดที่เป็นไปได้ ทดสอบโดยการพ่นน้ำเป็นละอองให้เบียกเรือนยอดทั้งหมดนาน 10 นาที เพื่อเบริยบเทียบกับอุณหภูมิพืชปกติและนำไปใช้ในสมการคำนวณดังนี้ความเครียดนำของพืช (Jantika et al., 2013; Wiriya-Alongkron et al., 2013) การคำนวณโดยสูตรของ (Jones, 1999)

$$\text{CWSI} = \frac{(Tl - Twet)}{(Tdry - Twet)}$$

เมื่อ Tl คือ ค่าอุณหภูมิใบพืชที่วัดได้ตามสภาพจริงของแต่ละกรวยวีชี

$Twet$ คือ ค่าอุณหภูมิต่ำสุดของใบที่เป็นไปได้ เมื่อมีการพ่นน้ำเป็นละอองให้เบียกใบพืช

$Tdry$ คือ ค่าอุณหภูมิสูงสุดของใบพืชเมื่อใบพืชไม่สามารถดูดซึมน้ำได้ คือ ใบพืชถูกเคลือบด้วยวาสลีนปิดกั้นการระเหยน้ำโดยสมบูรณ์

อย่างไรก็ตาม การตรวจวัดสภาพความเครียดจากการขาดน้ำของพืชด้วยวิธีการถ่ายภาพความร้อนด้วยกล้องถ่ายภาพความร้อน ยังมีอุปสรรคที่ควรระวังมั่นคงรังและควรสังเกตไม่ให้การถ่ายภาพความร้อนมีปัจจัยอื่นเข้ามาเกี่ยวข้อง วิธีการวิเคราะห์ดัชนีความเครียดของพืช (CWSI) จะต้องไม่ได้รับผลกระทบจากปัจจัยอื่น เช่น อุณหภูมิพื้นดินที่อาจทำให้เกิดความแปรปรวนของค่า CWSI เนื่องจากกล้องถ่ายภาพความร้อนเป็นการถ่ายภาพจากวงลีดความร้อนของวัตถุ (Taghvaeian et al., 2012)

สภาพพื้นที่ที่เหมาะสมในการปลูกข้าวโพดและฤดูกาลปลูกที่เหมาะสม

1. สภาพพื้นที่ที่เหมาะสม

ข้าวโพดเป็นพืชที่สามารถปลูกได้เกือบทุกพื้นที่ ตั้งแต่เส้นรุ้งที่ 50 องศาเหนือ ไปจนถึงเส้นรุ้งที่ 50 องศาใต้ พื้นที่ที่ต่ำกว่าระดับน้ำทะเลและพื้นที่ที่สูงกว่าระดับน้ำทะเล 1000 เมตร เนื่องจากข้าวโพดมีความแปรปรวนทางพันธุกรรมของข้าวโพด

การปลูกข้าวโพดในช่วงวันยามจะช่วยให้จำนวนใบเพิ่มขึ้น และเพิ่มเวลาในการออกดอกและดอกแก่เยาวชน เนื่องจากข้าวโพดเป็นพืชวันสั้น ข้าวโพดเป็นพืชที่มีการปรับตัวเข้าได้เกือบทุกสภาพแวดล้อม แต่อุณหภูมิที่ทำให้ข้าวโพดมีการเจริญเติบโตได้คือตั้งแต่ 24-30 องศาเซลเซียส อุณหภูมิที่ต่ำที่สุดที่ข้าวโพดสามารถทนได้คือ 10 องศาเซลเซียส ในช่วงการออกของข้าวโพด ในช่วงที่ข้าวโพดยังเป็นต้นกล้าจะมีความต้านทานต่อสภาพอากาศหนาๆ ได้ดี แต่เมื่อข้าวโพดมีการเจริญเติบโตมากขึ้น จะต้านทานสภาพอากาศหนาๆ ได้ไม่ดี ดินที่มีความเหมาะสมในการปลูกข้าวโพดจะต้องมีค่าพีเอซ

5.5-8 และมีมาตรฐานหลักสูง “ได้แก่ ในต่อๆ เดือน พ.ศ. ๒๕๕๘ และไปแต่ละเดือน (สถาบันวิจัยและพัฒนาแห่งมหาวิทยาลัยเกษตรศาสตร์, ๒๕๕๘)

2. ฤดูกาลปลูกที่เหมาะสม

บริมาณน้ำฝนและการกระจายตัวของฝนในช่วงการปลูกเป็นปัจจัยหลักในการปลูกข้าวโพด ซึ่งจะมีอิทธิพลต่อการปลูกและผลผลิตข้าวโพด สำหรับประเทศไทยฤดูกาลปลูกข้าวโพดที่เหมาะสม คือ เดือนเมษายน - พฤษภาคม เป็นช่วงต้นฝนจะให้ผลผลิตดีกว่าช่วงเดือนกรกฎาคม - สิงหาคม เป็นช่วงปลายฝน แต่การปลูกช่วงต้นฝนจะประสบปัญหาน้ำในช่วงการเก็บเกี่ยว เนื่องจากมีฝนตกมาก (สถาบันวิจัยและพัฒนาแห่งมหาวิทยาลัยเกษตรศาสตร์, ๒๕๕๘)

3. ความต้องการน้ำและการใช้น้ำแก่ข้าวโพด

ตลอดช่วงระยะเวลาในการปลูกข้าวโพด ข้าวโพดจะมีความต้องการใช้น้ำประมาณ 736 มิลลิเมตร หรือประมาณ 1,177 ลูกบาศก์เมตร/ไร่

ตาราง 1 Crop Water Requirement

ลำดับ ที่	ระยะเวลาเจริญเติบโต	ปริมาณความต้องการน้ำของข้าวโพด	
		มิลลิเมตรต่อสัปดาห์	ลูกบาศก์เมตรต่อไร่ต่อสัปดาห์
1	เริ่มออก	28	44
2		33	53
3		38	62
4	เจริญเติบโตทางลำต้นและใบ	46	74
5		56	90
6		63	101
7		68	109
8	ออกดอก	72	116
9		73	116
10		68	109
11		64	103
12	สะสมน้ำหนักเมล็ด	52	84
13		42	67
14		32	50
ปริมาณน้ำที่ข้าวโพดต้องการใช้		736	1,177
ตลอดฤดูกาลปลูก			

4. การให้น้ำข้าวโพด

4.1 การให้น้ำครั้งแรกเมื่อปลูก

หลังจากการไถพรวนดินแล้วก่อนยอดเมล็ดพันธุ์ข้าวโพด ควรมีการให้น้ำแก่ต้น 50 - 65 ลูกบาศก์เมตร/ไร่ เพื่อให้ติดมีความชื้น แล้วจึงยอดเมล็ดพันธุ์ ห้ามให้มีน้ำซึ้งในบริเวณแปลงปลูก

4.2 การให้น้ำในช่วงระยะเวลาเจริญเติบโตของข้าวโพด

ในช่วงที่เมล็ดเกิดการงอกเป็นต้นกล้าแล้วควรมีการให้น้ำ 65 - 80 ลูกบาศก์เมตร/ไร่/สัปดาห์ เป็นเวลา 11 - 12 สัปดาห์ ห้ามให้มีน้ำซึ้งในบริเวณแปลงปลูก (สถาบันวิจัยและพัฒนาแห่งมหาวิทยาลัยเกษตรศาสตร์, 2558)

ลักษณะทั่วไปของข้าวโพดเลี้ยงสัตว์

วงศ์ Gramineae

ชื่อวิทยาศาสตร์ Zea mays L.

ชื่อสามัญ Maize

ชื่อไทย ข้าวโพด

ลักษณะทางพฤกษศาสตร์

ข้าวโพดมีระบบรากเป็นระบบรากฟอย (fibrous root system) มีการเจริญส่วนของระบบราก 2 ส่วน ได้แก่ ส่วนที่มีการเจริญของระบบรากออกมาจากคัพภะ (primary root) ระบบรากที่มีการเจริญออกมากจากคัพภะจะมีรากแขนงผลลูกอกมา (secondary root) ขณะที่ข้าวโพดยังเป็นต้นอ่อนจะตามเมื่อข้าวโพดเติบโตขึ้น และส่วนที่มีการเจริญของระบบรากออกมากจากส่วนของข้อของลำต้น (adventitious root) เป็นการเจริญมากจากปูมที่ส่วนข้อของลำต้นส่วนล่าง เป็นระบบรากหลักที่ใช้ในการดูดน้ำและหาอาหาร มีทั้งส่วนที่อยู่ใต้ดินและส่วนที่เป็นภาคอากาศ ส่วนของลำต้นข้าวโพดมีลักษณะเป็นข้อ (node) และปล้อง (internode) มีรูปร่างกลมเป็นตันตรง เป็นเรียวเล็กขึ้นไปทางยอดส่วนของใบข้าวโพด ประกอบไปด้วย กากใบ (leaf sheath) และแผ่นใบ (leaf blade) กากใบจะอยู่ส่วนล่างของลำต้น ทำหน้าที่ห่อหุ้มต้นข้าวโพด แผ่นใบจะมีเส้นใบขนาดใหญ่กว่าตัวใบและมีขนาดอยู่ที่บริเวณผิวใบด้านบน ด้านบนของใบมีขนาดปากใบที่ใหญ่กว่าด้านล่างใบ แต่ด้านล่างใบมีจำนวนปากใบมากกว่าด้านบน ชุดดอกแบ่งออกเป็นชุดดอกตัวผู้และชุดดอกตัวเมีย ข้าวโพดจะมีชุดดอกตัวผู้อยู่บริเวณปลายยอดของลำต้น บริเวณปล้องสุดท้าย และดอกตัวผู้ของข้าวโพดจะมีลักษณะเกสรตัวผู้เป็นสีเหลือง ส่วนชุดดอกตัวเมียจะเกิดอยู่บนลำต้นนับจากใบลงลงมา 7-8 ใบ ชุดดอกหรือเรียกทั่วไปว่าฝัก จะเริ่มผลลูกอกมาเมื่อข้าวโพดอายุ 40-45 วัน และจะมีดอกอยู่บนฝักจะมีใหม่ผลลูกอกมาเพื่อ

รับการผสานเกสร และส่วนของเมล็ดหรือผล ภายในจะประกอบไปด้วย คัพภะที่มีน้ำมันค่อนข้างสูง และมีส่วนที่สะสมอาหารคือ เอนโดสเปอร์ม หลังจากมีการผสานเกสรแล้ว 45 วัน เมล็ดหรือผลจะมี การหยุดการเจริญเติบโต รูปร่างของเมล็ดจะมีลักษณะค่อนข้างกลม แบน และมีเหลี่ยม ขึ้นอยู่กับ ความหนาแน่นเมล็ดที่อยู่บนฝัก (เวชต์ เลิศฤทธิ์โยธิน, 2541)



บทที่ 3

วิธีดำเนินการวิจัย

อุปกรณ์

1. เมล็ดพันธุ์ข้าวโพดศีรี 888
2. ปุ๋ยเคมี ได้แก่ ปุ๋ยสูตร 15-15-15 ปุ๋ยสูตร 46-0-0
3. อุปกรณ์การปลูกและดูแลรักษา
4. อุปกรณ์การให้น้ำแบบระบบน้ำหยด
5. ถุงบีกเบ็คสำหรับการปลูกข้าวโพดในการทดลอง
6. ไม้วัดความชื้นต้นข้าวโพด
7. เครื่องวัดความเขียว (เครื่อง SPAD 502)
8. กล้องถ่ายภาพความร้อน (กล้องอินฟราเรดรุ่น FLIR C2)
9. เครื่อง Porometer รุ่น SC-1 leaf porometer
10. เครื่องวัดความชื้นในดิน (WATERMARK 84 Soil Moisture)
11. เครื่องวัดประสิทธิภาพการสั่งเคราะห์แสง (เครื่อง FluorPen FP 100)
12. ตู้อบ
13. เครื่องซึ่งไฟฟ้า
14. อุปกรณ์และสารเคมีสำหรับวิเคราะห์ดิน

สถานที่ทำการทดลอง

โรงเรือนพลาสติก ตั้งอยู่ที่ หมู่ที่ 9 ตำบลท่าโพธิ์ อำเภอเมือง จังหวัดพิษณุโลก (Latitude 16.73 Longitude 100.18) เป็นโรงเรือนหลังคาเหล็ก ขนาดกว้าง 10 เมตร ยาว 20 เมตร สูง 5 เมตร หลังคาคลุมด้วยพลาสติกชุน โดยทำการทดลองระหว่างเดือนสิงหาคม ถึง เดือนมีนาคม พ.ศ. 2561

การเตรียมการปลูก

เก็บตัวอย่างดินที่ใช้ในการทดลองเพื่อวิเคราะห์สมบัติดินบางประการก่อนทำการทดลอง แสดงในตาราง 1 หลังจากนั้น บดดินให้ขนาดเล็กลง และใช้ตะแกรงร่อนดินขนาด 5 มิลลิเมตร นำดินใส่ในถุงบีกเบ็คขนาดกว้าง 50 เซนติเมตร ยาว 50 เซนติเมตร สูง 50 เซนติเมตรถุงละ 80 กิโลกรัม ให้ความชื้นของดินสูงถุงละ 50 เซนติเมตร



ภาพ 2 Sack bag/with hole

ตาราง 2 Soil properties of the experimental study

Soil properties	Values	Standard
EC (dS/m)	0.38	เค็มน้ำออย
pH	5.6	กรดปานกลาง
OM (%)	1.2	ค่อนข้างต่ำ
Total N (%)	0.06	ต่ำมาก
Available P (mg/kg)	7.99	ต่ำมาก
Exchangeable K (mg/kg)	46.08	ต่ำ
Soil texture		Clay loam

การวางแผนการทดลอง

ทำการศึกษาโดยการวางแผนการทดลองแบบ CRD (Completely randomized design) ประกอบด้วย 5 กรรมวิธี กรรมวิธีละ 5 ชั้า โดยกำหนดบีจจัยต่างๆ ลงในแผนการทดลอง ดังนี้

กรรมวิธีที่ 1 กรรมวิธีควบคุมให้น้ำตลอด (คำนวณตามความต้องการน้ำของพืช) (T1)

กรรมวิธีที่ 2 ลดการให้น้ำลง 50% ของกรรมวิธีที่ 1 เมื่อข้าวโพดมีพื้นที่การปักลุ่มдин 20% และให้เท่ากับกรรมวิธีที่ 1 เมื่อข้าวโพดมีเกสรตัวผู้ออกมา (T2)

กรรมวิธีที่ 3 ลดการให้น้ำลง 50% ของกรรมวิธีที่ 1 เมื่อข้าวโพดมีพื้นที่การปักลุ่มдин 20% ถึงอายุการเก็บเกี่ยว (T3)

กรรมวิธีที่ 4 ลดการให้น้ำลง 50% ของกรรมวิธีที่ 1 เมื่อพืชมีเกษตรตัวผู้ออกมาถึงอายุการเก็บเกี่ยว (T4)

กรรมวิธีที่ 5 งดการให้น้ำเมื่อพืชมีเกษตรตัวผู้ถึงอายุการเก็บเกี่ยว (T5)

การทดลอง ประกอบด้วย 5 กรรมวิธี กรรมวิธีละ 5 ต้น ทำการทดลองปลูกในถุงบีกเบ็ค จำนวน 25 ถุง ระยะห่างระหว่างต้น 0.25 เมตร ในหนึ่งถุงทำการปลูกข้าวโพดถุงละ 2 ต้น และ ยอดเมล็ดหกมละ 3 เมล็ดต่อหกม พืชอมกับใสปุ๋ยรองพื้นสูตร 15-15-15 อัตรา 30 กิโลกรัมต่อไร่ หลังจากข้าวโพดออกอายุได้ 10 วัน ถอนแยกให้เหลือหกมละ 1 ต้น และให้น้ำแบบระบบน้ำหยด ตามกรรมวิธีการที่กำหนดไว้ (ตาราง 3) เมื่อข้าวโพดอายุได้ 30 วันหลังปลูก ทำการจำจัดรักพืช พืชอมใสปุ๋ยแต่งหน้าสูตร 46-0-0 อัตรา 40 กิโลกรัมต่อไร่ (ศูนย์วิจัยพืชไร่นครสวรรค์, 2562)

ระบบการให้น้ำ

การให้น้ำในการศึกษาครั้นี้เป็นการให้น้ำด้วยระบบน้ำหยด ปริมาณน้ำ 0-100 ลิตรต่อชั่วโมง หรือ 1.5-1.83 ลิตรต่อนาที 1 หัว ต่อ 1 ถุงโดยติดตั้งหัวน้ำหยด 1 หัวต่อ 1 ถุงบีกเบ็คที่ใช้ในการทดลอง การให้น้ำ 1 วันให้น้ำ 1 ครั้ง และให้น้ำในเวลาเดียวกันตลอดการทดลอง ปริมาณการให้น้ำในแต่ละวัน มีดังนี้

ตาราง 3 Irrigation plan

Week	T1 (L/pot*day)	T2 (L/pot*day)	T3 (L/pot*day)	T4 (L/pot*day)	T5 (L/pot*day)
1	0.5	0.5	0.5	0.5	0.5
2	0.5	0.5	0.5	0.5	0.5
3	0.5	0.5	0.5	0.5	0.5
4	0.7	0.4	0.4	0.7	0.7
5	0.7	0.4	0.4	0.7	0.7
6	1.0	0.5	0.5	1.0	1.0
7	1.2	0.6	0.6	1.2	1.2
8	1.5	0.8	0.8	1.5	1.5
9	1.5	0.8	0.8	1.5	1.5
10	1.5	1.5	0.8	0.75	stop irrigation
11	1.5	1.5	0.8	0.75	
12	1.5	1.5	0.8	0.75	

ตาราง 3 (ต่อ)

Week	T1 (L/pot*day)	T2 (L/pot*day)	T3 (L/pot*day)	T4 (L/pot*day)	T5 (L/pot*day)
13	1.5	1.5	0.8	0.75	
14	1.5	1.5	0.8	0.75	
15	1.0	1.0	0.5	0.5	
16	1.0	1.0	0.5	0.5	
17	0.5	0.5	0.3	0.25	

การวัดความเครียดของความชื้นดิน

การประเมินแรงดึงหือความเครียดของน้ำในดินวันละ 1 ครั้ง เวลา 16.00 น. ตลอดการทดลองโดยใช้ WATERMARK 84 (Spectrum Technologies, Aurora, IL, USA) วัดแรงดึงหือความเครียดของน้ำในดินที่ระดับความลึก 10 เซนติเมตร แล้วนำมารាជนหาค่า pF หรือค่าความเครียดของความชื้นดิน โดยใช้สูตรของ Lal and Shukla, 2004 ดังนี้

$$pF = \log |\Psi_m|$$

การเก็บข้อมูลสภาพอากาศในโรงเรือน

การเก็บรวบรวมข้อมูลสภาพอากาศในโรงเรือนที่ใช้ในการทดลอง โดยใช้ Tiny tag (Tinytag Plus 2 - TGP-4500) จาก Gemini Data Loggers เก็บรวบรวมอุณหภูมิและความชื้นสัมพัทธ์ เก็บรวบรวมข้อมูลทุกๆ 5 นาที

การเก็บข้อมูลการเจริญเติบโต องค์ประกอบผลผลิตและผลผลิต

1. ลักษณะการเจริญเติบโตและลักษณะทางสรีรวิทยา

เก็บตัวอย่างการเก็บข้อมูลข้าวโพดทุกต้นในการทดลอง โดยทำการเก็บข้อมูลทุกสัปดาห์ เริ่มเก็บข้อมูลเมื่อข้าวโพดอายุ 2 สัปดาห์ ถึง 12 สัปดาห์ หลังจากการออก เพื่อบันทึกข้อมูล ดังต่อไปนี้

1.1 ความสูงของต้น วัดจากผิวดินถึงข้อใบสุดท้ายที่มีการเจริญเติบโตเต็มที่

1.2 ภาระพื้นที่ใบ โดยการเก็บข้อมูลความกว้าง ความยาว และจำนวน แล้วมาคำนวณหาพื้นที่ใบด้วยสูตรของ Kang et al. (2003)

$$\text{Leaf Area} = 0.74 \times \sum_{i=1}^n L_i W_i$$

เมื่อ i = จำนวนใบ

L = ความยาวใบ

W = ความกว้างใบ

1.3 ดัชนีความเขียวใบ วัดด้วยเครื่องวัดความเขียว SPAD 502 (SPAD chlorophyll meter reading units, KONICA MINOLTA)

1.4 ประดิษฐ์ภาพการสังเคราะห์ด้วยแสงของพืช โดยใช้ FluorPen FP 100 ของบริษัท ManualsLib

2. ผลผลิตและองค์ประกอบของผลผลิต

การประเมินผลผลิตและองค์ประกอบผลผลิตของข้าวโพดเลี้ยงสัตว์ภายใต้สภาวะขนาดนำ้ ของแต่ละระยะการเจริญเติบโต ด้วยการประเมินข้อมูล ดังต่อไปนี้

- 2.1 มวลซึ่วภาพแห้งเหนือดิน เป็นน้ำหนักมวลซึ่วภาพเฉพาะส่วนของลำต้นและใบ
- 2.2 น้ำหนักแห้งฝัก เป็นน้ำหนักเฉพาะส่วนของเมล็ดและแกนกลางของข้าวโพด
- 2.3 จำนวนเมล็ดต่อฝัก
- 2.4 ดัชนีการเก็บเกี่ยว (Harvest Index)
- 2.5 น้ำหนักแห้งเมล็ด
- 2.6 น้ำหนัก 100 เมล็ด
- 2.7 จำนวนฝักต่อต้น

การวัดภาวะความเครียดการขาดน้ำในข้าวโพด

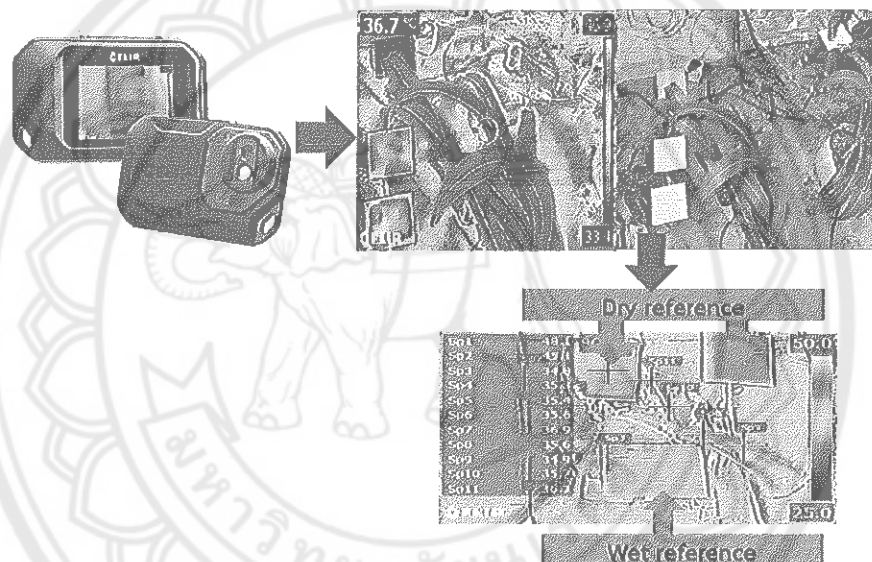
1. กล้องถ่ายความร้อน

การถ่ายภาพความร้อน เริ่มเก็บข้อมูลดัชนีความเครียดจากการขาดน้ำของพืชด้วยกล้องถ่ายภาพความร้อน FLIR C2 (FLIR Systems, Inc., Wilsonville, OR, USA) เมื่อทำการงัดกรอกให้เข้า แก่ข้าวโพด โดยการถ่ายภาพรังสีความร้อนด้วยกล้องถ่ายภาพความร้อนเพื่อตรวจสอบความเครียด จากการขาดน้ำในต้นพืชโดยถ่ายภาพความร้อนในช่วงเวลา 08.00-10.00 น., 10.00-12.00 น. และ 12.00-14.00 น. เมื่อข้าวโพดอายุ 25, 30, 35, 40, 45, 50, 55 และ 60 วันหลังปีกุก โดยถ่ายภาพ ความร้อนอยู่ในมุม 90 องศา และระยะห่างของการถ่ายภาพอยู่เหลือจากใบพืช 1.5 เมตร โดยการอ้างอิงที่อุณหภูมิสูงสุดเมื่อใบพืชไม่สามารถดูดซับน้ำได้ โดยการใช้ผ้าฟองน้ำอเนกประสงค์ สีเขียวขนาด 20 x 20 เซนติเมตร ทึบไว้กลางเดือนาน 30 นาที และการอ้างอิงที่อุณหภูมิต่ำสุดของใบ ที่เป็นไปได้ โดยการใช้ผ้าฟองน้ำอเนกประสงค์สีเขียวขนาด 20 x 20 เซนติเมตร ชูบน้ำแล้วทึบไว้

กล่างเดือนาน 30 นาที หลังจากการถ่ายภาพความร้อน นำภาพได้ไปทำการแปลผลอุณหภูมิโดยใช้ซอฟต์แวร์ FLIR Tool 5.1 จากนั้น นำผลที่ได้มามาไปใช้ในสมการคำนวณดังนี้ความเครียดน้ำของพีช (Jones, H.G., 1999)

$$\text{CWSI (ดัชนีความเครียดน้ำของพีช)} = \frac{(Tl - Twet)}{(Tdry - Twet)}$$

เมื่อ Tl คือ ค่าอุณหภูมิเรือนยอดพีชที่วัดได้ตามสภาพจริงของแต่ละกรุณวิธี
 $Twet$ คือ ค่าอุณหภูมิต่ำสุดของพีชที่เป็นไปได้
 $Tdry$ คือ ค่าอุณหภูมิสูงสุดของเรือนยอดเมื่อใบพีชไม่สามารถหายน้ำได้



ภาพ 3 Image processing by FLIR tool software

2. การวัดการซักน้ำการเปิดปิดปากใบด้วยเครื่อง Porometer รุ่น SC-1 leaf porometer ทำการเก็บข้อมูลหลังจากการเริ่มงดการให้น้ำแก่ช้าวโพด โดยการวัดพร้อมกับกล้องถ่ายภาพความร้อน ช่วงเวลา 08.00 น. - 10.00 น., 10.00 น. - 12.00 น. และ 12.00 น. - 14.00 น. โดยการเก็บข้อมูล เมื่อช้าวโพดอายุ 25, 30, 35, 40, 45, 50, 55 และ 60 วันหลังปลูก

3. การวัดอัตราการสั่งเคราะห์ด้วยแสงของพีชด้วยเครื่อง FluorPen FP 100 (ManualsLib) ทำการเก็บข้อมูลในช่วงเวลา 11.00 น. - 13.00 น. โดยการเก็บข้อมูลช้าวโพดทุกต้นในการทดลอง ทุกๆ 2 สัปดาห์

การวิเคราะห์ข้อมูล

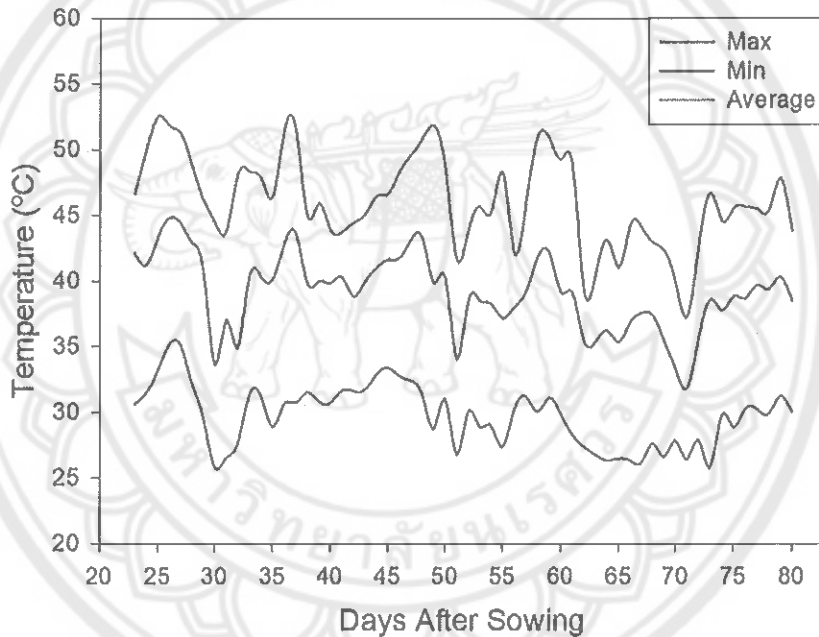
การวิเคราะห์ข้อมูลทางสถิติของค่าดัชนีความเครียดจากการขาดน้ำของช้าวโพด ลักษณะทางศรีริพยา องค์ประกอบผลผลิตและผลผลิตช้าวโพด โดยใช้โปรแกรม R (R-Language and environment for statistical computing and graphics version 3.5.2) และเปรียบเทียบ ความแตกต่างของค่าเฉลี่ยโดย Least significant difference (LSD) ที่ระดับความเชื่อมั่น 95% และวิเคราะห์ความสัมพันธ์ของตัวแปรต่างๆ โดยวิธีการสร้างสมการถดถอยเชิงเส้นอย่างง่าย (simple linear correlation coefficients)



บทที่ 4

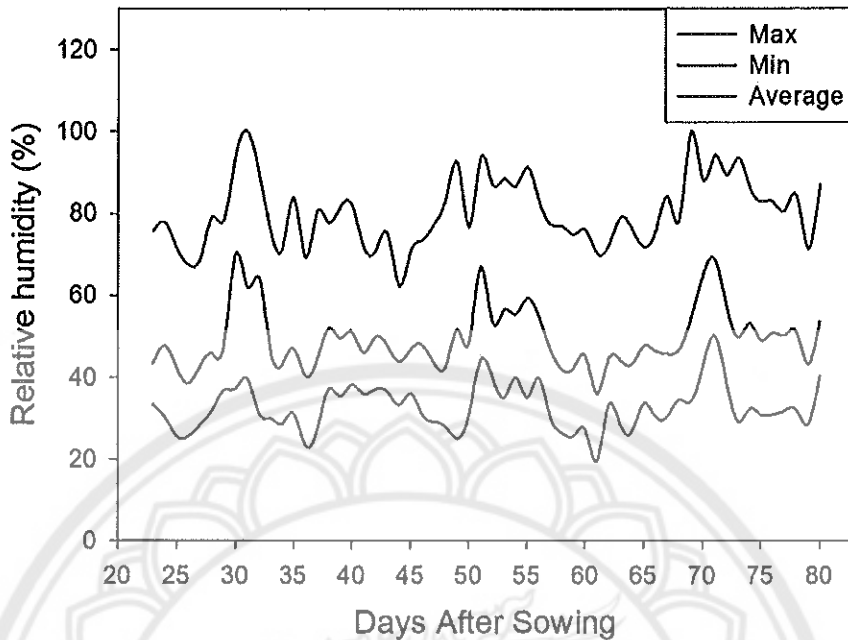
ผลการวิจัย

ภูมิอากาศในโรงเรือนระหว่างทำการทดลอง ได้แก่ อุณหภูมิและความชื้นสัมพันธ์ แสดงในภาพ 3 พบว่า ในช่วงเวลา 08.00 - 18.00 น. อุณหภูมิสูงสุดภายในโรงเรือนอยู่ที่ $37.28 - 52.55$ องศาเซลเซียส อุณหภูมิต่ำสุดภายในโรงเรือนอยู่ที่ $25.83 - 35.13$ องศาเซลเซียส และอุณหภูมิเฉลี่ยระหว่างวันอยู่ที่ $31.81 - 44.80$ องศาเซลเซียส



ภาพ 4 Daily minimum, maximum and mean temperatures ($^{\circ}\text{C}$) in a greenhouse during 08.-00 am. - 06.00 p.m.

ความชื้นสัมพันธ์ระหว่างการทดลอง พบร่วมกับความชื้นสัมพันธ์ระหว่างวันในช่วงเวลา 08.00 - 18.00 น. ความชื้นสัมพันธ์สูงสุดภายในโรงเรือนอยู่ในช่วง $62.36 - 100.00$ เปอร์เซ็นต์ ความชื้นสัมพันธ์ต่ำสุดภายในโรงเรือนอยู่ในช่วง $19.58 - 50.15$ เปอร์เซ็นต์ และความชื้นสัมพันธ์เฉลี่ยระหว่างวันอยู่ที่ $36.00 - 70.27$ เปอร์เซ็นต์

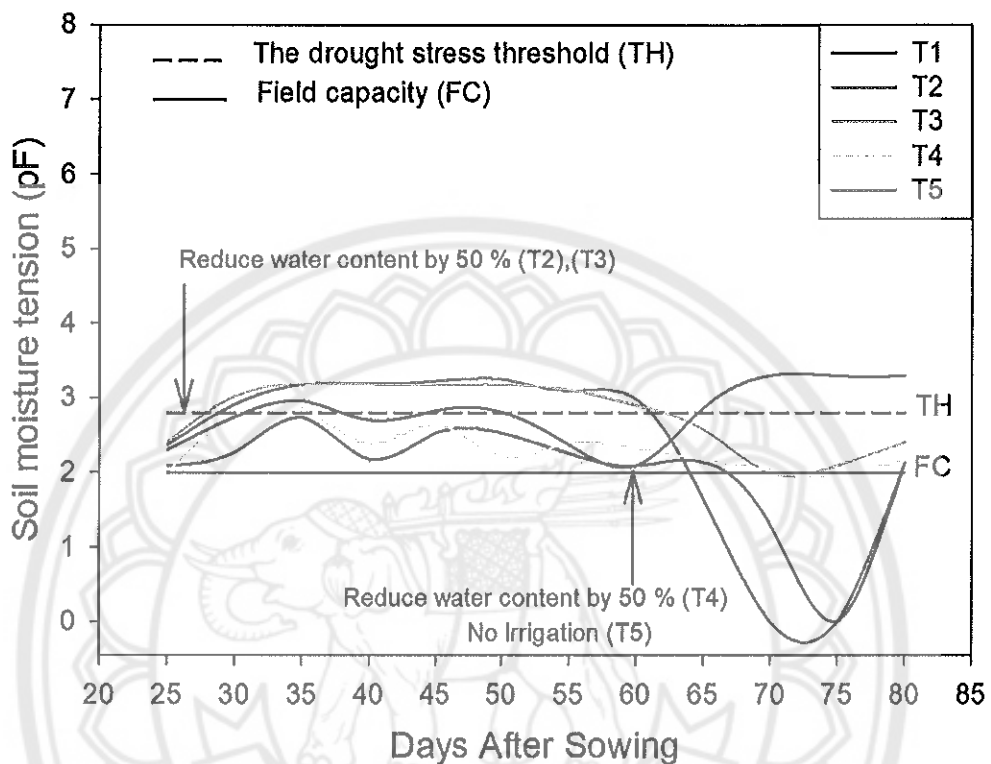


ภาพ 5 Daily minimum, maximum and mean relative humidity (%) in a greenhouse during 08.-00 am. - 06.00 p.m.

ความเครียดของน้ำในดิน (ค่า pF)

จากการทดลอง พบร่วมกับการเพาะชำ 20 วันหลังปลูก ดินมีความชื้นไส้เดือยกันทั้งห้ากรวยวิธี (ค่า pF 2.0-2.5) โดยกรวยวิธีควบคุม (T1) ดินมีสภาพความชื้นเหมาะสมสำหรับข้าวโพดตลอดช่วงการทดลองปลูกข้าวโพด มีค่า pF เฉลี่ยตลอดการทดลองเท่ากับ 2.0 ในขณะที่กรวยวิธี 2 ลดการให้น้ำ 50 เปอร์เซ็นต์ถึงระดับออกดอก พบร่วมกับ 10 วันหลังจากลดการให้น้ำเหลือ 50 เปอร์เซ็นต์ของกรวยวิธีควบคุม สภาพความชื้นดินอยู่ในระดับดินแห้งเมื่อกลับมาให้น้ำในระดับปกติหลังการออกดอก (ข้าวโพดอายุ 55 วันหลังปลูก) สภาพความชื้นดินกลับมาอยู่ในสภาพเหมาะสมแต่มีช่วงสั้นๆ ที่ความชื้นดินอยู่สภาพค่อนข้างแห้ง กรวยวิธีที่ 3 ลดการให้น้ำ 50 เปอร์เซ็นต์ถึงระดับเก็บเกี่ยว พบร่วง สภาพความชื้นดินในระยะแรกอยู่ในระดับดินแห้ง และเมื่ออยู่ในระยะหลังการออกดอกความชื้นดินอยู่ในระดับค่อนข้างแห้ง แม้กรวยวิธีที่ 4 ลดการให้น้ำ 50 เปอร์เซ็นต์ในระยะออกดอกถึงระยะเก็บเกี่ยว ความชื้นดินอยู่ในระดับค่อนข้างแห้งมาก หลังจาก 45 วัน หลังปลูก ความชื้นดินอยู่ในระดับเหมาะสม และกรวยวิธีที่ 5 งดการให้น้ำ เมื่ออยู่ในระยะออกดอกถึงระยะเก็บเกี่ยว สภาพความชื้นดินในระยะแรกอยู่ในระดับเหมาะสม และเมื่องดการให้น้ำเมื่อข้าวโพด

อายุ 60 วันหลังปลูก ซึ่งอยู่ในระยะหลังการออกดอกออกผลตัวผู้ พบร่วมกับจากมีการลดน้ำ 5 วัน ความชื้นดินอยู่ในระดับดินแห้งจนถึงช่วงเก็บเกี่ยว (ภาพ 5)

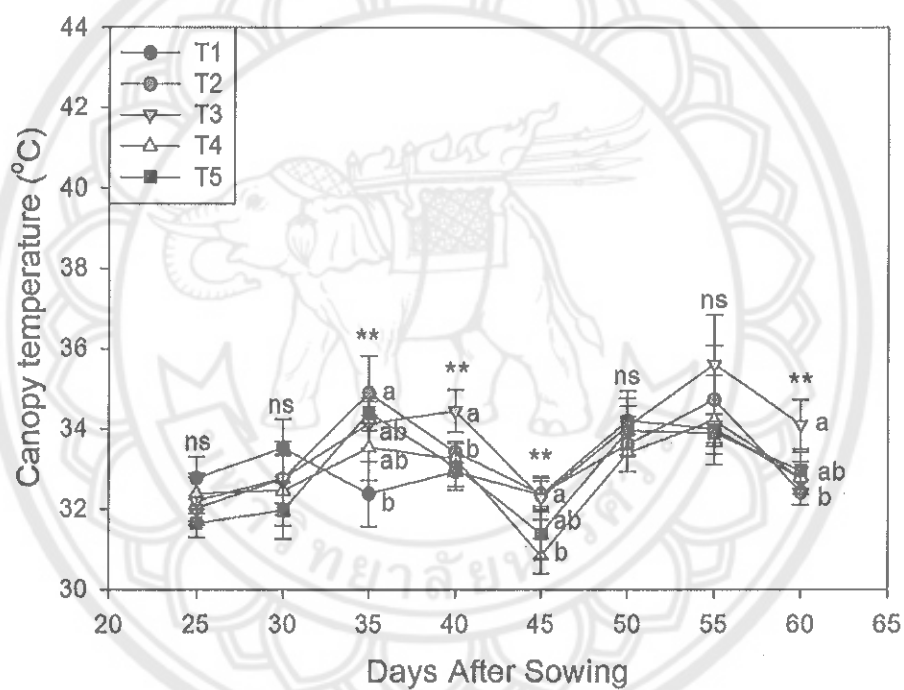


ภาพ 6 Curve of average change in pF value at 10 cm soil depth under different water deficit conditions

อุณหภูมิเรือนยอดข้าวโพดภายใต้ภาวะขาดน้ำแตกต่างกัน

การวัดค่าอุณหภูมิเรือนยอดโดยการถ่ายภาพความร้อน ในช่วงเวลา 10.00 น. - 12.00 น. เมื่อข้าวโพดอายุ 25, 30, 35, 40, 45, 50, 55 และ 60 วันหลังปลูกแสดงในภาพ 6 จากการศึกษา เมื่อข้าวโพดอายุ 20 วันหลังปลูกลดการให้น้ำ 50 เปอร์เซ็นต์ของกรรมวิธีควบคุม ในกรรมวิธีที่ 2 และ 3 พบว่า หลังลดการให้น้ำ 50 เปอร์เซ็นต์ เป็นเวลา 5 และ 10 วันอุณหภูมิเรือนยอดข้าวโพด ทั้งห้ากรรมวิธีไม่แตกต่างกันอย่างมีนัยสำคัญทางสถิติ ($p > 0.05$) โดยมีอุณหภูมิเรือนยอดข้าวโพด อยู่ในช่วง 32.2 - 32.7 องศาเซลเซียส เมื่อระยะเวลาผ่านไป 15, 20 และ 25 วันลดลงการให้น้ำ 50 เปอร์เซ็นต์ อุณหภูมิเรือนยอดข้าวโพดของทั้งห้ากรรมวิธีมีความแตกต่างกันทางสถิติอย่างมีนัยสำคัญ ($p < 0.05$) ในขณะที่ช่วงข้าวโพดอายุ 50 และ 55 วันหลังปลูก เป็นช่วงที่อุณหภูมิเฉลี่ย

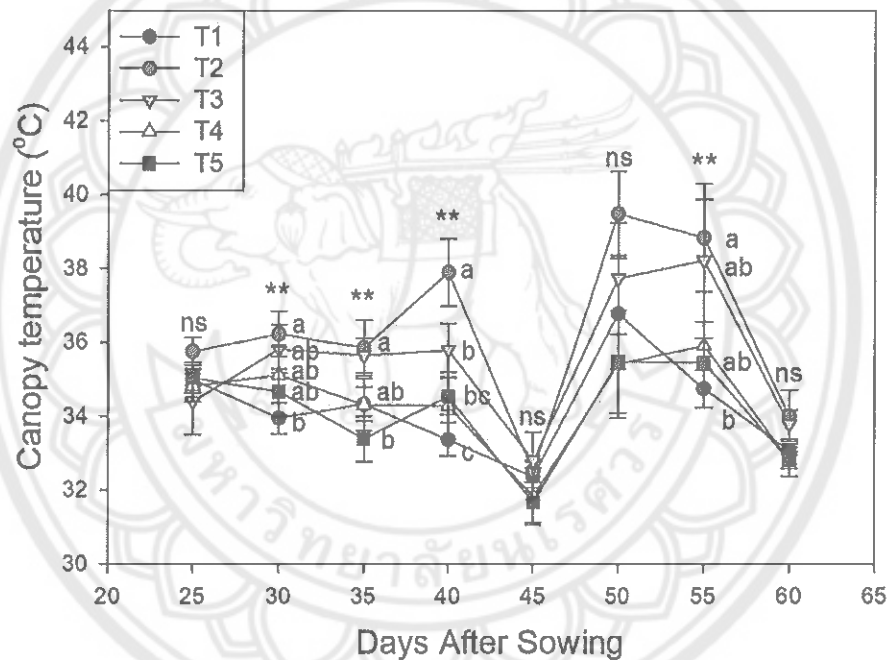
ของอากาศต่ำลง ทำให้อุณหภูมิเรือนยอดข้าวโพดทั้งห้ากรรรมวิธีไม่แตกต่างกันอย่างมีนัยสำคัญทางสถิติ ($p > 0.05$) เมื่อข้าวโพดอายุ 60 วันหลังปลูก กรรมวิธีที่ 2 กลับมาให้น้ำในระดับปกติ คือ ระดับเดียวกับกรรมวิธีควบคุม พบว่า กรรมวิธีที่ 3 ที่ยังลดการให้น้ำ 50 เปอร์เซ็นต์ มีอุณหภูมิเรือนยอดข้าวโพดสูงที่สุด คือ 34.1 องศาเซลเซียส แตกต่างอย่างมีนัยสำคัญทางสถิติ ($p < 0.05$) กับ กรรมวิธีที่ 2 เมื่อข้าวโพดมีพื้นที่ปักลุมดิน 20 เปอร์เซ็นต์ (20 วันหลังปลูก) ถึงระยะออกดอก และ กรรมวิธีที่ 3 ลดการให้น้ำ 50 เปอร์เซ็นต์ของกรรมวิธีควบคุมเมื่อข้าวโพดมีพื้นที่ปักลุมดิน 20 เปอร์เซ็นต์ ถึงระยะเก็บเกี่ยว มีค่าอุณหภูมิเรือนยอดเฉลี่ยอยู่ที่ 33.5 องศาเซลเซียส และกรรมวิธีที่ 5 มีค่าอุณหภูมิเรือนยอดเฉลี่ยอยู่ที่ 32.1 องศาเซลเซียส



ภาพ 7 Canopy temperature during 10.00 a.m.-12.00 p.m. under different water deficit conditions

Note: Means with different letters are significantly different according to LSD at 95 %,
** ; significant level at $p < 0.01$, ns : non-significant

การวัดค่าอุณหภูมิเรือนยอดโดยการถ่ายภาพความร้อน ในช่วงเวลา 12.00 น. - 14.00 น. เมื่อข้าวโพดอายุ 25, 30, 35, 40, 45, 50, 55 และ 60 วันหลังปลูกแสดงในภาพ 7 พนว่า ข้าวโพด อายุ 25 วันหลังปลูกหรือ 5 วันหลังลดการให้น้ำ 50 เปอร์เซ็นต์ของรวมวิธีควบคุม ค่าอุณหภูมิเรือนยอดข้าวโพดช่วงเวลา 12.00 - 14.00 น. ของรวมวิธีที่ 2 และรวมวิธีที่ 3 ไม่มีความแตกต่าง ทางสถิติอย่างมีนัยสำคัญ ($p > 0.05$) กับรวมวิธีที่ 1 (ควบคุม) รวมวิธีที่ 4 และ 5 แต่จะยังแรก ผ่านไป พนว่า รวมวิธีที่ 2 มีค่าอุณหภูมิเรือนยอดเฉลี่ยสูงกว่ารวมอื่นๆ อย่างมีนัยสำคัญทางสถิติ เท่ากับ 36.4 องศาเซลเซียส เมื่อข้าวโพดอายุ 30, 35, 40 และ 55 วันหลังปลูก และรองลงมา ได้แก่ รวมวิธีที่ 3 มีค่าอุณหภูมิเรือนยอดเฉลี่ยอยู่ที่ 35.7 องศาเซลเซียส



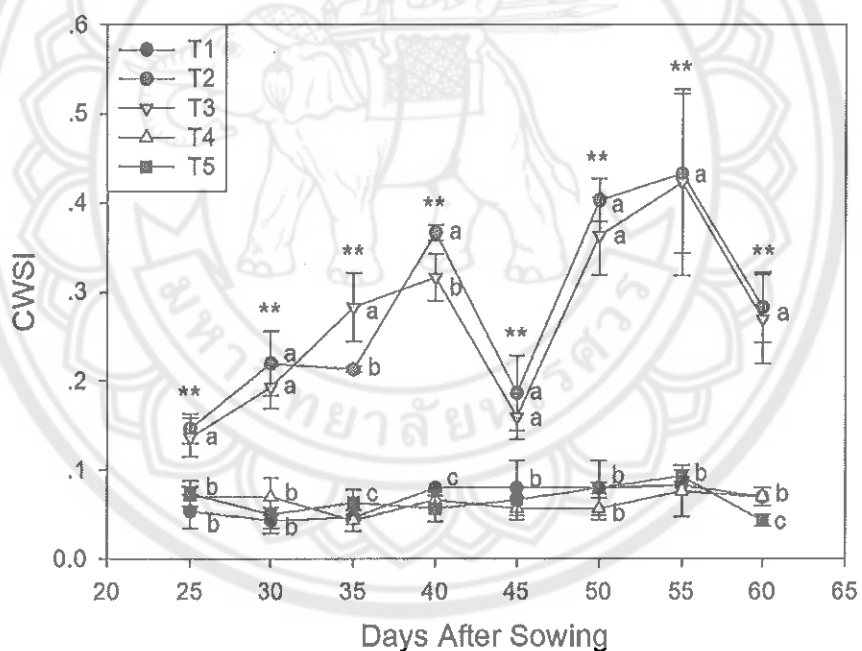
ภาพ 8 Canopy temperature during 12.00 - 02.00 p.m. under different water deficit conditions

Note: Means with different letters are significantly different according to LSD at 95 %,

** ; significant level at $p < 0.01$, ns : non-significant

ดัชนีความเครียดของข้าวโพด (CWSI) และการซักนำการเปิดปิดปากใบสัมพัทธ์ภายใต้ภาวะขาดน้ำแตกต่างกัน

การวัดค่าดัชนีความเครียดจากการขาดน้ำ (Crop water stress index: CWSI) โดยการถ่ายภาพความร้อน โดยถ่ายภาพความร้อนในช่วงเวลา 12.00 น. - 14.00 น. ที่ข้าวโพดอายุ 25, 30, 35, 40, 45, 50, 55 และ 60 วันหลังปลูก ผลการทดลองดัชนีความเครียดจากการขาดน้ำ พบว่า กรรมวิธีที่ 2 ลดการให้น้ำ 50 เปอร์เซ็นต์ของกรรมวิธีควบคุม เมื่อข้าวโพดมีพื้นที่ปักลุมдин 20 เปอร์เซ็นต์ (20 วัน หลังปลูก) ถึงระยะออกดอก และกรรมวิธีที่ 3 ลดการให้น้ำ 50 เปอร์เซ็นต์ของกรรมวิธีควบคุม เมื่อข้าวโพดมีพื้นที่ปักลุมдин 20 เปอร์เซ็นต์ ถึงระยะเก็บเกี่ยว ให้ค่าดัชนีความเครียดจากการขาดน้ำ 強くที่สุดแตกต่างอย่างมีนัยสำคัญทางสถิติ ($p < 0.05$) เมื่อเปรียบเทียบกับกรรมวิธีอื่น โดยให้ค่าเฉลี่ยของดัชนีความเครียดจากการขาดน้ำอยู่ที่ 0.13 - 0.43 และกรรมวิธีอื่นให้ผลของค่าดัชนีความเครียดจากการขาดน้ำอยู่ที่ 0.04 - 0.09 (ภาพ 8)

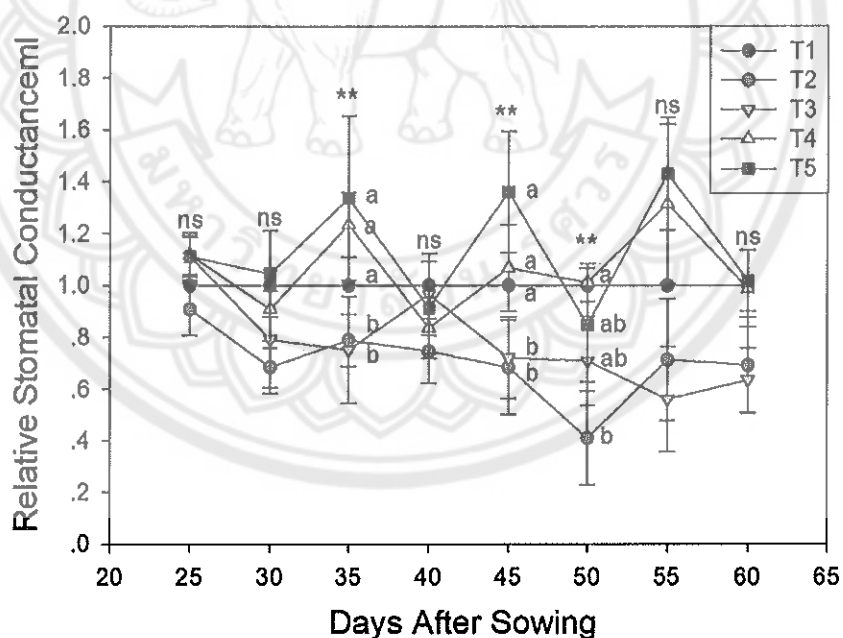


ภาพ 9 Crop water stress index during 12.00 - 02.00 p.m. under different water deficit conditions

Note: Means with different letters are significantly different according to LSD at 95 %,

** ; significant level at $p < 0.01$, ns : non-significant

การวัดสภาวะความเครียดจากการขาดน้ำของข้าวโพด โดยวัดการซักนำการเปิดปิดปากใบ ของข้าวโพดหลังจากการให้น้ำในกรอบวิธีที่ 2 และ 3 ด้วยเครื่อง Porometer รุ่น SC-1 leaf porometer ระหว่าง 12.00 น. - 14.00 น. เมื่อข้าวโพดอายุ 25, 30, 35, 40, 45, 50, 55 และ 60 วัน หลังปลูก จากการทดลองได้คำนวณค่าการซักนำการเปิดปิดปากใบของข้าวโพดของกรอบวิธีที่ 2-5 มาคำนวณเป็นค่าดัชนีการซักนำการเปิดปิดปากใบสัมพัทธ์เทียบกับกรอบวิธีควบคุม พบร่วม เมื่อข้าวโพด อายุ 25-50 วันหลังปลูก กรอบวิธีที่ 2 ลดการให้น้ำ 50 เปอร์เซ็นต์ของกรอบวิธีควบคุม เมื่อข้าวโพด มีพื้นที่ปักลุ่ม 20 เปอร์เซ็นต์ (20 วันหลังปลูก) ถึงระยะออกดอก มีค่าดัชนีการซักนำการเปิดปิด ปากใบสัมพัทธ์แนวโน้มต่ำที่สุดเมื่อเทียบกับกรอบวิธีอื่นๆ โดยค่าดัชนีการซักนำการเปิดปิดปากใบ สัมพัทธ์อยู่ในช่วง 0.70 - 0.84 และเมื่อข้าวโพดอายุ 55 และ 60 วันหลังปลูก พบร่วม กรอบวิธีที่ 3 ลดการให้น้ำ 50 เปอร์เซ็นต์ของกรอบวิธีควบคุม เมื่อข้าวโพดมีพื้นที่ปักลุ่ม 20 เปอร์เซ็นต์ ถึงระยะเก็บเกี่ยว ให้ค่าดัชนีการซักนำการเปิดปิดปากใบสัมพัทธ์ต่ำที่สุดแต่ไม่มีความแตกต่างกันทาง สถิติกับกรอบวิธีอื่นๆ ($p > 0.05$) เมื่อเปรียบเทียบกับกรอบวิธีที่ 1 โดยให้ค่าดัชนีการซักนำการเปิดปิด ปากใบสัมพัทธ์อยู่ที่ 0.60 (ภาพ 9)



ภาพ 10 Relative stomatal conductance during 12.00 - 02.00 p.m. under different water deficit conditions

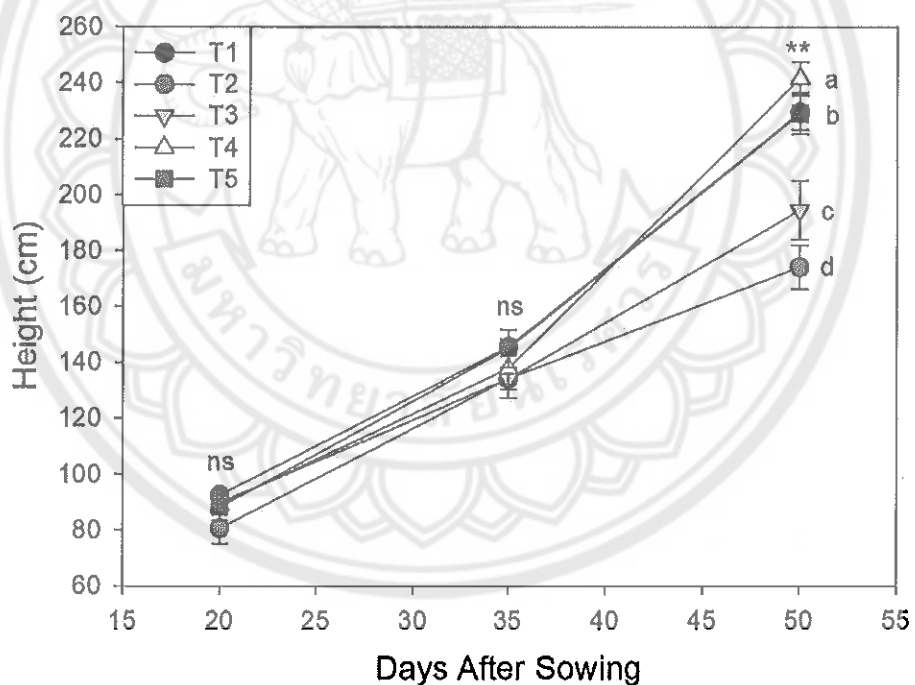
Note: Means with different letters are significantly different according to LSD at 95 %,

** ; significant level at $p < 0.01$, ns : non-significant

ลักษณะทางสหวิทยา องค์ประกอบผลผลิต และผลผลิตข้าวโพดภายใต้ภาวะขาดน้ำแตกต่างกัน

1. ลักษณะทางสหวิทยา

ลักษณะทางสหวิทยาด้านความสูงของต้นข้าวโพด จากผลการทดลอง พบร่วม เมื่อข้าวโพด อายุ 20 และ 35 วันหลังปลูก ความสูงของต้นข้าวโพดทั้งห้ากลุ่มวิธีไม่มีความแตกต่างกันทางสถิติ อย่างมีนัยสำคัญ ($p > 0.05$) ในขณะที่เมื่อข้าวโพดอายุ 50 วันหลังปลูก ซึ่งมีการเจริญเติบโต ทางด้านความสูงต้นสมบูรณ์แล้ว กรรมวิธีที่ 2 มีการลดการให้น้ำ 50 เปอร์เซ็นต์ เมื่อมีพื้นที่การปลูก 20 เปอร์เซ็นต์จะถึงระยะออกดอก ให้ผลด้านการเจริญเติบโตทางด้านความสูงต้นข้าวโพดต่ำที่สุด คือ 181.5 เซนติเมตร รองลงมา คือ กรรมวิธีที่ 3 มีการลดการให้น้ำ 50 เปอร์เซ็นต์จนถึงระยะ การเก็บเกี่ยว มีความสูงเท่ากับ 198.9 เซนติเมตร ซึ่งมีความแตกต่างอย่างมีนัยสำคัญทางสถิติ ($p < 0.05$) เมื่อเปรียบเทียบกับกรรมวิธีอื่น และกรรมวิธีอื่นๆ ให้ค่าเฉลี่ยความสูงต้นระหว่าง 214.3 - 232.5 เซนติเมตร (ภาพ 10)

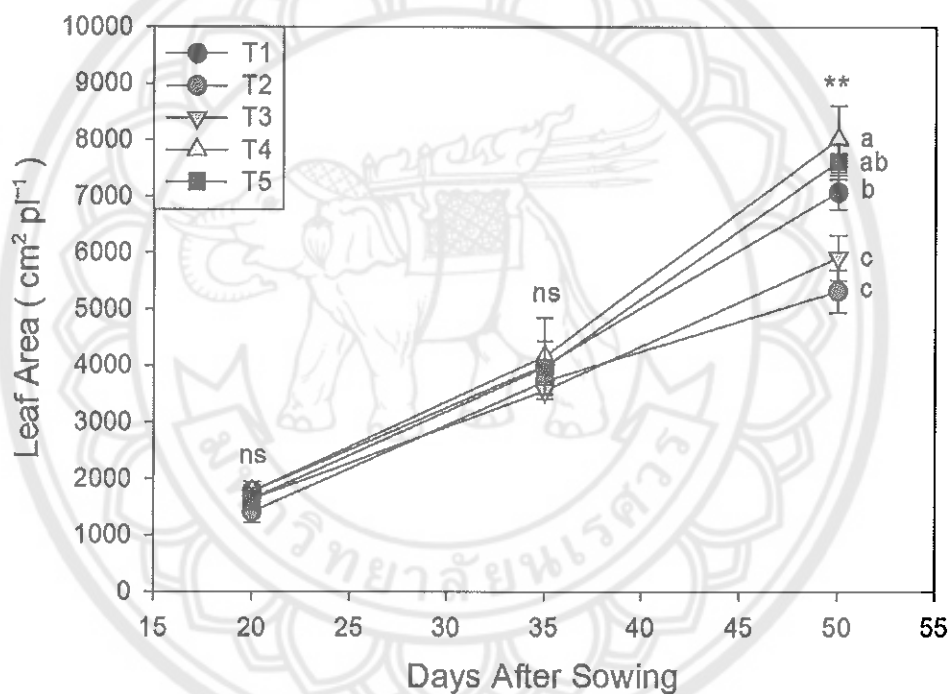


ภาพ 11 Maize height under different water deficit condition

Note: Means with different letters are significantly different according to LSD at 95 %,

** ; significant level at $p < 0.01$, ns : non-significant

ผลการเจริญเติบทางด้านพื้นที่ใบ พนว่า เมื่อข้าวโพดอายุ 20 และ 35 วันหลังปลูก พื้นที่ใบของต้นข้าวโพดทั้งห้ากรรรมวิธีไม่มีความแตกต่างกันทางสถิติอย่างมีนัยสำคัญ ($p > 0.05$) ในขณะที่เมื่อข้าวโพดอายุ 50 วันหลังปลูก กรรรมวิธีที่มีการลดการให้น้ำ 50 เปอร์เซ็นต์ เมื่อมีพื้นที่การปกคลุม 20 เปอร์เซ็นต์จะถึงระดับหลังออกดอก และถึงระดับเก็บเกี่ยว (กรรรมวิธีที่ 2 และ 3) ให้ผลการเจริญเติบโตทางด้านพื้นที่ใบต่ำที่สุด โดยให้ค่าเฉลี่ยพื้นที่ใบอยู่ที่ $5,613.5$ และ $5,503.4 \text{ cm}^2 \text{ pl}^{-1}$ ตามลำดับ ซึ่งค่าเฉลี่ยพื้นที่ใบของกรรรมวิธีที่ 2 และ 3 มีค่าต่ำกว่าของกรรรมวิธีควบคุม กรรรมวิธีที่ 4 และ 5 อย่างมีนัยสำคัญทางสถิติ ($p < 0.05$) และกรรรมวิธีควบคุม กรรรมวิธีที่ 4 และ 5 พนว่า ให้ผลการเจริญเติบโตทางด้านพื้นที่ใบอยู่ที่ $7,210.9 - 7,717.1 \text{ cm}^2 \text{ pl}^{-1}$ (ภาพ 11)

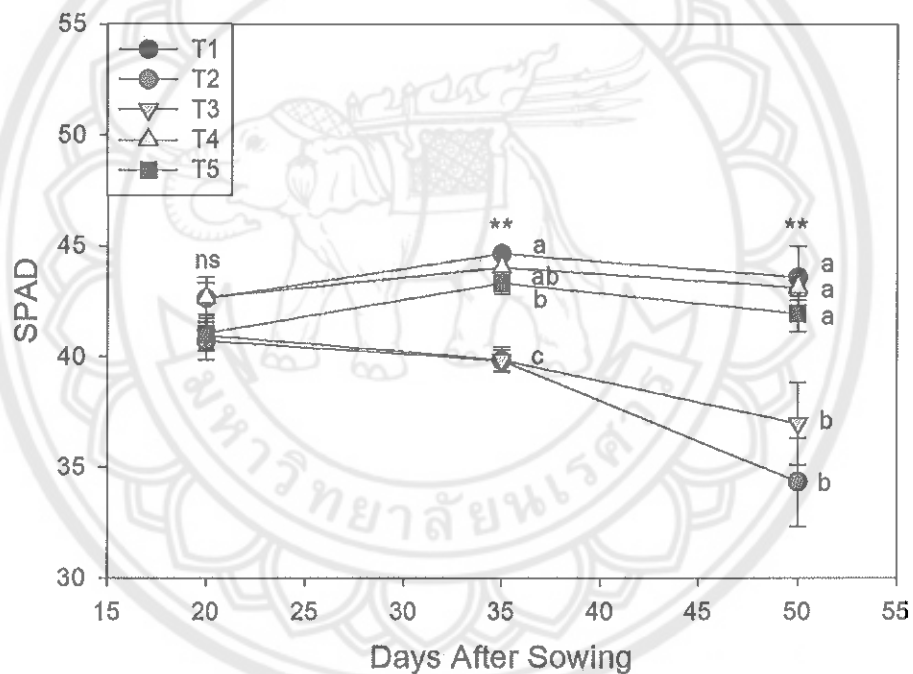


ภาพ 12 Maize leaf area under different water deficit conditions

Note: Means with different letters are significantly different according to LSD at 95 %,

** ; significant level at $p < 0.01$, ns : non-significant

ผลของดัชนีความเขียวใบ (SPAD) พบว่า เมื่อข้าวโพดอายุ 20 วันหลังปลูก ค่า SPAD ของ ใบข้าวโพดทั้งห้ากรรみวิธีไม่มีความแตกต่างกันทางสถิติอย่างมีนัยสำคัญ ($p > 0.05$) หลังการใส่ปุ๋ย ศูนย์ 46-0-0 เมื่อข้าวโพดอายุ 30 วันหลังปลูก ผลให้ค่า SPAD ของใบข้าวโพดเพิ่มสูงขึ้น และ พบว่า กรรみวิธีที่ 2 และ 3 มีค่า SPAD ต่ำกว่า กรรみวิธีอื่นๆ อย่างมีนัยสำคัญทางสถิติ ($p < 0.05$) โดยมีค่า SPAD เท่ากับ 34.6 - 35.7 เมื่อข้าวโพดอายุ 50 วันหลังปลูก พบว่า กรรみวิธีที่มีการลด การให้น้ำ 50 เปอร์เซ็นต์ เมื่อมีพื้นที่การปลูก 20 เปอร์เซ็นต์ คือกรรみวิธีที่ 2 และ 3 ยังมีค่า SPAD ต่ำที่สุด โดยค่าดัชนีความเขียวใบเฉลี่ยอยู่ระหว่าง 34.67 - 35.74 เมื่อเปรียบเทียบกับกรรみวิธีควบคุม กรรみวิธีที่ 4 และ 5 ที่ยังให้น้ำอยู่ในระดับปกติ และกรรみวิธีที่มีการให้น้ำปกติให้ค่า SPAD อยู่ระหว่าง 42.29 - 43.46 (ภาพ 12)

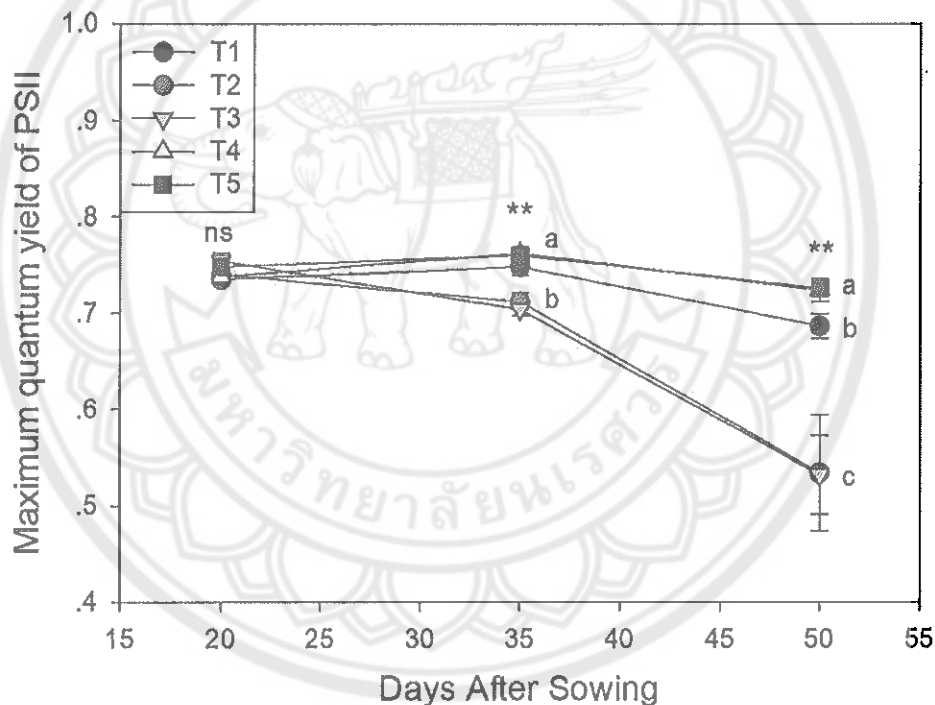


ภาพ 13 SPAD values under different water deficit conditions

Note: Means with different letters are significantly different according to LSD at 95 %,

** ; significant level at $p < 0.01$, ns : non-significant

ผลของประสิทธิภาพการสังเคราะห์แสง แสดงให้เห็นว่าเมื่อข้าวโพดอายุ 20 วันหลังปลูก ประสิทธิภาพการสังเคราะห์แสงของข้าวโพดทั้งห้ากรรมวิธีไม่มีความแตกต่างกันทางสถิติอย่างมีนัยสำคัญ ($p > 0.05$) โดยทุกกรรมวิธีมีค่าประสิทธิภาพการสังเคราะห์แสงเริ่มต้นอยู่ที่ประมาณ 0.74 - 0.75 และเมื่ออายุข้าวโพด 35 และ 50 วันหลังปลูก พบว่า กรรมวิธีที่ 2 และ 3 ที่มีการลดการให้น้ำ 50 เปอร์เซ็นต์ เมื่อมีพื้นที่การปักลุม 20 เปอร์เซ็นต์จนถึงระยะออกดอก และจนถึงระยะการเก็บเกี่ยว มีแนวโน้มค่าประสิทธิภาพการสังเคราะห์แสงลดลงมีค่า 0.71 และ 0.70 โดยทั้ง 2 กรรมวิธี ให้ค่าประสิทธิภาพการสังเคราะห์แสงต่ำสุดและแตกต่างกับ กรรมวิธีอื่นอย่างมีนัยสำคัญทางสถิติ ($p < 0.05$) และกรรมวิธีอื่นๆ ที่ได้รับการให้น้ำในระดับปกติให้ค่าเฉลี่ยประสิทธิภาพการสังเคราะห์แสงอยู่ระหว่าง 0.69 - 0.73 (ภาพ 13)



ภาพ 14 Maximum quantum yield of PSII under different water deficit conditions

Note: Means with different letters are significantly different according to LSD at 95 %,

** ; significant level at $p < 0.01$, ns : non-significant

2. องค์ประกอบผลผลิตและผลผลิตข้าวโพด

จากการทดลอง พบร้า ผลของมวลชีวภาพแห้ง กรรมวิธีที่ 2 และ 3 มีการลดการให้น้ำ 50 เปอร์เซ็นต์ เมื่อมีพื้นที่การปักคุณ 20 เปอร์เซ็นต์จนถึงระยะออกดอก และจนถึงระยะการเก็บเกี่ยว ให้ผลของมวลชีวภาพแห้งต่ำสุด และแตกต่างอย่างมีนัยสำคัญทางสถิติ ($p < 0.05$) เมื่อเปรียบเทียบ กับกรรมวิธีอื่น โดยให้ค่ามวลชีวภาพแห้งอยู่ระหว่าง 206.31 - 216.87 กรัมต่อตัน และกรรมวิธีอื่น ให้ค่ามวลชีวภาพแห้งอยู่ระหว่าง 344.28 - 384.15 กรัมต่อตัน

ผลขององค์ประกอบผลผลิตทางด้านน้ำหนักฝักแห้ง พบร้า กรรมวิธีที่ 2 และ 3 มีการลด การให้น้ำ 50 เปอร์เซ็นต์ เมื่อมีพื้นที่การปักคุณ 20 เปอร์เซ็นต์จนถึงระยะออกดอก และจนถึงระยะ การเก็บเกี่ยว ให้ผลของค่าองค์ประกอบผลผลิตทางด้านน้ำหนักฝักแห้งต่ำสุด โดยให้ค่าองค์ประกอบ ผลผลิตทางด้านน้ำหนักฝักแห้งอยู่ระหว่าง 56.34 - 59.65 กรัมต่อตัน และแตกต่างอย่างมีนัยสำคัญ ทางสถิติ ($p < 0.05$) เมื่อเปรียบเทียบกับกรรมวิธีอื่น และกรรมวิธีอื่นให้ค่าองค์ประกอบผลผลิต ทางด้านน้ำหนักฝักแห้งอยู่ระหว่าง 153.45 - 174.89 กรัมต่อตัน

ผลขององค์ประกอบผลผลิตทางด้านจำนวนเมล็ด พบร้า กรรมวิธีที่ 2 และ 3 มีการลด การให้น้ำ 50 เปอร์เซ็นต์ เมื่อมีพื้นที่การปักคุณ 20 เปอร์เซ็นต์จนถึงระยะออกดอก และจนถึงระยะ การเก็บเกี่ยว ให้ผลค่าองค์ประกอบผลผลิตทางด้านจำนวนเมล็ดต่อตันต่ำสุด เมื่อเปรียบเทียบกับ กรรมวิธีอื่น โดยมีค่าเฉลี่ยองค์ประกอบผลผลิตทางด้านจำนวนเมล็ดต่อตันอยู่ระหว่าง 125.1 - 129.6 เมล็ดต่อตัน และกรรมวิธีอื่นให้ค่าเฉลี่ยองค์ประกอบผลผลิตทางด้านจำนวนเมล็ดต่อตัน อยู่ระหว่าง 428.2 - 464.2 เมล็ดต่อตัน

ผลของค่าดัชนีการเก็บเกี่ยว พบร้า กรรมวิธีที่ 2 และ 3 มีการลดการให้น้ำ 50 เปอร์เซ็นต์ เมื่อมีพื้นที่การปักคุณ 20 เปอร์เซ็นต์จนถึงระยะออกดอก และจนถึงระยะการเก็บเกี่ยว ให้ค่าดัชนี การเก็บเกี่yat ต่ำที่สุด โดยให้ผลของค่าดัชนีการเก็บเกี่yatอยู่ที่ 0.22 - 0.24 และแตกต่างอย่างมี นัยสำคัญทางสถิติ ($p < 0.05$) เมื่อเปรียบเทียบกับกรรมวิธีอื่น และกรรมวิธีอื่นให้ผลของค่าดัชนี การเก็บเกี่yatอยู่ที่ 0.44

ผลการทดลองในด้านผลผลิตต่อตัน (น้ำหนักเมล็ดแห้ง) พบร้า กรรมวิธีที่ 2 และ 3 มีการลดการให้น้ำ 50 เปอร์เซ็นต์ เมื่อมีพื้นที่การปักคุณ 20 เปอร์เซ็นต์จนถึงระยะออกดอก และ จนถึงระยะการเก็บเกี่ยว ให้ผลค่าผลผลิตต่อตันต่ำสุด โดยให้ค่าเฉลี่ยของผลผลิตอยู่ที่ 40.25 - 41.23 กรัมต่อตัน และแตกต่างอย่างมีนัยสำคัญทางสถิติ ($p < 0.05$) เมื่อเปรียบเทียบกับกรรมวิธีอื่น และกรรมวิธีอื่นให้ค่าเฉลี่ยของผลผลิตต่อตันอยู่ที่ 133.16 - 148.99กรัมต่อตัน

ตาราง 4 Yield and yield components under different water deficit conditions

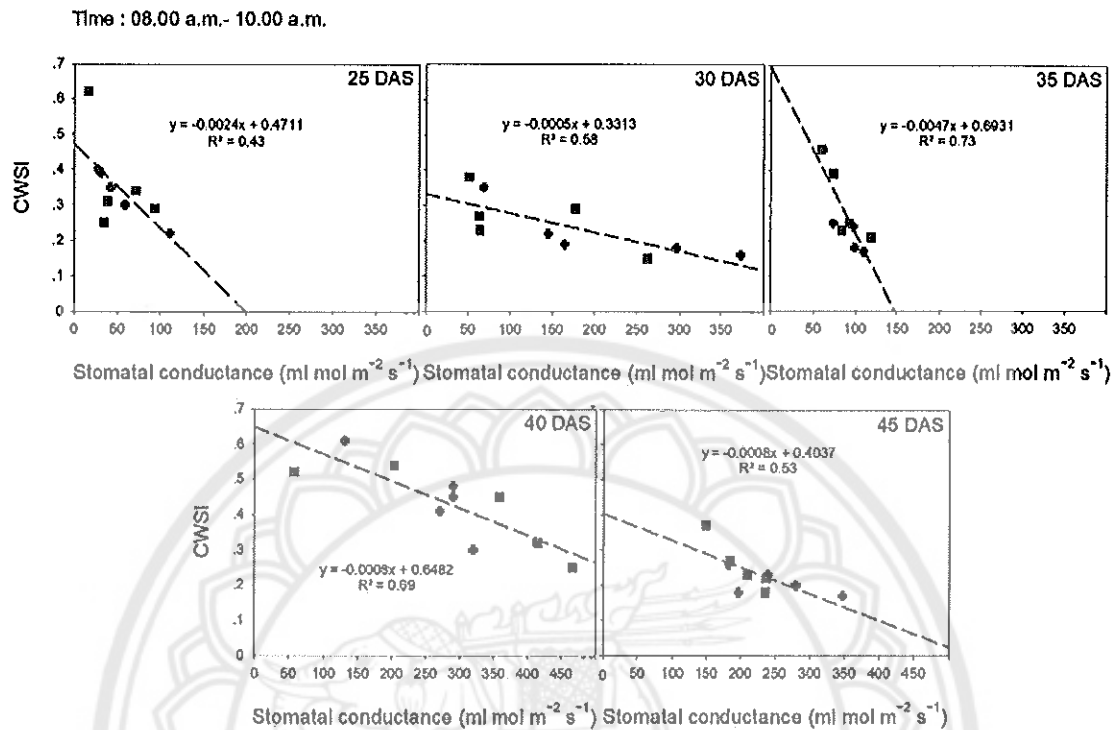
Treatment	Yield components			Yield (g/plant)	Harvest Index
	Dry pods weight (g/plant)	Number of seeds per plant	Dry biomass weight (g/plant)		
T1	166.14 ¹ ±14.31a	434.1±40.9a	227.68±13.85a	144.16±17.99a	0.44±0.02a
T2	56.34±16.01b	129.6±42.5b	170.44±10.98b	40.25±12.91b	0.24±0.05b
T3	59.65±18.33b	125.1±46.3b	177.69±10.49b	41.23±16.64b	0.22±0.06b
T4	174.89±20.83a	464.2±65.7a	229.74±15.81a	148.99±20.48a	0.44±0.03a
T5	153.45±16.33a	428.2±53.5a	211.30±15.47a	133.16±20.24a	0.44±0.04a
P<0.05	0.0000	0.0000	0.0012	0.0001	0.0001
F-test	**	**	**	**	**
CV	40.56	47.41	18.37	35.39	36.64

** indicate significant differences ($P < 0.05$) between the treatments by F test at 5% probability;

¹ represent mean ± standard error of the mean ($n=5$); CV: variance coefficient

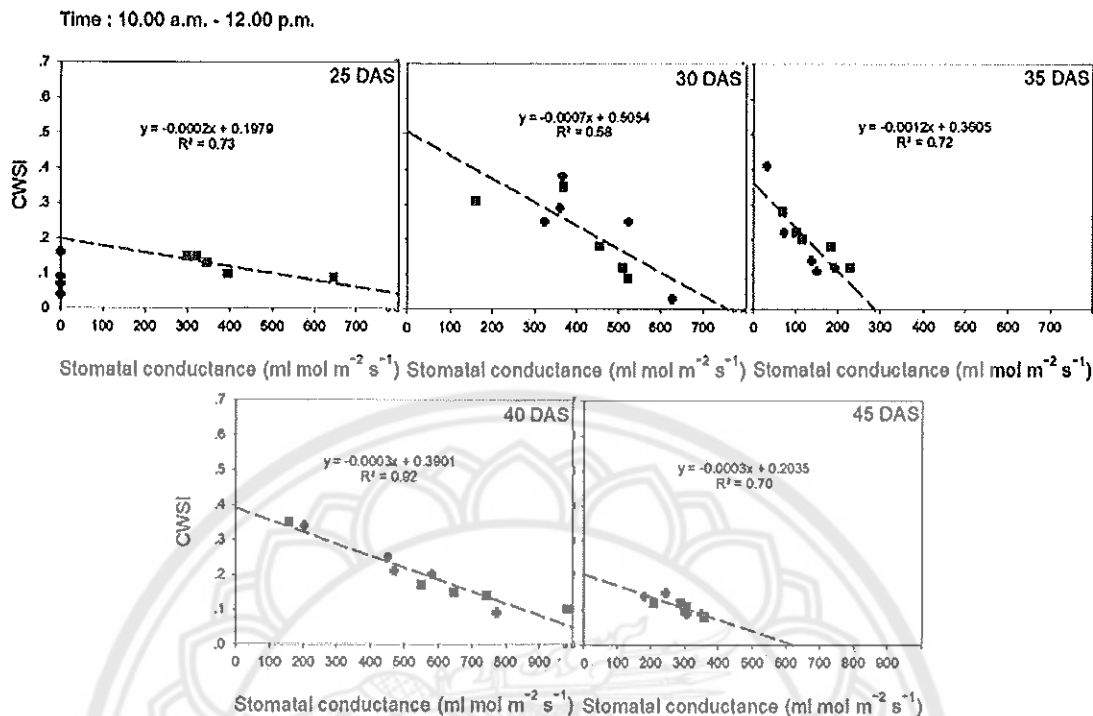
ความสัมพันธ์ระหว่างค่า CWSI กับการซักนำการเปิดปิดปากใบ

การเปรียบเทียบความสัมพันธ์ระหว่างค่า CWSI กับค่าการซักนำการเปิดปิดปากใบของข้าวโพดเลี้ยงสัตว์อายุ 25, 30, 35, 40 และ 45 วันหลังปลูก และถ่ายภาพความร้อนในช่วงเวลา 08.00 - 10.00 น. พบว่า กรรมวิธีที่ให้น้ำลดลงจากกรรมวิธีควบคุม ค่า CWSI มีความสัมพันธ์ในเชิงลบกับค่าการซักนำการเปิดปิดปากใบ คือ เมื่อค่า CWSI สูงขึ้นค่าการซักนำการเปิดปิดปากใบต่ำลงโดยการถ่ายภาพความร้อนในช่วงเวลา 08.00 - 10.00 น. มีความสัมพันธ์ระหว่างค่า CWSI กับค่าการซักนำการเปิดปิดปากใบของข้าวโพดเลี้ยงสัตว์อยู่ในระดับต่ำถึงปานกลาง มีค่า $R^2 = 0.43$ ถึง 0.73 (ภาพ 14)



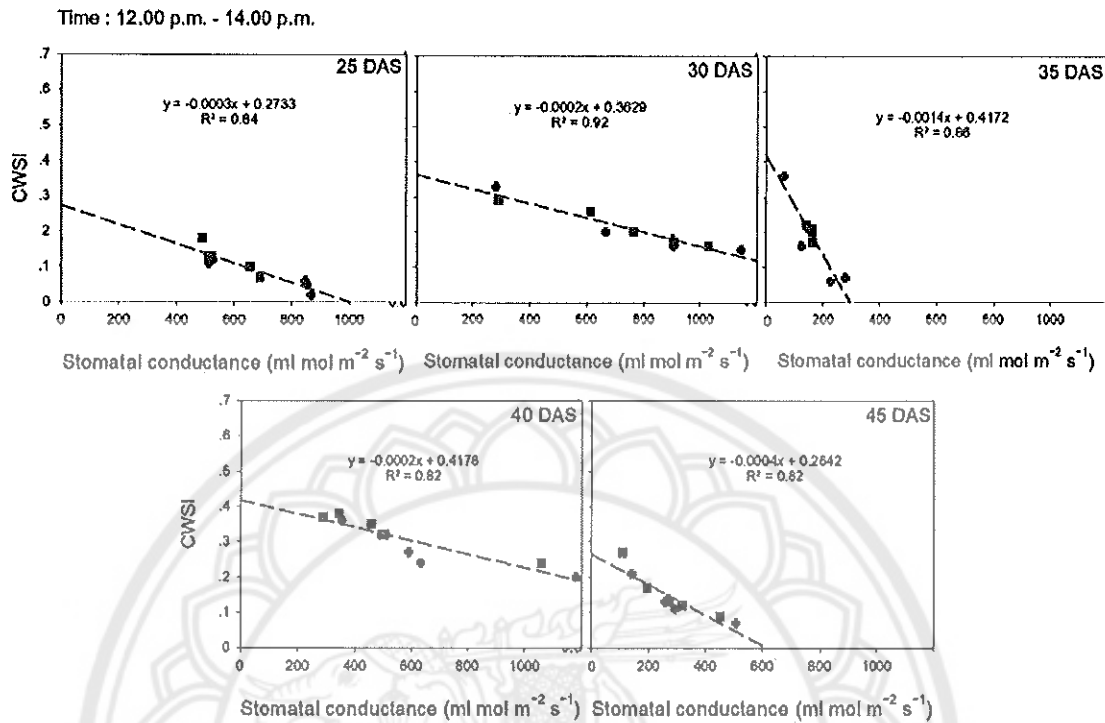
ภาพ 15 Relationship between CWSI and stomatal conductance during 08.00-10.00 a.m.

ค่าความสัมพันธ์ระหว่างค่า CWSI กับค่าการซักนำการเปิดปิดปากใบของข้าวโพดเลี้ยง สัตว์อายุ 25, 30, 35, 40 และ 45 วันหลังปลูก และถ่ายภาพความร้อนในช่วงเวลา 10.00 - 12.00 น. พบว่า กรรมวิธีที่ให้น้ำลดลงจากกรรมวิธีควบคุม 50 เปอร์เซ็นต์ได้แก่ กรรมวิธีที่ 2 และ 3 มีค่า CWSI มีความสัมพันธ์ในเชิงลบกับค่าการซักนำการเปิดปิดปากใบ คือ เมื่อค่า CWSI สูงขึ้นค่าการซักนำ การเปิดปิดปากใบต่ำลง โดยการถ่ายภาพความร้อนในช่วงเวลา 10.00 - 12.00 น. มีความสัมพันธ์ ระหว่างค่า CWSI กับค่าการซักนำการเปิดปิดปากใบของข้าวโพดเลี้ยงสัตว์อยู่ในระดับปานกลาง ถึงสูงมาก มีค่า R² 0.58 ถึง 0.92 (ภาพ 15)



ภาพ 16 Relationship between CWSI and stomatal conductance during 10.00-12.00 a.m.

ค่าความสัมพันธ์ระหว่างค่า CWSI กับค่าการซักนำการเปิดปิดปากใบของข้าวโพดเลี้ยงสัตว์ อายุ 25, 30, 35, 40 และ 45 วันหลังปลูก และถ่ายภาพความร้อนในช่วงเวลา 12.00 - 14.00 น. พบร่วมกันที่ให้น้ำลดลงจากการรวมวิธีควบคุม 50 เปอร์เซ็นต์ ได้แก่ กรรมวิธีที่ 2 และ 3 มีค่า CWSI มีความสัมพันธ์ในเชิงลบกับค่าการซักนำการเปิดปิดปากใบ คือ เมื่อค่า CWSI สูงขึ้นค่าการซักนำการเปิดปิดปากใบต่ำลง โดยการถ่ายภาพความร้อนในช่วงเวลา 12.00 - 14.00 น. เป็นช่วงเวลาที่เหมาะสมสำหรับการถ่ายภาพความร้อนเพื่อวิเคราะห์ภาวะความเครียดจากการขาดน้ำของข้าวโพด เนื่องจากความสัมพันธ์ระหว่างค่า CWSI กับค่าการซักนำการเปิดปิดปากใบของข้าวโพดเลี้ยงสัตว์ อยู่ในระดับสูงถึงสูงมากอย่างมีนัยสำคัญทางสถิติ ($p < 0.05$) มีค่า R^2 0.82 ถึง 0.92 (ภาพ 16)

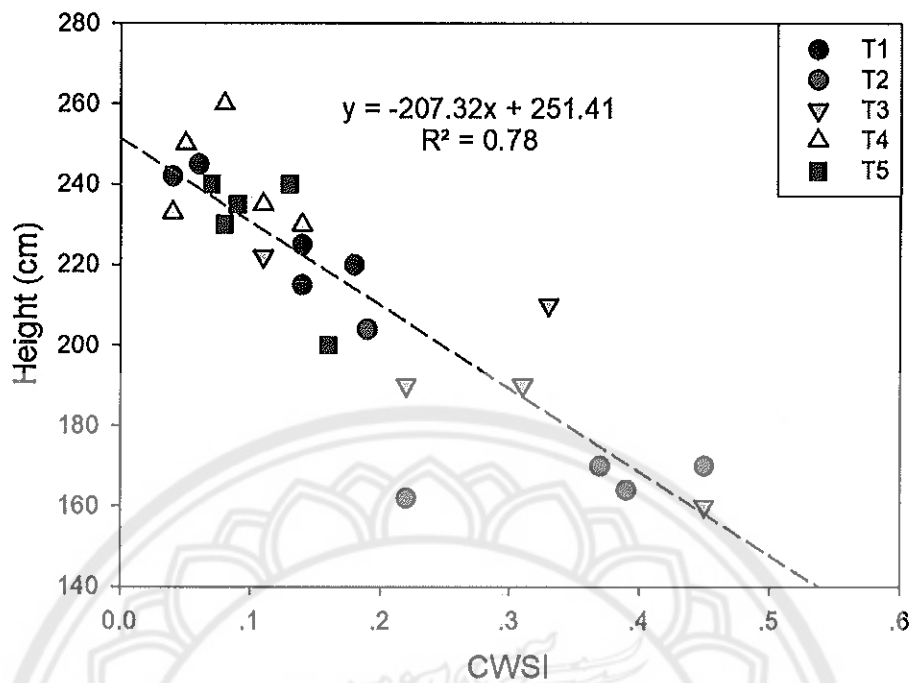


ภาพ 17 Relationship between CWSI and stomatal conductance during 12.00 - 2.00 p.m.

ความสัมพันธ์ระหว่างสาขาวิชา องค์ประกอบผลผลิต ผลผลิตข้าวโพดและค่า CWSI

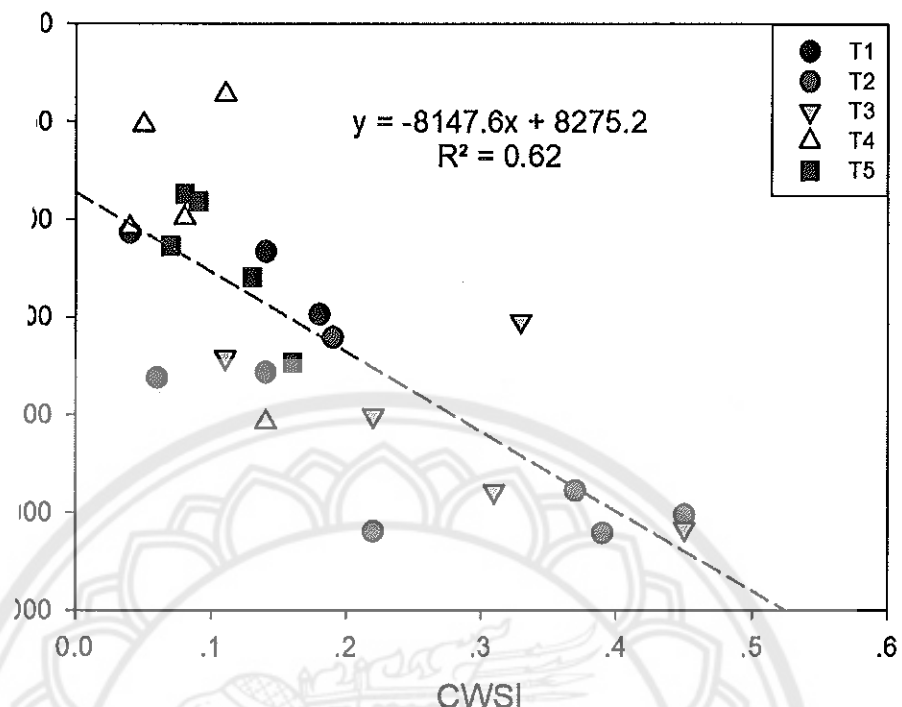
1. ความสัมพันธ์ระหว่างสาขาวิชาและค่า CWSI

การหาค่าความสัมพันธ์ระหว่างสาขาวิชาทางด้านความสูงต้นข้าวโพดและค่า CWSI พบว่า ค่าความสัมพันธ์ระหว่างความสูงต้นข้าวโพดอายุ 50 วันหลังปลูก และค่า CWSI ที่ถ่ายภาพในช่วงเวลา 12.00 - 14.00 น. มีความสัมพันธ์ที่สูด โดยให้ค่าความสัมพันธ์ระหว่างความสูงของต้นข้าวโพดและค่า CWSI ในรูปแบบของสมการเส้นตรงและมีความสัมพันธ์เชิงบวก มีค่า $R^2 = 0.78$ และมีความสัมพันธ์อย่างมีนัยสำคัญทางสถิติ ($p < 0.05$) (ภาพ 17)



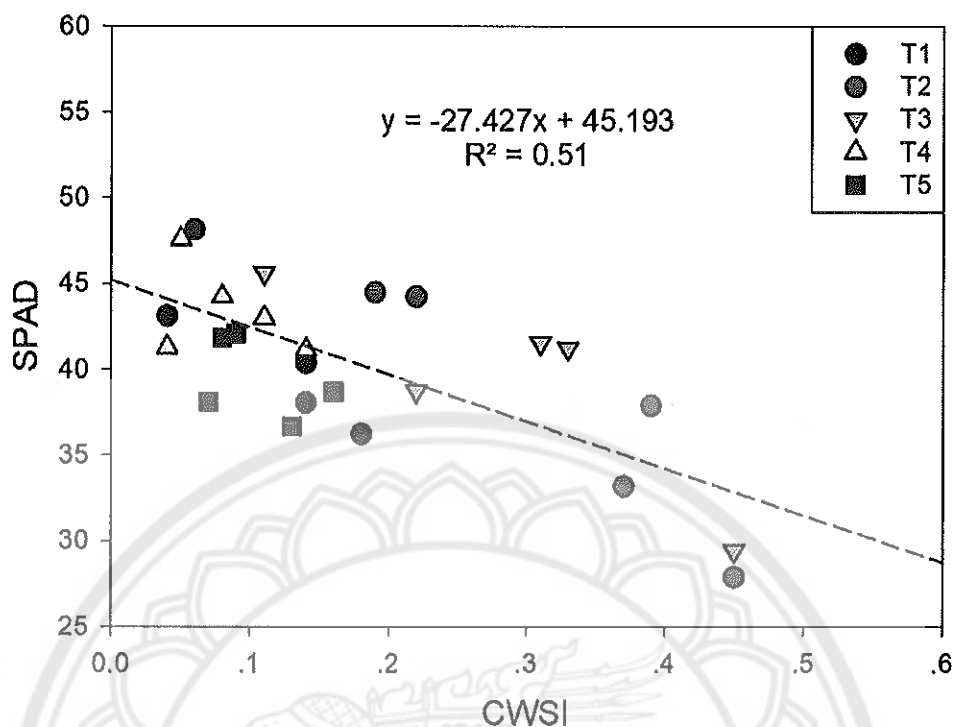
ภาพ 18 Relationship between CWSI and maize height

การหาค่าความสัมพันธ์ระหว่างสิริวิทยาทางด้านพื้นที่ใบและค่า CWSI พบว่า ค่าความสัมพันธ์ระหว่างค่าการเจริญเติบโตที่ข้าวโพดอายุ 50 วันหลังปลูก และค่า CWSI ที่ถ่ายภาพ ในช่วงเวลา 12.00 - 14.00 น. มีค่าความสัมพันธ์ที่สุด โดยให้ค่าความสัมพันธ์ระหว่างพื้นที่ใบ และ ค่า CWSI อยู่ในระดับปานกลาง มีค่า $R^2 = 0.62$ โดยพบว่า พื้นที่ใบและค่า CWSI มีความสัมพันธ์ ในเชิงบวกอย่างมีนัยสำคัญทางสถิติ ($p < 0.05$) แสดงว่าถ้าค่า CWSI เพิ่มขึ้นจะทำให้พื้นที่ใบเพิ่มขึ้น (ภาพ 18)



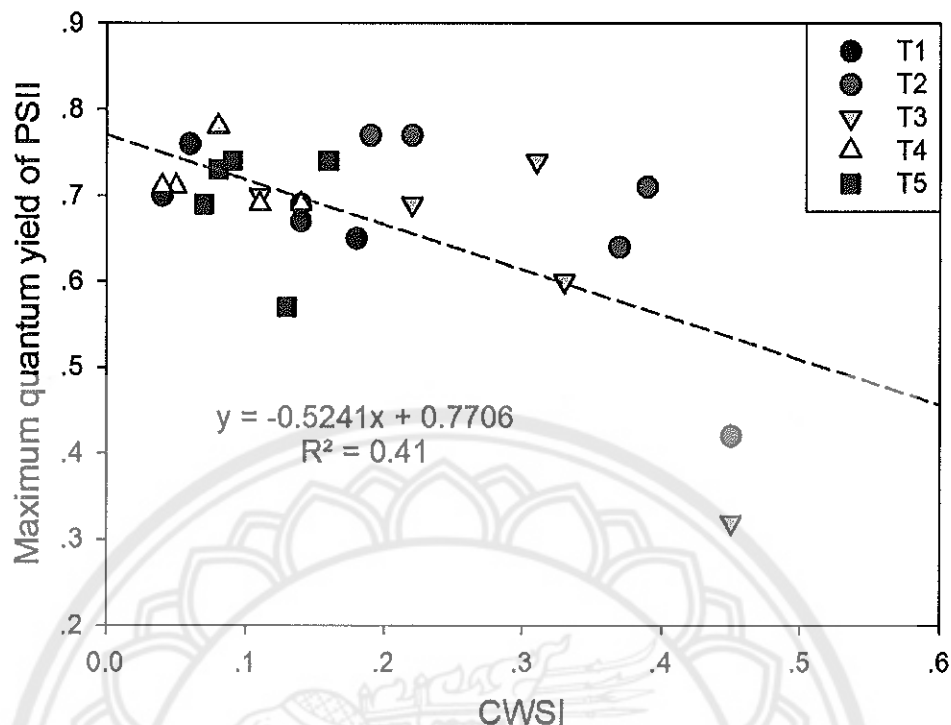
ภาพ 19 Relationship between CWSI and leaf area

การหาค่าความสัมพันธ์ระหว่างสิริวิทยาทางด้านดัชนีความเขียวใบ (SPAD) และค่า CWSI พบว่า ค่าความสัมพันธ์ระหว่างค่าการเจริญเติบโตที่ข้าวโพดอายุ 50 วันหลังปลูก และค่า CWSI ที่ถ่ายภาพในช่วงเวลา 12.00 - 14.00 น. มีค่าความสัมพันธ์ที่สุด โดยให้ค่าความสัมพันธ์ระหว่าง ค่า SPAD และค่า CWSI อญในระดับปานกลาง โดยมีค่าสัมประสิทธิ์ความเชื่อมั่น $R^2 = 0.51$ ซึ่งพบว่า ค่า SPAD มีความสัมพันธ์กับค่า CWSI แบบเชิงเส้นอย่างมีนัยสำคัญทางสถิติ ($p < 0.05$) (ภาพ 19)



ภาพ 20 Relationship between CWSI and SPAD values

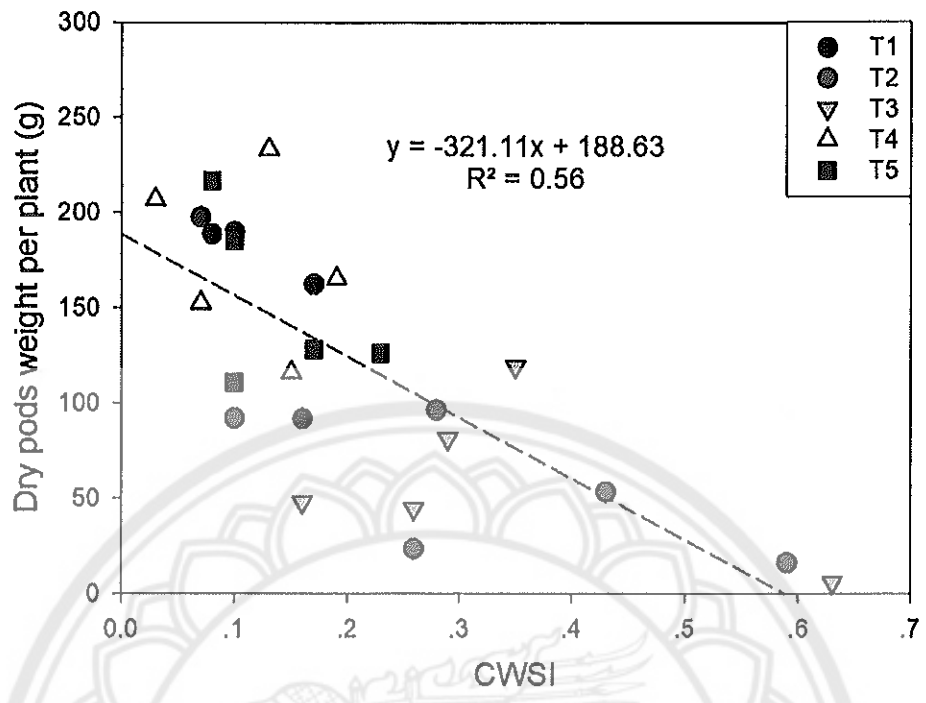
การหาค่าความสัมพันธ์ระหว่างศรีร่วมทางด้านประสิทธิภาพการสังเคราะห์แสง และค่า CWSI ที่ข้าวโพดอายุ 50 วันหลังปลูก พบว่า และค่าประสิทธิภาพการสังเคราะห์แสงและ CWSI ที่ถ่ายภาพในช่วงเวลา 12.00 - 14.00 น. มีค่าความสัมพันธ์ที่สูด โดยให้ค่าความสัมพันธ์ระหว่างประสิทธิภาพการสังเคราะห์แสงและค่า CWSI อยู่ในระดับต่ำ โดยมีค่าสัมประสิทธิ์ความเชื่อมั่น $R^2 = 0.41$ ซึ่งพบว่า ค่าประสิทธิภาพการสังเคราะห์แสงมีความสัมพันธ์กับค่า CWSI แบบเสียงเล็กน้อย ($p < 0.05$) (ภาพ 20)



ภาพ 21 Relationship between CWSI and maximum quantum yield of PSII

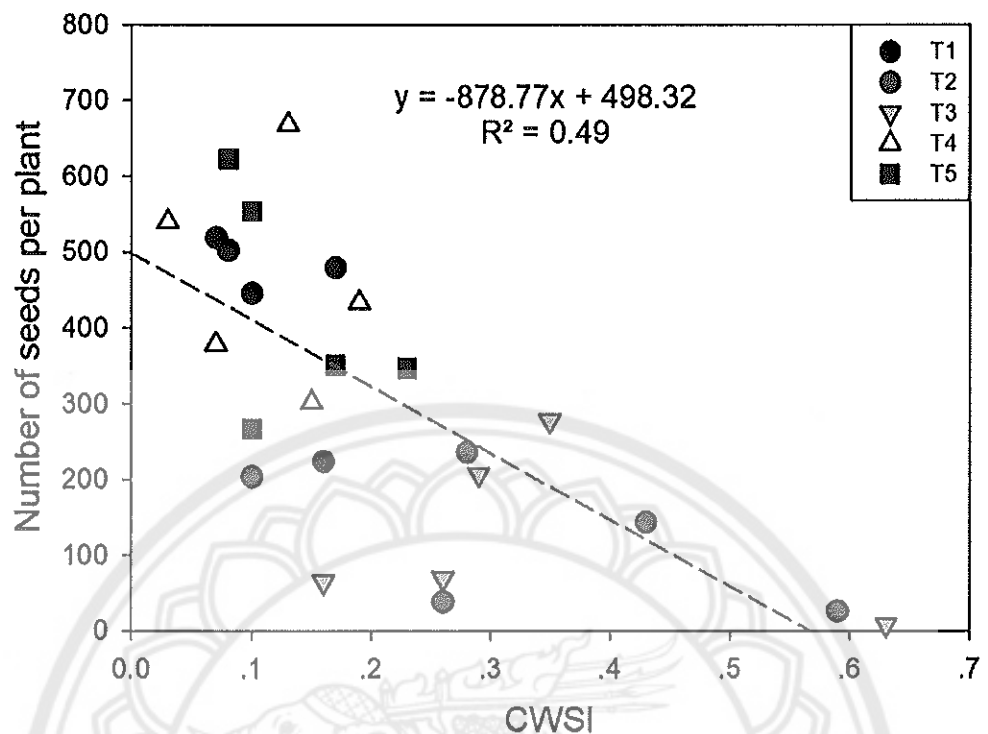
2. ความสัมพันธ์ระหว่างองค์ประกอบผลผลิตและผลผลิตข้าวโพดกับค่า CWSI

การหาค่าความสัมพันธ์ระหว่างน้ำหนักฝักต่อต้นและค่า CWSI เมื่อนำผลการทดลองระหว่างองค์ประกอบผลผลิตและค่า CWSI เพื่อค่าความสัมพันธ์กัน พบว่า น้ำหนักฝักต่อต้น มีความสัมพันธ์ระดับปานกลางกับค่า CWSI ที่ถ่ายภาพในช่วงเวลา 12.00 - 14.00 น. เมื่อข้าวโพด อายุ 55 วันหลังปลูก โดยมีค่าความสัมพันธ์ระหว่างน้ำหนักฝักต่อต้นและค่า CWSI ค่าสัมประสิทธิ์ ความเชื่อมั่น $R^2 = 0.56$ ซึ่งพบว่า น้ำหนักฝักต่อต้นมีความสัมพันธ์กับค่า CWSI แบบเชิงเส้นอย่างมี นัยสำคัญทางสถิติ ($p < 0.05$) (ภาพ 21)



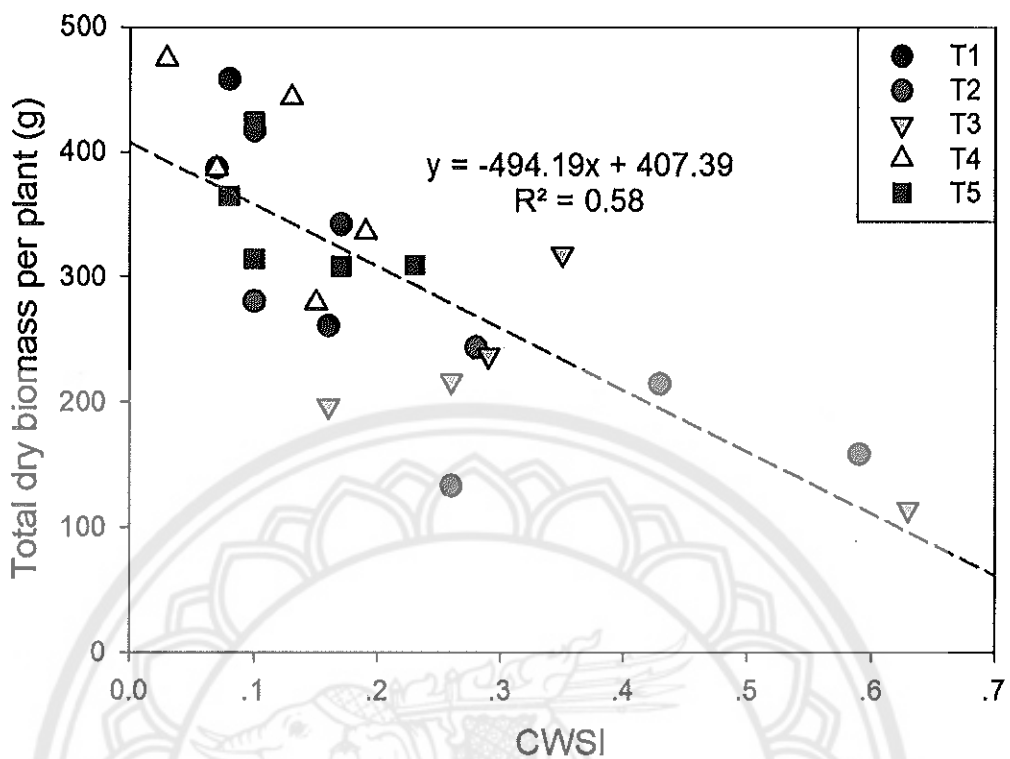
ภาพ 22 Relationship between CWSI and dry pods weight

การหาค่าความสัมพันธ์ระหว่างจำนวนเมล็ดต่อต้นและค่า CWSI เมื่อนำผลการทดลองระหว่างองค์ประกอบผลผลิตและค่า CWSI เพื่อค่าความสัมพันธ์กัน พบร่วม จำนวนเมล็ดต่อต้น มีความสัมพันธ์ระดับต่ำกับค่า CWSI ที่ถ่ายภาพในช่วงเวลา 12.00 - 14.00 น. เมื่อข้าวโพดอายุ 55 วัน หลังปลูก โดยมีค่าความสัมพันธ์ระหว่างน้ำหนักฝักต่อต้นและค่า CWSI ค่าสัมประสิทธิ์ความเชื่อมั่น $R^2 = 0.49$ ซึ่งพบร่วม จำนวนเมล็ดต่อต้นมีความสัมพันธ์กับค่า CWSI แบบเชิงเส้นอย่างมีนัยสำคัญทางสถิติ ($p < 0.05$) (ภาพ 22)



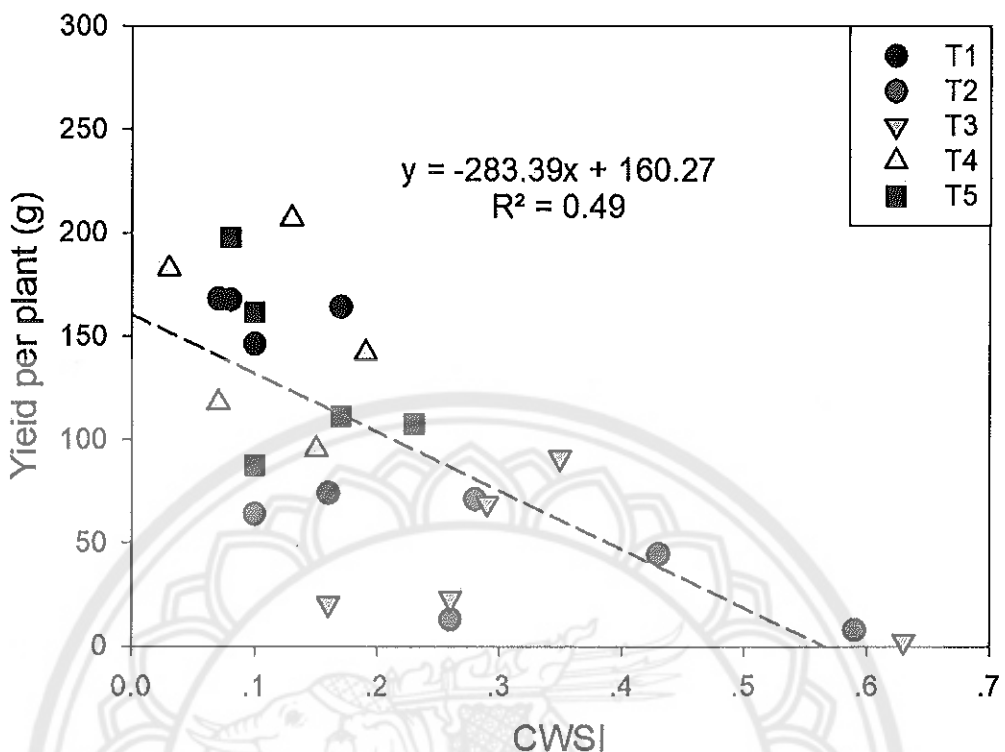
ภาพ 23 Relationship between CWSI and number of seeds

การหาค่าความสัมพันธ์ระหว่างมวลชีวภาพต่อต้นและค่า CWSI เมื่อนำผลการทดลองระหว่างองค์ประกอบผลผลิตและค่า CWSI เพื่อค่าความสัมพันธ์กัน พบว่า มวลชีวภาพต่อต้น มีความสัมพันธ์ระดับปานกลางกับค่า CWSI ที่ถ่ายภาพในช่วงเวลา 12.00 - 14.00 น. เมื่อข้าวโพด อายุ 55 วันหลังปลูก โดยมีค่าความสัมพันธ์ระหว่างน้ำหนักฝักต่อต้นและค่า CWSI ค่าสัมประสิทธิ์ความเข้มข้น $R^2 = 0.58$ ซึ่งพบร่วมกับมวลชีวภาพต่อต้นมีความสัมพันธ์กับค่า CWSI แบบเชิงเส้นอย่างมีนัยสำคัญทางสถิติ ($p < 0.05$) (ภาพ 23)



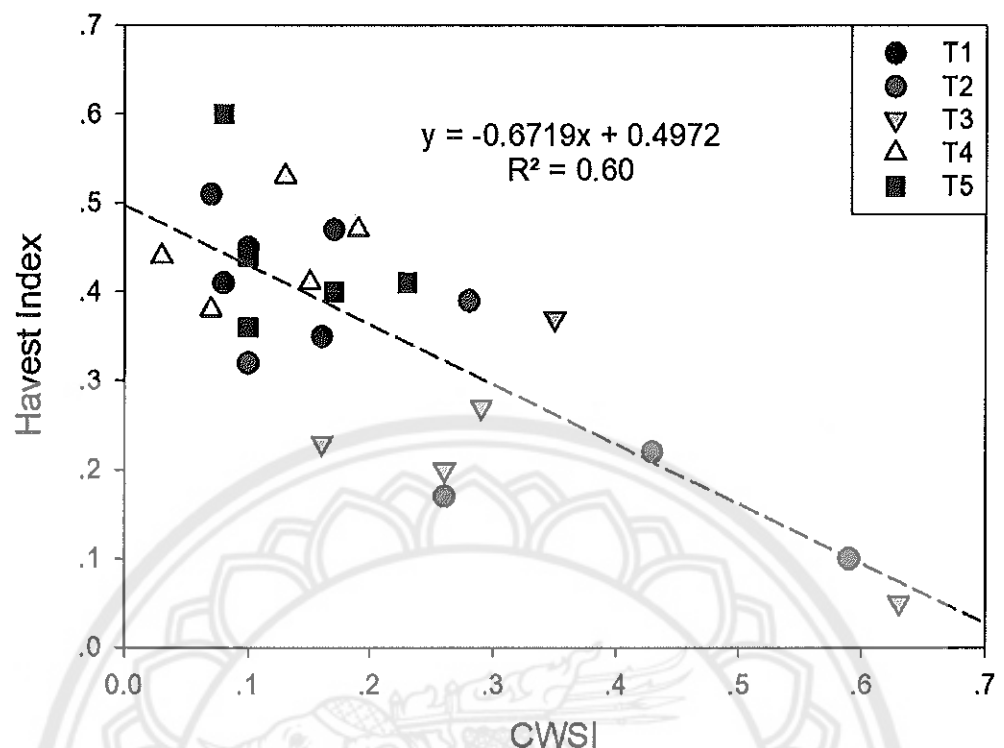
ภาพ 24 Relationship between CWSI and dry biomass weight

การหาค่าความสัมพันธ์ระหว่างผลผลิตต่อต้นและค่า CWSI เมื่อนำผลการทดลองระหว่างองค์ประกอบผลผลิตและค่า CWSI เพื่อค่าความสัมพันธ์กัน พบว่า ผลผลิตต่อต้นมีความสัมพันธ์ระดับต่ำกับค่า CWSI ที่ถ่ายภาพในช่วงเวลา 12.00 - 14.00 น. เมื่อข้าวโพดอายุ 55 วันหลังปลูกโดยมีค่าความสัมพันธ์ระหว่างน้ำหนักผักต่อต้นและค่า CWSI ค่าสัมประสิทธิ์ความเชื่อมั่น $R^2 = 0.49$ ซึ่งบ่งว่า ผลผลิตต่อต้นมีความสัมพันธ์กับค่า CWSI แบบเชิงเส้นอย่างมีนัยสำคัญทางสถิติ ($p < 0.05$) (ภาพ 24)



ภาพ 25 Relationship between CWSI and yield

การหาค่าความสัมพันธ์ระหว่างตัวนี้กับการเก็บเกี่ยวและค่า CWSI เมื่อนำผลการทดลอง ระหว่างองค์ประกอบผลผลิตและค่า CWSI เพื่อค่าความสัมพันธ์กัน พบว่า ตัวนี้กับการเก็บเกี่ยว มีความสัมพันธ์ระดับต่ำกับค่า CWSI ที่ถ่ายภาพในช่วงเวลา 12.00 - 14.00 น. เมื่อข้าวโพดอายุ 55 วัน หลังปลูก โดยมีค่าความสัมพันธ์ระหว่างน้ำหนักฝักต่อตันและค่า CWSI ค่าสัมประสิทธิ์ความเชื่อมั่น $R^2 = 0.60$ ซึ่งพบว่า ตัวนี้กับการเก็บเกี่ยว มีความสัมพันธ์กับค่า CWSI แบบเชิงเส้นอย่างมีนัยสำคัญทางสถิติ ($p < 0.05$) (ภาพ 25)



ภาพ 26 Relationship between CWSI and harvest Index

บทที่ 5

บทสรุป

อภิปรายผลการทดลอง

จากการทดลองการวิเคราะห์สภาวะความเครียดจากการขาดน้ำในข้าวโพดเลี้ยงสัตว์ ภายใต้สภาวะการขาดน้ำในสภาพเรือนทดลอง อภิปรายผลการวิจัยได้ดังนี้

1. ความเครียดของน้ำในดิน (ค่า pF)

สภาวะความเครียดของน้ำในดิน สามารถบ่งชี้ได้ด้วยค่า pF หากในดินมีค่า pF ต่ำ ระดับความชื้นในดินจะน้อย และหากหากในดินมีค่า pF ต่ำ ระดับความชื้นในดินจะสูง จากการศึกษาของ Mashimo (1959) พบว่า สำหรับดินที่มีสภาพแห้งมากจะมีค่า pF ที่มากกว่า 3 สำหรับสถานะของน้ำที่มีความเหมาะสมสำหรับพืชจะมีค่า pF อยู่ระหว่าง 2.5-2.0 และสำหรับดินที่อยู่สภาพแห้งน้ำจะมีค่า pF ที่น้อยกว่า 1.7

2. อุณหภูมire่อนยอดข้าวโพดภายใต้ภาวะขาดน้ำแตกต่างกัน

การวัดอุณหภูมire่อนยอดข้าวโพดภายใต้ภาวะขาดน้ำแตกต่างกันโดยการถ่ายภาพความร้อนในสภาพเรือนทดลอง พบร่วมกันว่าอุณหภูมire่อนยอดข้าวโพดในระยะแรกหลังดัน 5 และ 10 วัน (ข้าวโพดอายุ 25 และ 30 วันหลังปลูก) ของกรวยวิธีที่ 2 คือให้น้ำ 50% ของกรวยวิธีควบคุม เมื่อข้าวโพดมีพื้นที่การปกคลุมดิน 20% จนถึงเกสรตัวผู้ออกกลับมาให้น้ำระดับปกติ และกรวยวิธีที่ 3 ให้น้ำ 50% ของกรวยวิธีควบคุม เมื่อข้าวโพดมีพื้นที่การปกคลุมดิน 20% จนถึงอายุการเก็บเกี่ยว มีค่าอุณหภูมire่อนยอดข้าวโพดที่ไม่แตกต่างกันทางสถิติ อย่างมีนัยสำคัญกับกรวยวิธีควบคุม กรวยวิธีที่ 4 ให้น้ำ 50% ของกรวยวิธีควบคุม เมื่อพืชมีเกสรตัวผู้ถึงอายุการเก็บเกี่ยว และกรวยวิธีที่ 5 งดการให้น้ำ เมื่อพืชมีเกสรตัวผู้ถึงอายุการเก็บเกี่ยว ทั้งนี้เนื่องจากดินที่นำมาระดับดินเป็นดินเหนียว ทำให้ดินยังมีความชื้น โดยสภาวะความเครียดของน้ำในดิน (pF) อยู่ระหว่าง 2.0-3.0 หลังจากนั้น อุณหภูมire่อนยอดข้าวโพดมีแนวโน้มเพิ่มสูงขึ้น โดยเฉพาะในกรวยวิธีที่ 2 และ 3 ที่มีการลดการให้น้ำ ครึ่งหนึ่งของกรวยวิธีควบคุมมีแนวโน้มอุณหภูมิสูงขึ้น เมื่อเปรียบเทียบกับกรวยวิธีที่มีการให้น้ำปกติ ซึ่งสอดคล้องกับการศึกษาของ Carroll (2017) พบว่า การวัดอุณหภูมิใบข้าวโพดในสภาพโรงเรือน 'ไม่มีความแตกต่างกันของอุณหภูมire่อนยอดในระยะแรก หลังจากลดการให้น้ำแล้ว 7 วัน (26 วัน หลังปลูก) อุณหภูมire่อนยอดจะสูงขึ้นอย่างมีนัยสำคัญสำหรับกรวยวิธีที่มีการลดการให้น้ำ เมื่อเปรียบเทียบกับกรวยวิธีที่มีการให้น้ำปกติ โดยอุณหภูมิในเฉลี่ยตลอดวันที่ทำการวัดเท่ากับ 29.3°C สำหรับกรวยวิธีที่มีการให้น้ำปกติ และสำหรับกรวยวิธีที่มีการลดการให้น้ำมีอุณหภูมิใบ

เฉลี่ยเท่ากับ 29.9°C อุณหภูมิเรือนยอดมีความแตกต่างกันเพียงเล็กน้อย แต่เมื่อสิ้นฤดูกากราดลง อุณหภูมิเรือนยอดมีความแตกต่างสูงขึ้นที่ 3.3°C (37 วันหลังปลูก) และจากการผลการทดลอง แสดงให้เห็นว่าอุณหภูมิเรือนยอดข้าวโพดของ กรรมวิธีที่ 4 และ 5 ไม่มีความแตกต่างทางสถิติกับ กรรมวิธีควบคุม เนื่องจากทั้งสองกรรมวิธีนี้ลดการให้น้ำและการให้น้ำเมื่อข้าวโพดอายุ 60 วัน หลังปลูก ประกอบด้วยการตัดข้าวโพดสูงชนหลังคาโรงเรือนทำให้ไม่สามารถวัดอุณหภูมิเรือนยอดข้าวโพด ด้วยกล้องถ่ายภาพความร้อนหลังข้าวโพดอายุ 60 วันหลังปลูก นอกจากนี้อุณหภูมิเรือนยอด ยังขึ้นอยู่กับช่วงเวลาการถ่ายภาพ (Zia et al., 2011) ซึ่งจะเห็นได้ว่าการถ่ายภาพในช่วงเวลา $12.00 - 14.00$ น. จะมีอุณหภูมิเรือนยอดข้าวโพดสูงกว่าช่วงที่ถ่ายในเวลา $10.00 - 12.00$ น. รวมถึง สภาพอากาศภายในโรงเรือน ได้แก่ อุณหภูมิอากาศ และความชื้นสัมพันธ์ในอากาศ

3. ดัชนีความเครียดของข้าวโพด (CWSI) และการซักนำการเปิดปิดปากใบ สัมพัทธ์กับไข่ตัวภาวะขาดน้ำแตกต่างกัน

การวิเคราะห์สภาวะความเครียดจากการขาดน้ำด้วยการวัดอุณหภูมิเรือนยอด หรือ ใบพืชจากภาพถ่ายความร้อน (Thermal imaging) และใช้อุณหภูมิเรือนยอดเพื่อคำนวณหา ดัชนี ความเครียดจากสภาวะการขาดน้ำของพืช (Crop Water Stress Index; CWSI) โดยที่ผ่านมาค่า CWSI ได้ถูกนำมาใช้ในพืชหลายชนิด เช่น ข้าวสาลี ข้าวสาลี (Yuan et al., 2004; Gontia, & Tiwari, 2008) ฝ้าย (Silva et al., 2005; O'shaughnessy et al., 2011) ข้าวโพด (Anda, 2009; Li et al., 2010; Romano et al., 2011; Taghvaeian et al., 2012) ถั่ว (Erdem et al., 2006) และผักบางชนิด (Cremona et al., 2004; simsek et al., 2005; Erdem et al., 2010; Aladenola, & Madramootoo, 2014; Rud et al., 2014) หรือผลไม้ (Erdem et al., 2006; Paltineanu et al., 2009) ซึ่งค่า CWSI จะมีประสิทธิภาพมากขึ้นเมื่อใช้คู่กับการวัดการเปิด-ปิดของปากใบพืชโดยเครื่อง Porometer (Jones et al., 2002) โดยในการศึกษาที่ผ่านมา พบว่าค่า CWSI มีความสัมพันธ์โดยตรงกับการซักน้ำ ของปากใบ (Jones et al., 2002; Leinonen et al., 2006) จากผลการทดลองพบว่าค่า CWSI และ ค่าดัชนีการซักนำการเปิดปิดปากใบสัมพัทธ์ เป็นไปในทิศทางเดียวกับอุณหภูมิของเรือนยอดข้าวโพด คือ หลัง dn 5 และ 10 วัน (ข้าวโพดอายุ 25 และ 30 วันหลังปลูก) ของกรรมวิธีที่ 2 และ 3 ค่า CWSI และค่าดัชนีการซักนำการเปิดปิดปากใบสัมพัทธ์ ยังไม่มีความแตกต่างทางสถิติอย่างมีนัยสำคัญ แต่เมื่อเวลาผ่านไปกรรมวิธีที่ 2 และ 3 ที่ลดการให้น้ำครึ่งหนึ่งตั้งแต่ข้าวโพดอายุ 20 วันหลังปลูก มีค่า CWSI เพิ่มสูงขึ้น เมื่อเปรียบเทียบกับกรรมวิธีที่มีการให้น้ำปกติ ได้แก่ กรรมวิธีควบคุม กรรมวิธีที่ 4 และ 5 ที่เริ่มลดและลดการให้น้ำเมื่อข้าวโพดอายุ 60 วันหลังปลูก โดยกรรมวิธีที่ลดการให้น้ำมีค่า CWSI เฉลี่ยเท่ากับ $0.13-0.43$ และกรรมวิธีที่มีการให้น้ำปกติ CWSI เฉลี่ยเท่ากับ $0.04-0.09$ ซึ่งใกล้เคียงกับการศึกษาของ Carroll (2017) ที่พบว่า การทดลองในสภาพโรงเรือน ค่าดัชนีความเครียด

จากการขาดน้ำของข้าวโพดในกรรมวิธีที่มีการงดการให้น้ำมีค่า CWSI เท่ากับ 0.54 และในกรรมวิธีที่มีการให้น้ำปกติมีค่า CWSI เท่ากับ 0.37 สำหรับค่าดัชนีการซักนำการเปิดปิดปากใบสัมพัทธ์ทำการคำนวณโดยเทียบกับกรรมวิธีควบคุม ทำให้มีอัตราอยู่ในสภาวะปกติจะมีค่าดัชนีการซักนำการเปิดปิดปากใบสัมพัทธ์เท่ากับหรือสูงกว่า 1 และเมื่อพืชที่อยู่ในสภาวะการขาดน้ำค่าดัชนีการซักนำการเปิดปิดปากใบสัมพัทธ์ลดลงต่ำกว่า 1 จากการศึกษา พบว่า ในกรรมวิธีที่มีการลดการให้น้ำมีแนวโน้มทำให้ค่าดัชนีการซักนำการเปิดปิดปากใบสัมพัทธ์ลดลง ซึ่งจากการศึกษาของ Pipatsithee et al. (2018) พบว่า เมื่อพืชอยู่ในสภาวะเครียดจากการขาดน้ำค่าการซักนำการเปิดปิดปากใบจะลดน้อยลง เมื่อเปรียบเทียบกับพืชที่อยู่ในสภาวะปกติ

การเปรียบเทียบความสัมพันธ์ระหว่างค่า CWSI กับค่าการซักนำการเปิดปิดปากใบของข้าวโพดเลี้ยงสัตว์อายุ 25, 30, 35, 40 และ 45 วันหลังปลูก และถ่ายภาพความร้อนในช่วงเวลา 8.00 - 10.00 น., 10.00 - 12.00 น. และ 12.00 - 14.00 น. กรรมวิธีที่ให้น้ำลดลงจากกรรมวิธีควบคุมค่า CWSI มีความสัมพันธ์ในเชิงลบกับค่าการซักนำการเปิดปิดปากใบ คือ เมื่อค่า CWSI สูงขึ้น ค่าการซักนำการเปิดปิดปากใบต่ำลง โดยการถ่ายภาพความร้อนในช่วงเวลา 8.00 - 10.00 น. มีความสัมพันธ์ระหว่างค่า CWSI กับค่าการซักนำการเปิดปิดปากใบของข้าวโพดเลี้ยงสัตว์อยู่ในระดับต่ำถึงปานกลาง (R^2 0.43 ถึง 0.73) การถ่ายภาพความร้อนในช่วงเวลา 10.00 - 12.00 น. มีความสัมพันธ์ระหว่างค่า CWSI กับค่าการซักนำการเปิดปิดปากใบของข้าวโพดเลี้ยงสัตว์อยู่ในระดับต่ำถึงสูงมาก (R^2 0.58 ถึง 0.92) ในขณะที่การถ่ายภาพความร้อนในช่วงเวลา 12.00 - 14.00 น. เป็นช่วงเวลาที่เหมาะสมสำหรับการถ่ายภาพความร้อนเพื่อวิเคราะห์ภาวะความเครียดจากการขาดน้ำของข้าวโพด เนื่องจากความสัมพันธ์ระหว่างค่า CWSI กับค่าการซักนำการเปิดปิดปากใบของข้าวโพดเลี้ยงสัตว์อยู่ในระดับสูงถึงสูงมาก (R^2 0.82 ถึง 0.92) จากการศึกษาของ Zia et al. (2011) พบว่า ช่วงเวลาที่ดีที่สุดการถ่ายภาพถ่ายความร้อนเมื่อพืชอยู่ในสภาวะความเครียดจากการขาดน้ำ คือ 12.00 น. และ 15.00 น. เนื่องจากการถ่ายภาพในช่วงบ่ายอาจจะประมินค่าความเครียดจากการขาดน้ำสูงเกินไป และสิ่งสำคัญของการถ่ายภาพถ่ายความร้อนควรถ่ายในเวลาเดียวกันของวัน เนื่องจากค่าดัชนีความเครียดจากการขาดน้ำ หรือ CWSI มีการเปลี่ยนแปลงตลอดเวลา

ถึงแม้ว่าการวัดดัชนีความเครียดจากการขาดน้ำของพืช (CWSI) ด้วยการถ่ายภาพความร้อนด้วยรังสีอินฟราเรด เป็นวิธีที่เหมาะสมสำหรับการตรวจวัดความเครียดจากการขาดน้ำของพืช โดยไม่ทำลายตัวอย่างรวดเร็วเม่นยำ แต่ก็อาจเกิดความคลาดเคลื่อนได้จากปัจจัยแวดล้อมในถ่ายภาพความร้อน เช่น การถ่ายภาพความร้อนขณะที่มีลมพัดพาอาจส่งผลให้อุณหภูมิใบลดต่ำลง และการถ่ายภาพความร้อนขณะที่มีความเข้มแสงเพิ่มมากขึ้นส่งผลให้อุณหภูมิใบสูงขึ้นไปด้วย ทำให้

การประเมินดัชนีความเครียดจากการขาดน้ำต่ำกว่าหรือสูงกว่าที่ควรจะเป็น (วันวิสาข์ จันทิกา, 2555) ดังนั้น ควรทำการบันทึกสภาพภูมิอากาศในช่วงเวลาถ่ายภาพความร้อนประกอบกับการวัดความชื้นดิน

4. ลักษณะทางสุริวิทยา องค์ประกอบผลผลิต และผลผลิตข้าวโพดภายใต้ภาวะขาดน้ำแตกต่างกัน

ลักษณะทางสุริวิทยาของข้าวโพด ได้แก่ ความสูงต้น พื้นใบ ความเขียวใบ และประสิทธิภาพการสังเคราะห์แสง มีแนวโน้มไปในทิศทางเดียวกัน คือมีความแตกต่างระหว่างกรรมวิธี เมื่อข้าวโพดอายุ 35 วันหลังปลูก โดยกรรมวิธีที่ 2 และ 3 มีค่าความเขียวใบ และประสิทธิภาพการสังเคราะห์แสงต่ำกว่ากรรมวิธีอื่นๆ เนื่องจากมีการลดการให้น้ำ 50 % ในระยะการเจริญเติบโตของข้าวโพด และส่วนขององค์ประกอบผลผลิตและผลผลิตของกรรมวิธีที่ 4 และ 5 ไม่แตกต่างจากกรรมวิธีควบคุม เนื่องมาจากกรรมวิธีควบคุมอาจได้รับผลกระทบจากช่วงที่มีอุณหภูมิระหว่างวันที่ร้อนเกิน 38 องศาเซลเซียสในช่วง reproductive และเห็นว่า ค่า pF ของกรรมวิธีที่ 4 แสดงการขาดน้ำในช่วงระยะเวลาสั้นๆ ทำให้ไม่เห็นความแตกต่างกันในด้านสุริวิทยา องค์ประกอบผลผลิต และผลผลิตต่อต้น ซึ่งการศึกษาของ Zia et al. (2011) พบว่า สมรรถนะเครียดจากการขาดน้ำ ส่งผลให้การเจริญเติบโตของพืชลดลง การสังเคราะห์ด้วยแสง อัตราการดูดกลืนคาร์บอนและความสูงของพืชลดลง ดังนั้นจะเห็นได้ว่าการถ่ายภาพความร้อนด้วยอินฟราเรดนั้นสามารถใช้ในการติดตามสมรรถนะเครียดทางสุริวิทยาได้ และจากการศึกษาของ Cakir et al. (2004) พบว่า ผลกระทบจากสมรรถนะเครียดจากการขาดน้ำในระยะการเจริญเติบโต ส่งผลให้การเจริญเติบโตทางความสูงต้นลดลง สมรรถนะความเครียดจากการขาดน้ำในระยะการเจริญเติบโตและระยะ tasselling ส่งผลให้ค่าดัชนีพื้นที่ใบลดลง เนื่องจากขนาดใบลดลง สมรรถนะความเครียดจากการขาดน้ำในระยะน้ำนมทำให้สูญเสียใบล่างและลดน้ำหนักแห้ง

สมรรถนะความเครียดจากการขาดน้ำในข้าวโพดต่อผลผลิตข้าวโพด กรรมวิธีที่มีการลดการให้น้ำส่งผลให้ผลผลิตลด 71.1 เปอร์เซ็นต์ เมื่อเปรียบเทียบกับกรรมวิธีที่มีการให้น้ำปกติจากการศึกษาที่ผ่านมาของ Cakir et al. (2004) พบว่า การขาดน้ำในระยะเวลาสั้นๆ ในช่วงระยะเวลาการเจริญเติบโต ทำให้เกิดการสูญเสียผลผลิต 28 - 32% และกรรมวิธีที่มีการให้น้ำให้ผลผลิตสูงสุด การทำให้เกิดความเครียดจากน้ำในระยะการเจริญเติบโตของพืช (TCM) แม้แต่การลดเวลากำจัดปestsane เพียงครั้งเดียวในช่วงระยะเวลาการเจริญเติบโตที่อ่อนไหวทำให้เกิดการสูญเสียผลผลิตข้าวได้ถึง 40% ในช่วงฤดูแล้งเช่นปี 1996

5. ความสัมพันธ์ระหว่างสุริวิทยา องค์ประกอบผลลัพธ์ ผลผลิตข้าวโพดและค่า CWSI

เพื่อตรวจสอบถึงผลกระทบของสภาวะความเครียดจากการขาดน้ำต่อผลผลิตข้าวโพด จึงใช้ความสัมพันธ์ระหว่างผลผลิตข้าวโพดกับค่าดัชนีความเครียดจากการน้ำ โดยมีค่าความสัมพันธ์ของผลผลิตข้าวโพดกับค่าดัชนีความเครียดจากการน้ำเท่ากับ 0.49 และสำหรับกรรมวิธีที่มีการลดการให้น้ำมีค่าเฉลี่ยของค่าดัชนีความเครียดจากการขาดน้ำลดลงเท่ากับ 0.27 การเพิ่มสูงขึ้นอย่างต่อเนื่องของค่าดัชนีความเครียดจากการขาดน้ำ ทำให้ผลผลิตข้าวโพดลดลง ซึ่งจาก การศึกษาของ Irmak (2000) พบว่า การคำนวณศักยภาพผลผลิตของข้าวโพดที่ปลูกในฤดูร้อน ภายใต้ภูมิอากาศแบบเมดิเตอร์เรเนียนได้รับการพัฒนาโดยใช้ความสัมพันธ์ระหว่างผลผลิตของ เม็ดข้าวโพดกับ CWSI เฉลี่ยตามฤดูกาล โดยให้ค่า CWSI เฉลี่ยตามฤดูกาลมีค่ามากกว่า 0.22 ส่งผลให้ผลผลิตของข้าวโพดลดลง CWSI จะลดลงเข้าใกล้ศูนย์ หลังจากมีการชลประทานและค่อยๆ เพิ่มสูงขึ้น เมื่อน้ำในเดินลดลง เรายุบได้ว่า CWSI เป็นเครื่องมือที่มีประโยชน์ในการตรวจสอบ และวัดปริมาณน้ำในข้าวโพดภายใต้ภูมิอากาศแบบเมดิเตอร์เรเนียนได้ นอกจากนี้ การศึกษาของ Pipatsitee et al. (2018) พบว่า สภาวะการขาดน้ำทำให้ลักษณะทางสุริวิทยาลดลง เช่น ความสูงต้นเดันฝ่าและคุณค่าทางฟุ่ม อัตราการสั่งเคราะห์แสง การซักนำการเปิดปิดปากใบและอัตราการหายน้ำ และยังแสดงให้เห็นถึงความสัมพันธ์ที่ดีระหว่าง CWSI กับ อัตราการสั่งเคราะห์แสง การซักนำการเปิดปิดปากใบและอัตราการหายน้ำ และการศึกษาหลายชิ้นแสดงให้เห็นว่า ดัชนีความเครียดของน้ำมีความสัมพันธ์กับการเจริญเติบโตและผลผลิตของพืช (Irmak et al., 2000; Nielsen, 1990; Smith et al., 1985; Taghvaeian et al., 2014; Walker, & Hatfield, 1983; Wanjura et al., 1990)

สรุปผลการวิจัย

- ช่วงเวลาที่เหมาะสมสำหรับการใช้กล้องถ่ายภาพความร้อนในการวิเคราะห์ภาวะความเครียดจากการขาดน้ำในข้าวโพด คือ 12.00 - 14.00 น. เนื่องจากในช่วงเวลา 12.00 - 14.00 น. ความสัมพันธ์ระหว่างค่า CWSI กับค่าซักนำการเปิด-ปิดปากใบมีความสัมพันธ์แบบสมการเชิงเส้น และความสัมพันธ์ระหว่างค่า CWSI กับค่าซักนำการเปิด-ปิดปากใบเป็นแบบเชิงลบในระดับสูง (R^2 0.82 ถึง 0.92) อย่างมีนัยสำคัญทางสถิติ ($p < 0.05$) ในสภาพอุณหภูมิอยู่ในช่วง 40 - 55 °C และความชื้นสัมพันธ์ในอากาศไม่ควรเกิน 50 % โดยค่า CWSI ของข้าวโพดที่อยู่ในสภาวะเครียดจากการขาดน้ำมีค่าอยู่ในช่วง 0.20 - 0.43 ดังนั้น การใช้ภาพถ่ายความร้อนสามารถที่จะใช้เพื่อตรวจสอบความเครียดจากการขาดน้ำในข้าวโพดเลี้ยงสัตว์

2. กรรมวิธีที่ 2 ลดการให้น้ำ 50% ของกรรมวิธีที่ 1 เมื่อข้าวโพดมีพื้นที่การปักคุณดิน 20% (20 วันหลังปลูก) และกลับมาให้น้ำเท่ากับกรรมวิธีที่ 1 เมื่อข้าวโพดมีเกสรตัวผู้ และกรรมวิธีที่ 3 ลดการให้น้ำ 50% ของกรรมวิธีที่ 1 เมื่อข้าวโพดมีพื้นที่การปักคุณดิน 20% (20 วันหลังปลูก) ถึงอย่างไรก็ตาม เก็บเกี่ยว ที่อยู่ภายใต้สภาวะภารชาต์ตั้งแต่ระยะการเจริญเติบโตทางลำต้นและใบ จนถึงระยะออกดอก และสะสมน้ำหนักเมล็ด ส่งผลให้ค่าประสิทธิภาพการสังเคราะห์แสง ค่าซักรำ การเปิด-ปิดปากใบ พื้นที่ใบ ค่าความเขียวใบ ดัชนีการเก็บเกี่ยว จำนวนเมล็ดต่อฝัก น้ำหนักฝักต่อต้น มวลชีวภาพแห้งต่อต้น ต่ำกว่ากรรมวิธีควบคุม กรรมวิธีที่ 4 และกรรมวิธีที่ 5 อย่างมีนัยสำคัญทาง สถิติ ($p < 0.05$) และยังส่งผลให้ผลผลิตต่อต้นลดลงถึง 72 เปอร์เซ็นต์เมื่อเปรียบเทียบกับกรรมวิธี ควบคุม

3. ความสัมพันธ์ระหว่าง CWSI กับค่าซักรำการเปิด-ปิดปากใบ ความสูงต้น พื้นที่ใบ ค่าความเขียว ประสิทธิภาพการสังเคราะห์แสง ดัชนีการเก็บเกี่ยว จำนวนเมล็ดต่อฝัก น้ำหนักฝัก ต่อต้น มวลชีวภาพแห้งต่อต้น ผลผลิตต่อต้น สามารถอธิบายความสัมพันธ์ได้โดยสมการเชิงเส้น และพบว่า มีความสัมพันธ์กันในเชิงลบอยู่ในระดับปานกลางถึงสูง ($R^2 = 0.49-0.72$)

ข้อเสนอแนะงานวิจัย

สำหรับการวิเคราะห์สภาวะความเครียดจากการขาดน้ำในข้าวโพดเลี้ยงสัตว์ภายใต้ สภาวะการขาดน้ำในสภาพเรือนทดลองในครั้งต่อไป เรือนทดลองควรมีขนาดของความสูงมากกว่า 6 เมตร เพื่อให้สามารถถ่ายภาพได้สะดวกและเพื่อไม่ให้ข้าวโพดอยู่ใกล้กับหลังคาเรือนทดลอง มากเกินไป การทำการทดลองในเรือนทดลองควรติดพัดลมระบายอากาศเพื่อลดอุณหภูมิในช่วงที่มี อุณหภูมิระหว่างวันร้อนกินไป



บรรณานุกรม

กระทรวงเกษตรและสหกรณ์. (2560). สถานการณ์สินค้าเกษตรที่สำคัญและแนวโน้มปี 2560.

สืบค้น 5 มีนาคม 2561, จาก <http://www.oae.go.th/Journalpublishers.html>

กระทรวงเกษตรและสหกรณ์. (2561). ข้าวโพดเลี้ยงสัตว์รวมรุ่น: เนื้อที่เพาะปลูก เนื้อที่เก็บเกี่ยว ผลผลิต และผลผลิตต่อไร่ รายอำเภอ ปี เพาะปลูก 2561/62. สืบค้น 20 กุมภาพันธ์ 2563, จาก <http://www.oae.go.th/>

วันวิสาข์ จันทิกา. (2555). การพัฒนาด้านน้ำภาวะวิกฤติการขาดน้ำ และการควบคุมการให้น้ำอัตโนมัติ โดยเท็นติโอมิเตอร์ (วิทยานิพนธ์ปริญญาบัณฑิต). เชียงใหม่: มหาวิทยาลัยแม่โจ้.

สถาบันวิจัยและพัฒนาแห่งมหาวิทยาลัยเกษตรศาสตร์. (2558). ข้าวโพด: ความสำคัญทางเศรษฐกิจ ของข้าวโพด. สืบค้น 1 มีนาคม 2561, จาก <http://www3.rdi.ku.ac.th/?p=15990>

สายยัณห์ สดุดี. (2534). สรavaะขาดน้ำในการผลิตพืช. สงขลา: ภาควิชาพืชศาสตร์ คณะทรัพยากรธรรมชาติ มหาวิทยาลัยสงขลานครินทร์.

สิทธิเดชา พงศ์กิจวรสิน, และเขมรัฐ ถลิงค์รี. (2558). ข้าวโพดเลี้ยงสัตว์กับการสูญเสียพื้นที่ป่า: ปัญญาหาและทางออก. กรุงเทพฯ: สถาบันคลังสมองของชาติ.

Aladenola, O., & Madramootoo, C. (2013). Response of greenhouse-grown bell pepper (*capsicum annuum L.*) to variable irrigation. *Canadian Journal of Plant Science*, 94(2), 303-310.

Alchanatis, V., Cohen, Y., Cohen, S., Moller, M., Sprinstin, M., Meron, M., & Sela, E. (2010). Evaluation of different approaches for estimating and mapping crop water status in cotton with thermal imaging. *Precision Agriculture*, 11(1), 27-41.

Anda, A. (2009). Irrigation timing in maize by using the crop water stress index (CWSI). *Cereal Research Communications*, 37(4), 603-610.

Ben-Gal, A., Agam, N., Alchanatis, V., Cohen, Y., Yermiyahu, U., Zipori, I., & Dag, A. (2009). Evaluating water stress in irrigated olives: correlation of soil water status, tree water status, and thermal imagery. *Irrigation Science*, 27(5), 367-376.

Bulanon, D.M., Burks, T.F., & Alchanatis, V. (2008). Study on temporal variation in citrus canopy using thermal imaging for citrus fruit detection. *Biosystems Engineering*, 101(2), 161-171.

- Cakir, R. (2004). Effect of water stress at different development stages on vegetative and reproductive growth of corn. *Field Crops Research*, 89(1), 1-16.
- Carroll, D.A., Hansen, N.C., Hopkins, B.G., & DeJonge, K.C. (2017). Leaf temperature of maize and crop water stress index with variable irrigation and nitrogen supply. *Irrigation Science*, 35(6), 549-560.
- Cremona, M.V., Stützel, H., & Kage, H. (2004). Irrigation scheduling of kohlrabi (brassica oleracea var. gongylodes) using crop water stress index. *HortScience*, 39(2), 276-279.
- DeJonge, K.C., Taghvaelan, S., Trout, T.J., & Comas, L.H. (2015). Comparison of canopy temperature-based water stress indices for maize. *Agricultural Water Management*, 156, 51-62.
- Erdem, Y., Arin, L., Erdem, T., Polat, S., Deveci, M., Okursoy, H., & Gultas, H.T. (2010). Crop water stress index for assessing irrigation scheduling of drip irrigated broccoli (brassica oleracea l. var. italicica). *Agricultural Water Management*, 98(1), 148-156.
- Erdem, Y., Erdem, T., ORTA, A.H., & Okursoy, H. (2006). Irrigation scheduling for watermelon with crop water stress index (CWSI). *Journal of Central European Agriculture*, 6(4), 449-460.
- Erdem, Y., Sehirali, S., Erdem, T., & Kenar, D. (2006). Determination of crop water stress index for irrigation scheduling of bean (phaseolus vulgaris l.). *Turkish Journal of Agriculture and Forestry*, 30(3), 195-202.
- Gontia, N.K., & Tiwari, K.N. (2008). Development of crop water stress index of wheat crop for scheduling irrigation using infrared thermometry. *Agricultural Water Management*, 95(10), 1144-1152.
- Hatfield, J.L. (1990). Measuring plant stress with an infrared thermometer. *Hort Science*, 25(12), 1535-1538.
- Irmak, S., Haman, D.Z., & Bastug, R. (2000). Determination of crop water stress index for irrigation timing and yield estimation of corn. *Agronomy Journal*, 92(6), 1221-1227.

- Jantika, W., Ongprasert, S., Spreer, W., & Inthasan, J. (2013). The study on crop water stress by two infrared thermo-cameras in comparison with a porometer. *Journal of Agricultural Research and Extension*, 30(2), 19-26.
- Jones, H.G. (1999). Use of infrared thermometry for estimation of stomatal conductance as a possible aid to irrigation scheduling. *Agricultural and forest meteorology*, 95(3), 139-149.
- Jones, H.G. (2004). Irrigation scheduling: Advantages and pitfalls of plant-based methods. *Journal of Experimental Botany*, 55(407), 2427-2436.
- Jones, H.G., Serraj, R., Loveys, B.R., Xiong, L., Wheaton, A., & Price, A. H. (2009). Thermal infrared imaging of crop canopies for the remote diagnosis and quantification of plant responses to water stress in the field. *Functional Plant Biology*, 36(11), 978-989.
- Jones, H.G., Stoll, M., Santos, T., De Sousa, C., Chaves, M.M., & Grant, O.M. (2002). Use of infrared thermography for monitoring stomatal closure in the field: Application to grapevine. *Journal of Experimental Botany*, 53(378), 2249-2260.
- Kang, S., Gu, B., Du, T., & Zhang, J. (2003). Crop coefficient and ratio of transpiration to evapotranspiration of winter wheat and maize in a semi-humid region. *Agricultural water management*, 59(3), 239-254.
- Lal, R., & Shukla, M.K. (2004). Principles of soil physics. *European Journal of Soil Science*, 56(5), 683-684.
- Li, L., Nielsen, D.C., Yu, Q., Ma, L., & Ahuja, L.R. (2010). Evaluating the crop water stress index and its correlation with latent heat and CO₂ fluxes over winter wheat and maize in the North China plain. *Agricultural Water Management*, 97(8), 1146-1155.
- Meola, C., & Carlomagno, G.M. (2004). Recent advances in the use of infrared thermography. *Measurement science and technology*, 15(9), R27.
- Mihailovic, B., Cvijanovic, D., Mitojevic, I., & Filipovic, M. (2014). The role of irrigation in development of agriculture in srem district 1. *Ekonomika Poljoprivrede*, 61(4), 989.

- Naeeni, A.E., Esfahani, E.M., Harchegani, M.B., Jafarpour, M.E., & Golabadi, M.A. (2014). Leaf temperature as an index to determine the irrigation interval. *Research On Crop Ecophysiology*, 9(1), 2.
- Nielsen, D.C. (1990). Scheduling irrigations for soybeans with the crop water stress index (CWSI). *Field Crops Research*, 23(2), 103-116.
- Ni, Z., Liu, Z., Huo, H., Li, Z.L., Nerry, F., Wang, Q., & Li, X. (2015). Early water stress detection using leaf-level measurements of chlorophyll fluorescence and temperature data. *Remote Sensing*, 7(3), 3232-3249.
- Oerke, E.C., Steiner, U., Dehne, H.W., & Lindenthal, M. (2006). Thermal imaging of cucumber leaves affected by downy mildew and environmental conditions. *Journal of experimental botany*, 57(9), 2121-2132.
- O'shaughnessy, S.A., Evett, S.R., Colaizzi, P.D., & Howell, T.A. (2011). Using radiation thermography and thermometry to evaluate crop water stress in soybean and cotton. *Agricultural Water Management*, 98(10), 1523-1535.
- Paltineanu, C., Chitu, E., & Tanasescu, N. (2009). Correlation between the crop water stress index and soil moisture content for apple in a loamy soil: a case study in southern Romania. *International Symposium on Irrigation of Horticultural Crops*, 889, 257-264.
- Pipatsitee, P., Eiumnoh, A., Praseartkul, P., Taota, K., Kongpugdee, S., Sakulleerungroj, K., & Cha-um, S. (2018). Application of infrared thermography to assess cassava physiology under water deficit condition. *Plant Production Science*, 21(4), 398-406.
- Romano, G., Zia, S., Spreer, W., Sanchez, C., Cairns, J., Araus, J.L., & Muller, J. (2011). Use of thermography for high throughput phenotyping of tropical maize adaptation in water stress. *Computers and Electronics in Agriculture*, 79(1), 67-74.
- Rud, R., Cohen, Y., Alchanatis, V., Levi, A., Brikman, R., Shenderey, C., & Mulla, D. (2014). Crop water stress index derived from multi-year ground and aerial thermal images as an indicator of potato water status. *Precision agriculture*, 15(3), 273-289.

- Sela, E., Cohen, Y., Alchanatis, V., Saranga, Y., Cohen, S., Moller, M., & Orolov, V. (2007). Use of thermal imaging for estimating and mapping crop water stress in cotton. In J. Stafford (Ed.), *Proceeding of 6th European conference on precision agriculture, skiathos, Greece* (pp. 365-371). The Netherlands: Wageningen Academic.
- Silva, M.D.A., Jifon, J.L., Da Silva, J.A., & Sharma, V. (2007). Use of physiological parameters as fast tools to screen for drought tolerance in sugarcane. *Brazilian Journal of Plant Physiology*, 19(3), 193-201.
- Simsek, M., Tonkaz, T., Kaçira, M., Comlekcioglu, N., & Dogan, Z. (2005). The effects of different irrigation regimes on cucumber (*cucumis sativus L.*) yield and yield characteristics under open field conditions. *Agricultural Water Management*, 73(3), 173-191.
- Smith, R.C.G., Barrs, H.D., Steiner, J.L., & Stapper, M. (1985). Relationship between wheat yield and foliage temperature: Theory and its application to infrared measurements. *Agricultural and forest meteorology*, 36(2), 129-143.
- Sophanodora, P. (1993). *Techniques on photosynthesis measurement of para grass (brachiaria mutica)*. Thailand: Nakhon Pathom.
- Stajnko, D., Lakota, M., & Hocevar, M. (2004). Estimation of number and diameter of apple fruits in an orchard during the growing season by thermal imaging. *Computers and Electronics in Agriculture*, 42(1), 31-42.
- Stoll, M., Schultz, H.R., & Berkemann-Loehnertz, B. (2008). Exploring the sensitivity of thermal imaging for *Plasmopara viticola* pathogen detection in grapevines under different water status. *Functional Plant Biology*, 35(4), 281-288.
- Stoll, M., & Jones, H.G. (2007). Thermal imaging as a viable tool for monitoring plant stress. *Journal International des Sciences de la Vigne et du Vin*, 41(2), 77.
- Supacharoenkun, P. (2008). *Comparison of anatomical characters, physiological responses and latex biochemical components among the RRIM 600 clone and high latex production clones of rubber trees* (Doctoral dissertation). Thailand: Prince of Songkla University.

- Taghvaeian, S., Chavez, J.L., Bausch, W.C., DeJonge, K.C., & Trout, T.J. (2014). Minimizing instrumentation requirement for estimating crop water stress index and transpiration of maize. *Irrigation science*, 32(1), 53-65.
- Taghvaeian, S., Chavez, J.L., & Hansen, N.C. (2012). Infrared thermometry to estimate crop water stress index and water use of irrigated maize in Northeastern Colorado. *Remote Sensing*, 4(11), 3619-3637.
- Walker, G.K., & Hatfield, J.L. (1983). Stress Measurement Using Foliage Temperatures 1. *Agronomy Journal*, 75(4), 623-629.
- Wanjura, D.F., Hatfield, J.L., & Upchurch, D.R. (1990). Crop water stress index relationships with crop productivity. *Irrigation Science*, 11(2), 93-99.
- Wiriya-Alongkron, W., Pankasemsuk, T., Ongprasert, S., & Spreer, W. (2013). Monitoring of drought stress on split root Longan trees under different irrigations methods using thermal imaging. *Journal of Agricultural Research and Extension*, 30(1), 1-13.
- Xu, J., Lv, Y., Liu, X., Dalson, T., Yang, S., & Wu, J. (2016). Diagnosing crop water stress of rice using infrared thermal imager under water deficit condition. *Journal of Agricultural & Biology*, 18, 565-572.
- Yuan, G., Luo, Y., Sun, X., & Tang, D. (2004). Evaluation of a crop water stress index for detecting water stress in winter wheat in the North China Plain. *Agricultural Water Management*, 64(1), 29-40.
- Zhang, Q., Li, Q., & Zhang, G. (2012). Rapid determination of leaf water content using VIS/NIR spectroscopy analysis with wavelength selection. *Journal of Spectroscopy*, 27(2), 93-105.
- Zia, S., Du, W., Spreer, W., Spohrer, K., He, X., & Muller, J. (2012). Assessing crop water stress of winter wheat by thermography under different irrigation regimes in North China Plain. *International Journal of Agricultural and Biological Engineering*, 5(3), 24-34.